

АЗЭРБАЙЧАН ССР ЕЛМЛЭР АКАДЕМИЈАСЫ  
АКАДЕМИЯ НАУК АЗЕРБАЙДЖАНСКОЙ ССР

---

# МЭРУЗЭЛЭР ДОКЛАДЫ

ТОМ ХХ ЧИЛД

5

---

АЗЭРБАЙЧАН ССР ЕЛМЛЭР АКАДЕМИЈАСЫ НЭШРИЈАТЫ  
ИЗДАТЕЛЬСТВО АКАДЕМИИ НАУК АЗЕРБАЙДЖАНСКОЙ ССР  
Бакы—1964—Баку

АЗЭРБАЙЧАН ССР ЕЛМЛЭР АКАДЕМИЈАСЫ  
АКАДЕМИЯ НАУК АЗЕРБАЙДЖАНСКОЙ ССР

# МЭ'РУЗЭЛЭР ДОКЛАДЫ

ТОМ ХХ ЧИЛД

№ 5

АЗЭРБАЙЧАН ССР ЕЛМЛЭР АКАДЕМИЈАСЫ НЭШРИЈАТЫ  
ИЗДАТЕЛЬСТВО АКАДЕМИИ НАУК АЗЕРБАЙДЖАНСКОЙ ССР  
БАКЫ—1964—БАКУ

З. И. ХАЛИЛОВ

## ЛИНЕЙНАЯ ЗАДАЧА УПРАВЛЕНИЯ В БАНАХОВОМ ПРОСТРАНСТВЕ

В нашей заметке [1] рассмотрена линейная задача управления с ограничением в банаховом пространстве для системы, описываемой обыкновенным дифференциальным уравнением первого порядка.

В настоящей заметке рассматривается задача управления системой, описываемой обыкновенным дифференциальным уравнением второго порядка в банаховом пространстве.

Пусть  $B$ —вещественное банахово пространство;  $K$ —конус в пространстве  $B$ . Полупорядоченность в пространстве  $B$  введена при помощи конуса  $K$  обычным образом. Под  $(x, X)$  будем понимать значение линейного функционала  $X$  в точке  $x$ .

Множество векторных функций со значениями из  $B$ , интегрируемых по Бохиеру в интервале  $(0, 1)$  обозначим через  $L$ . Под  $L_p$ ,  $p \geq 1$ , будем понимать множество элементов  $L$ ,  $p$ -я степень норм которых интегрируемы в смысле Лебега.

Рассмотрим задачу  $(C)$ : найти векторную функцию (управление)  $f(t) \in L_p$ , минимизирующую (максимизирующую) функционал:

$$J_1(f) = \int_0^1 (A^{\frac{1}{2}}x, dG_1) + \int_0^1 \left( \frac{dx}{dt}, dG_2 \right), \quad (1)$$

где  $G_i \in B^*$ ,  $i=1, 2$ ;  $x(t)$ —решение (классическое или непрерывное общшенное) задачи Коши

$$\frac{d^2x}{dt^2} + Ax = f(t), \quad 0 \leq t \leq 1, \quad (2)$$

$$x(0) = x_0, \quad x'(0) = x_1 \quad (3)$$

$A$ —линейный замкнутый оператор, действующий в  $B$  и имеющий плотную в  $B$  область определения  $D(A)$ ;  $x_0$  и  $x_1$ —заданные элементы из  $B$ ;  $G_1(t)$  и  $G_2(t)$ —заданные векторные функции с ограниченной сильной вариацией;  $\frac{d^2x}{dt^2}$  понимается в сильном смысле;  $A^{\frac{1}{2}}$ —квадратный ко-

РЕДАКЦИОННАЯ КОЛЛЕГИЯ: З. И. Халилов (главный редактор), Ш. А. Азизбеков, В. Р. Волобуев, Д. М. Гусейнов, И. А. Гусейнов, М. А. Дадашзаде (зам. главного редактора), М. А. Далин, Ч. М. Джуварлы, С. М. Кулиев, М. Ф. Нагиев (зам. главного редактора), М. А. Топчибашев, Г. Г. Зейналов (ответственный секретарь).

Адрес: г. Баку, Коммунистическая, 10. Редакция «Докладов Академии наук Азербайджанской ССР».

ПЧЧ2470

Центральная научная  
БИБЛИОТЕКА  
Академии наук Киргизской ССР

рень оператора  $A$ , т. е.  $A^{\frac{1}{2}} \cdot A^{\frac{1}{2}} = A$ . Задачу (C) будем рассматривать в классе ( $K$ ), векторных функций  $f(t)$ , удовлетворяющих ограничениям:

$$(a) 0 \leq f(t) \leq F,$$

$$(b) \int_0^1 (f(t), b(t)) dt \leq c,$$

где  $F$ —заданный элемент  $\in K$ ,

$c$ —заданная неотрицательная константа,

$b(t)$ —заданная векторная функция со значениями из  $B^*$  и такая, что

$$b(t) \in L_q, \quad \frac{1}{p} + \frac{1}{q} = 1.$$

Из (a) следует, что при любом  $t$  значение  $f(t) \in K$  и  $F \in K$ .

Задачу (C) при определенных условиях можно привести к аналогичной задаче для дифференциального уравнения первого порядка, рассмотренной в [1].

Предположим, что существуют такие постоянные  $M$  и  $\omega$ , что

$$\| [R(i\lambda, A^{\frac{1}{2}})]^n \| \leq \frac{M}{(|\lambda| - \omega)^n},$$

для всех действительных  $\lambda$ ,  $|\lambda| > \omega$ , и для всех целых положительных  $n$ ;

$$x_0 \in D(A), \quad x_1 \in D(A^{\frac{1}{2}}),$$

Тогда задача (2)–(3) имеет решение, причем единственное.

Оно представляется формулами [2]:

$$x(t) = \cos t A^{\frac{1}{2}} \cdot x_0 + A^{-\frac{1}{2}} \sin t A^{\frac{1}{2}} x_1 + \int_0^t A^{-\frac{1}{2}} \sin(t-s) A^{\frac{1}{2}} f(s) ds, \quad (4)$$

$$\frac{dx}{dt} = \cos t A^{\frac{1}{2}} x_1 - A^{\frac{1}{2}} \sin t A^{\frac{1}{2}} x_0 + \int_0^t \cos(t-s) A^{\frac{1}{2}} f(s) ds, \quad (5)$$

$$\text{где } \cos t A^{\frac{1}{2}} = \frac{e^{itA^{\frac{1}{2}}} + e^{-itA^{\frac{1}{2}}}}{2},$$

$$\sin t A^{\frac{1}{2}} = \frac{e^{itA^{\frac{1}{2}}} - e^{-itA^{\frac{1}{2}}}}{2i}.$$

Отметим, что при указанных условиях оператор  $iA^{\frac{1}{2}}$  порождает группу ограниченных операторов в  $B$ .

Пользуясь представлениями (4) и (5), задачу (C) можно свести к задаче (A), рассмотренной в нашей работе [1]: найти  $f(t) \in L_p, p \geq 1$ , минимизирующую (максимизирующую) функционал

$$J(f) = \int_0^1 (f(t), a(t)) dt, \quad (6)$$

где  $a(t) = \int_t^1 [\sin(s-t) A^{\frac{1}{2}} dG_1(s) + \cos(s-t) A^{\frac{1}{2}} dG_2(s)],$  при условиях (a)

и (b). Отметим, что  $a(t) \in L_q$ .

Задача экстремума функционала (6) при ограничениях (a) и (b) решена в работе [1] при определенных условиях.

В качестве примера можно привести следующую конкретную задачу.

Пусть  $\Omega$ —ограниченная область  $n$ -мерного евклидова пространства  $E_n$ . Границу  $\Omega$  обозначим через  $\Gamma$ .

Рассмотрим смешанную задачу для гиперболического уравнения:

$$\frac{\partial^2 u(t, \xi)}{\partial t^2} + L(\xi, D)u(t, \xi) = f(t, \xi), \quad (7)$$

$$\xi = (\xi_1, \xi_2, \dots, \xi_n) \in \Omega \text{ и } 0 \leq t \leq T,$$

$$\left. \frac{\partial^{\alpha_1} + \dots + \partial^{\alpha_n} u}{\partial \xi_1^{\alpha_1} \dots \partial \xi_n^{\alpha_n}} \right|_{\Gamma} = 0, \quad \sum_{i=1}^n \alpha_i \leq m-1, \quad (8)$$

$$u|_{t=0} = u_0(\xi), \quad u_t|_{t=0} = u_1(\xi), \quad (9)$$

$$\text{где } L(\xi, D)u = (-1)^m \sum_{|I|, |J| \leq m} D^I a_{IJ}(\xi) D^J \text{ и} \quad (10)$$

эллиптический симметричный оператор.

Задачу (7)–(9) рассмотрим в гильбертовом пространстве  $L_2(\Omega)$ .

Вариационная задача (C) в этом частном случае формулируется так: найти функцию  $f(t, \xi)$ , удовлетворяющую условию:

$$\int_0^T \left( \int_{\Omega} |f(t, \xi)|^2 d\xi \right)^p dt < +\infty, \quad p \geq 1,$$

минимизирующую (максимизирующую) функционал

$$J_1(f) = \int_0^T \int_{\Omega} A^{\frac{1}{2}} u(t, \xi) dG_1(t, \xi) d\xi dt + \int_0^T \int_{\Omega} \frac{\partial u(t, \xi)}{\partial t} dG_2(t, \xi) d\xi dt \quad (11)$$

где  $A$ —линейный оператор, порожденный дифференциальным выражением (10) при граничных условиях (8),

$$\sup_{i=1,2} \sum_{j=1}^1 |G_{\alpha}(t_j, \xi) - G_{\alpha}(t_{j-1}, \xi_m)|^2 d\xi < +\infty, \quad \alpha = 1, 2,$$

при ограничениях:

$$(b) 0 \leq f(t, \xi) \leq F(\xi),$$

$$(c) \int_0^T \int_{\Omega} f(t, \xi) b(t, \xi) d\xi dt \leq c,$$

где

$$\int_0^T \left( \int_{\Omega} |b(t, \xi)|^2 d\xi \right)^q dt < +\infty,$$

$$\int_{\Omega} |F(\xi)|^2 d\xi < +\infty, \quad \frac{1}{p} + \frac{1}{q} = 1,$$

$c$ —неотрицательная константа.

#### ЛИТЕРАТУРА

1. Халилов З. И. ДАН СССР, 1964, т. 155, № 4. 2. Якубов С. Я. ДАН Азерб. ССР, 1964, № 4.

Институт математики и механики

Поступило 5. III 1964

БАШХ ФАЗАСЫНДА ЖАТТИ ИДИРАЭСТА МӘСӘЛӘСИ  
ХУЛАСА

Мәғлүмдә Башх фазасында иккичи тартиб диференциал тапшылыштың единән системни идираетиң мәсәләсина болжылар. Мәсәләнни тојулушу белгедир  $\lambda(t)$  функциясы ( $\theta=0$ ) мәсәләсеннин һалямидир, елеу  $f(t) \in L_1(B)$  тапшылышының (1) функционалдан минимум (максимум) берени.

Натыйчеләр үзүнгерөлик тапшылыштың тојулушу ( $\theta=8=9$ ) гарынның мәсәләсина җатыре олуңур.

ХИМИЯ

О. Г. МАМЕДАЛИЕВ, Р. Г. ИСМАИЛОВ, Р. М. МАМЕДАЛИЕВ  
С. М. АЛИЕВ, Т. И. ГУСЕЙНОВ, В. А. АХМЕД-ЗАДЕ

ДЕГИДРИРОВАНИЕ АЛКИЛАРОМАТИЧЕСКИХ  
УГЛЕВОДОРОДОВ В «КИНЯЩЕМ» СЛОЕ РАЗЛИЧНЫХ  
ОКИСНЫХ КАТАЛИЗАТОРОВ

Результаты исследований дегидрирования алкилароматических углеводородов в «кинящем» слое катализатора, «стирол-контакт» были изложены в работах [1, 2]. В дальнейшем нами было изучено дегидрирование алкилароматических углеводородов в присутствии различных промышленных окисных катализаторов.

В настоящем сообщении приводятся основные результаты этих исследований.

## ЭКСПЕРИМЕНТАЛЬНАЯ ЧАСТЬ

Психодным сырьем служили этилбензол, изопропилбензол, этилтолуолы, изопропилтолуолы, этилкислоты и изопропилкислоты, полученные дегидрированием соответствующих ароматических углеводородов олефинами в присутствии синтетических алюмооксидиков.

Аппаратура и методика были наложены в работах [1, 2]. В качестве катализатора были взяты К-6, К-12, К-16, К-28, К-67 и др.

С целью выявления сравнительной активности этих катализаторов были проведены опыты по дегидрированию этилбензола при температуре  $680^\circ\text{C}$ , скорости подачи сырья  $=0.16=0.18 \text{ кг}^{-1}$  и молярном соотношении этилбензол:водяной пар  $1:18=20$ .

Полученные данные представлены в табл. 1.

Для сравнения приведены также и данные, полученные при дегидрировании этилбензола в присутствии синтетических алюмооксидиков.

Катализаторы К-16 и синтетические алюмооксидики являются маловактивными и выход стирола не превышает 10% на пропущенный этилбензол.

Сравнительно большую активностью обладают катализаторы К-28 и К-6. В присутствии К-28 дегидрирование этилбензола в стирол проходит с высокой селективностью и выход целевого продукта, считая на разложенное сырье, составляет 98%. Однако конверсия этилбензола при проходе инъекции составляет  $16=16\%$ .

В случае К-5 выход стирола на пропущенный и разложенный этилбензол составляет 34,4 и 71%.

В присутствии катализатора К-12 дегидрирование этилбензола идет с достаточной скоростью и приводит к образованию стирола—43,5% на пропущенное и 77% на разложенное сырье. Судя по полученным

Таблица 1  
Дегидрирование этилбензола в „кипящем“ слое различных окисных катализаторов

Условия: температура 630°C, скорость подачи этилбензола—0,15—0,18 ч<sup>-1</sup>, H<sub>2</sub>O—0,32—0,38 ч<sup>-1</sup>, молярное соотношение этилбензол : водяной пар 1:13—20

Катализатор	Выход стирола, вес. %		Состав газа, об. %			Удельный вес газа
	на пропущенное сырье	на разложенное сырье	H <sub>2</sub>	CO <sub>2</sub>	C <sub>n</sub> H <sub>2n</sub>	
K-16	10,5	15,5	40,4	58,4	1,2	0,964
Синтетические алюмосиликаты	11,3	64,5	95,0	5,0	0,0	0,200
K-28	15,82	98,2	94,0	6,0	0,0	0,200
K-5	34,4	71,0	86,7	9,7	3,6	0,300
K-12	43,5	77,0	56,81	42,5	0,69	0,714
K-67	60,3	81,2	56,53	42,6	0,87	0,660
„Стирол-контакт“	62,0	91,0	82,6	15,7	1,7	0,300

данным катализатор K-12 способствует конверсия стирола в кокс и далее в углекислый газ, в результате чего CO<sub>2</sub> в отходящих газах достигает 42,5%.

Таблица 2  
Дегидрирование алкилароматических углеводородов в „кипящем“ слое катализатора K-12.

Условия: температура 630°C, скорость подачи сырья 0,15—0,18 ч<sup>-1</sup>, H<sub>2</sub>O—0,32—0,38 ч<sup>-1</sup>, молярное соотношение сырья: водяной пар 1:13—20 (моль)

Алкилароматические углеводороды	Выход продуктов дегидрирования		Состав газа, об. %			Удельный вес газа
	на пропущенное сырье	на разложенное сырье	H <sub>2</sub>	CO <sub>2</sub>	C <sub>n</sub> H <sub>2n</sub>	
Этилбензол	43,5	77,0	56,81	42,5	0,69	0,714
Этилтолуол	37,3	69,0	66,76	32,8	0,44	0,577
Этилортоксиол	29,2	47,4	73,57	25,6	0,83	0,518
Этилметаксиол	24,6	37,2	69,48	30,3	0,22	0,574
Этилпараксиол	23,4	34,1	71,78	27,6	0,62	0,554
Изопропилбензол	65,3	78,0	60,92	38,0	1,08	0,734
Изопропилтолуол	58,8	64,5	67,33	31,8	0,87	0,574
Изопропилортоксиол	41,3	49,3	73,98	25,6	0,42	0,509
Изопропилметаксиол	51,5	56,6	73,83	25,1	1,07	0,489
Изопропилпараксиол	39,3	50,7	77,5	21,0	1,5	0,453

Катализатор K-67 по своей активности приближается к „стирол-контакту“. Выход стирола на пропущенный и на разложенный этилбензол составляет 60,3 и 81,2%.

Таким образом из использованных в работе катализаторов три: „стирол-контакт“, K-12 и K-67 могут быть рекомендованы для дегидрирования этилбензола в „кипящем“ слое.

Результаты опытов по дегидрированию кумола, алкилтолуолов и алкилксилолов в присутствии катализатора K-12 и K-67 представлены в табл. 2 и 3.

Таблица 3

Дегидрирование алкилароматических углеводородов в „кипящем“ слое катализатора K-67.

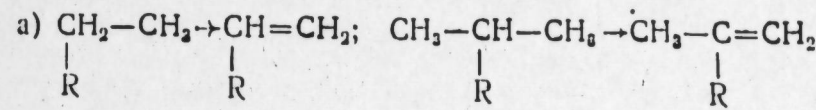
Условия: скорость подачи сырья—0,13—0,18 ч<sup>-1</sup>; H<sub>2</sub>O 0,30—0,36 ч<sup>-1</sup>, молярное соотношение: водяной пар—1:13—18 (моль)

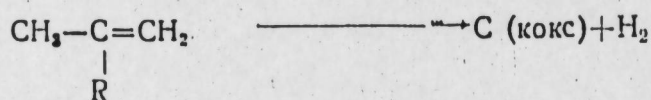
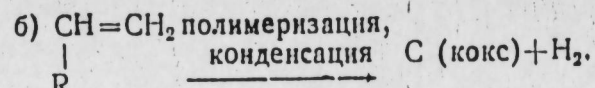
Алкилароматические углеводороды	Выход продуктов дегидрирования		Состав газа, об. %			Удельный вес газа
	на пропущенное сырье	на разложенное сырье	H <sub>2</sub>	CO <sub>2</sub>	C <sub>n</sub> H <sub>2n</sub>	
Температура—600°C						
Этилбензол	62,7	84,7	23,2	75,7	1,1	1,350
Этилтолуол	44,5	68,3	56,83	42,7	0,47	0,7148
Этилметаксиол	24,2	37,3	65,38	34,4	0,22	0,514
Этилортоксиол	18,0	35,1	56,76	43,0	0,24	0,8078
Изопропилбензол	78,0	87,3	35,4	63,5	1,1	1,070
Изопропилтолуол	66,5	80,8	63,88	35,3	0,82	0,5788
Изопропилметаксиол	26,3	43,4	61,18	37,4	1,42	0,5884
Изопропилортоксиол	26,4	38,2	63,84	35,9	0,26	0,6518
Изопропилпараксиол	30,2	58,7	59,97	38,4	1,63	0,6901
Температура—630°C						
Этилбензол	60,3	81,2	56,53	42,6	0,87	0,660
Этилтолуол	42,1	57,1	64,78	35,0	0,22	0,624
Изопропилбензол	80,0	81,5	61,5	38,0	0,50	0,700
Изопропилтолуол	66,6	72,0	64,83	34,3	0,87	0,600

Дегидрирование алкилароматических углеводородов в присутствии этих катализаторов сопровождается сравнительно низкой селективностью и выход целевого продукта на разложенное сырье колеблется от 34 до 84 вес. %. Газообразные продукты, наряду с 23—78% водорода, содержат 20—76% углекислого газа. Наличие небольшого количества (1—3%) олефиновых и парафиновых углеводородов в газе, а также и бензола, толуола и ксиолов (1—3%) в продуктах дегидрирования дает основание полагать, что в условиях процесса крекинг исходных алкилароматических углеводородов протекает минимально и на ход процесса существенного влияния не оказывает.

Таким образом, основной побочной реакцией, протекающей в условиях дегидрирования алкилароматических углеводородов в „кипящем“ слое окисных катализаторов, является конверсия углеводородов с H<sub>2</sub>O в углекислый газ.

Специальными опытами, проведенными с индивидуальными углеводородами, показано, что образование CO<sub>2</sub> протекает по схеме:





Стирол и его метилированные в ядре производные более склонны к полимеризации и уплотнению, чем соответствующие метилстиролы, благодаря чему степень конверсии в кокс и далее в углекислый газ у первых больше, чем у вторых.

Сравнение полученных данных показывает, что из использованных катализаторов наиболее эффективным для дегидрирования алкилароматических углеводородов в "кипящем" слое является "стирол-контакт", далее по активности и селективности следует К-67 и К-12.

#### ЛИТЕРАТУРА

1. Мамедалиев Ю. Г., Мамедалиев Г. М., Алиев С. М., Гусейнов Н. И. "Азерб. хим. журнал". 1962, № 3. 2. Мамедалиев Ю. Г., Мамедалиев Г. М., Алиев С. М., Гусейнов Н. И. ДАН Азерб. ССР, 1963, № 1.

ИНХП  
им. Ю. Г. Мамедалиев

Поступило 5.VIII 1963

Ю. Г. Мамедалиев, Р. І. Исмаилов, Һ. М. Мамедалиев,  
С. М. Элиев, Н. И. Իսյև, З. Э. Эһмәдзадә

Алкилароматик қарбонидрокенләрин "гајнар" лајда  
мұхтәлиф оксид катализаторларының иштиракы илэ  
дегидрокенләшдирилмәси

#### ХҮЛАСӘ

Мәгәләдә мұхтәлиф оксид катализаторларының гајнар дајында алкилбензолларын, алкилтолуолларын және алкилксилолларын дегидрокенләшмәсіндән алынат әсас інтичәләр верилмишdir.

Мүәжжән едилмишdir икى, "стирол-контакт", К-67 және К-12 катализаторлары յүксәк активлијә маликdir.

#### ОРГАНИЧЕСКАЯ ХИМИЯ

М. Р. МУСАЕВ, С. Д. МЕХТИЕВ

#### ОБ ИЗОМЕРИЗАЦИИ ЦИКЛОГЕКСЕНА В МЕТИЛЦИКЛОПЕНТЕНЫ ПРИ ДЕГИДРАТАЦИИ ЦИКЛОГЕКСАНОЛА НАД ОКИСЬЮ АЛЮМИНИЯ

Н. Д. Зелинским и Ю. А. Арбузовым [1] показана изомеризация циклогексена в метилцикlopентены в присутствии окиси алюминия, силикагеля и окиси бериллия. В дальнейшем, эта реакция описывалась как препаративный метод получения метилцикlopентенов [2], причем синтез исходного продукта—циклогексена предлагается из циклогексанола дегидратацией серной или фосфорной кислотой [3]. Таким образом, получение метилцикlopентенов из циклогексанола по предложенной методике является двухстадийным. Кроме того, в первой стадии имеет место частичная потеря образующегося циклогексена вследствие побочных реакций.

В настоящей работе представляются результаты исследования реакции дегидратации циклогексанола над окисью алюминия с различной степенью активности. Установлено, что циклогексанол хорошо дегидратируется над окисью алюминия в интервале температур 200—450°C, основным продуктом реакции является циклогексен, причем выше 400°C независимо от степени активности окиси алюминия реакция протекает почти количественно. При прочих равных условиях ниже 400°C, степень дегидратации зависит от температуры, активности катализатора и времени контакта.

Было замечено, что при дегидратации частично протекает реакция изомеризации с превращением циклогексена в метилцикlopентены.

Изомеризация зависит в основном от температуры реакции и активности катализатора.

Независимо от активности окиси алюминия при дегидратации до 300°C, в продуктах реакции, отогнанных до 85°C, количество циклогексена составляет 98—99%. Над неактивной окисью алюминия ( $\alpha$ -форма) даже при 400°C и выше количество метилцикlopентенов не превышает 5%. При 400 и 450°C над активной окисью алюминия ( $\gamma$ -форма) количество метилцикlopентенов доходит до 15 и 25% соответственно. В случае количественной дегидратации, почти все полученные углеводороды перегоняются до 85°C, остаток составляет 2—3% на исходный спирт. Остаток, являющийся продуктом уплотнения, деталью нами не исследован.

Состав продуктов реакции был определен методом газожидкостной хроматографии. Проведенный эксперимент показывает, что продукта-

ми изомеризации в основном являются 1-метилцикlopентен-1 и 3-метилцикlopентен-1, находящийся в примерном молярном отношении 3:1 соответственно. Например, над активной окисью алюминия при 400 и 450°C, в продуктах реакции количество 1-метилцикlopентена-1 составляет 11–12%, а 3-метилцикlopентена-1, 3–4%. В продуктах реакции обнаружены следы бензола. Катализатор, приготовленный

#### Результаты дегидратации циклогексанола

№ пп	Взятый катализатор	№ опыта	Температура и степень дегид- ратации		Состав полученных угле- водородов, вес. %			
			Температу- ра реакции, °C	Степень дегидратации, вес. %	4-мети- цикlopен- тен-1	3-мети- цикlopен- тен-1	1-мети- цикlopен- тен-1	циклогексен
1	Неактивная окись алю- миния ( $\alpha$ -форма)	1	300	94,5	—	0,8	1,2	98,0
		2	350	98,0	—	0,8	1,3	97,9
		3	400	99,5	—	0,8	1,4	97,8
		4	450	99,7	—	0,9	2,8	96,3
2	Окись алюминия приго- товленная в лаборатории	1	300	80,2	0,0	0,6	0,9	98,1
		2	350	85,4	0,3	0,8	1,6	97,3
		3	400	90,4	0,4	1,1	3,0	95,7
		4	450	96,2	0,4	1,0	3,2	95,4
3	Активная окись алюми- ния, марки А-1 ( $\gamma$ -форма)	1	200	38,0	—	—	—	100
		2	250	75,8	—	—	—	100
		3	300	98,8	—	—	—	100
		4	350	100,0	0,2	0,7	3,5	95,6
		5	400	100,0	0,3	3,4	11,3	85,0
		6	450	100,0	0,4	5,4	19,5	74,7

нами в лабораторных условиях оказался также не активным, но в отличии от неактивной окиси алюминия (заводской марки), при температуре выше 300°C так же, как катализатор марки А-1, кроме отмеченных выше изомеров метилцикlopентена, образует около 0,3–0,4% 4-метилцикlopентена-1, составляющего 20% на изомеризованных метилцикlopентенов. Результаты опытов по дегидратации и состав полученных цикленов дается в таблице.

Резюмируя вышесказанное, можно отметить тот факт, что над окисью алюминия (выше 400°C) реакция дегидратации циклогексанола в циклогексен протекает почти количественно, не зависимо от активности катализатора. Параллельно с этим над окисью алюминия имеет место изомеризация полученного циклогексена в метилцикlopентены, заметно зависящая от активности катализатора и температуры реакции. Отмеченные две реакции, по-видимому, протекают независимо друг от друга.

#### ЭКСПЕРИМЕНТАЛЬНАЯ ЧАСТЬ

Для опытов использовался продажный циклогексанол чешского производства, основные свойства которого, в том числе температура плавления, совпадала с литературными.

В качестве дегидратирующих катализаторов были взяты следующие образцы окиси алюминия.

1. Неактивная  $\alpha$ -форма, со следующими показателями: поверхность 12,2–14,2  $m^2/g$ , средний диаметр пор 10Å.

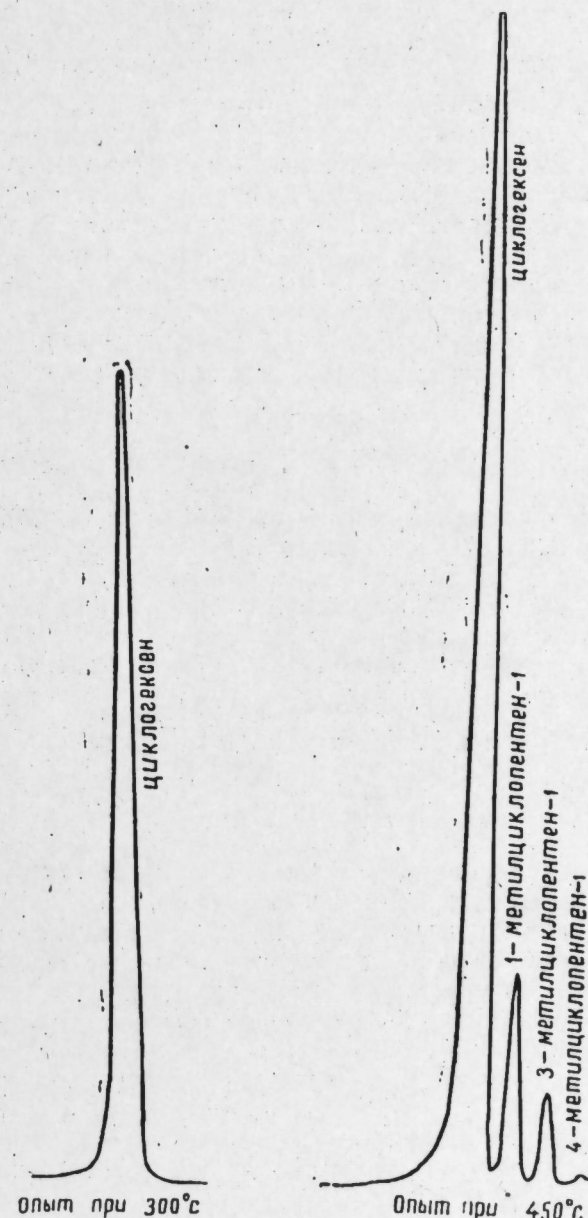


Рис.

2. Приготовленная в лаборатории осаждением раствора  $KAl(SO_4)_2 \cdot 12H_2O$  20%-ным раствором аммиака. После осаждения гидроокись многократно деканттировалась дестиллированной водой для освобождения от ионов  $SO_4^{2-}$ , фильтровалась и таблетировалась.

3. Марки А-1,  $\gamma$ -форма со следующими показателями.

По ГОСТу	Установлено аналитически
Активность	243—245
Насыпной вес, г/л	400—550
Мех. прочность, %	95—98
Потери при прокал., %	6,0
Соедин. Fe, %	0,1
	—
	286—522
	97,6—97,8
	1,1—2,3
	0,03

Поверхность этого активного катализатора составляет  $235 \text{ м}^2/\text{г}$ , средний диаметр пор  $40\text{\AA}$ .

Дегидратация проводилась на лабораторной установке проточной системы в стационарном слое катализатора. Реактором служила стеклянная трубка марки "пирекс" с внутренним диаметром  $18—22 \text{ мм}$ .

Температура реакции выдерживалась и измерялась автоматически регулирующим потенциометром. Для каждого опыта бралась новая порция окиси алюминия. Время опыта составляло 1 ч, объемная скорость  $0,5 \text{ ч}^{-1}$ . На рисунке дается состав циклонов, полученных над активной окисью алюминия, марки А-1 при  $300$  и  $450^\circ\text{C}$ , определенный методом газожидкостной хроматографии.

#### ЛИТЕРАТУРА

- Зелинский Н. Д., Арбузов Ю. А. *ДАН СССР*, 1939, 24, № 8. 2. Платэ А. Ф. Краткое руководство к практикуму по химии нефти. Изд-во МГУ, 1960.
- Синтезы органических препаратов. Сб. 1, стр. 509, сб. 2, стр. 568, примечание 1. ИЛ, 1949.

ИНХП  
им. Ю. Г. Мамедалиева

Поступило 14.XI 1963.

М. Р. Мусаев, С. Ч. Мендиев

Тциклонексанолу алуминиум оксиди үзәриндә деңидратасија етдикдә әмәлә қелән тциклонексенин нисбәтән метилтциклопентенләрә изомерләшмәси

#### ХУЛАСӘ

Тциклонексанол алуминиум оксиди үзәриндә деңидратасија олунараг тциклонексенә вә суја чөврилир. Бу реаксија  $200—450^\circ\text{C}$  арасында  $0,5 \text{ saat}^{-1}$  һәчм сүр'этинде өјрәниләрәк тәдгигатлар апарылышдыр.

Катализатор кими зәиф вә актив формаларда (*a* вә  $\gamma$  формаларда) алуминиум оксиди көтүрүлмүшдүр. Реаксија  $200^\circ\text{C}$ -дән башлајыр вә  $300^\circ\text{C}$ -дә максимума чатыр.  $300^\circ\text{C}$ -ә ғәдәр просеси апардыгда алынан тциклонексенин тәмизлији  $98\%-э$  чатыр. Бу температурдан йухары исә алынан тциклонексенин мүәjjән мигдары метилтциклопентенләрә изомерләшир.

Реаксијаны актив,  $\gamma$  формалы, А-1 маркалы алуминиум оксиди үзәриндә апардыгда вә температур  $450^\circ\text{C}$  олдугда алынан метилтциклопентенләрин мигдары  $25\%-э$  чатыр.

#### ОРГАНИЧЕСКАЯ ХИМИЯ

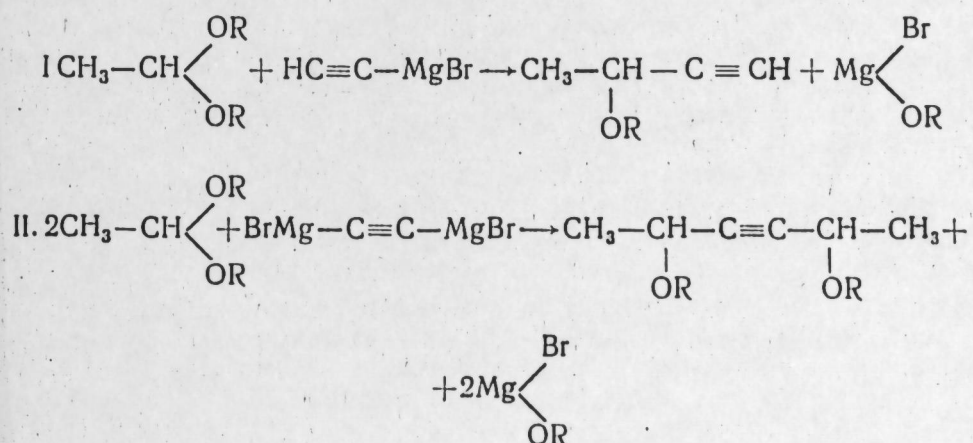
М. Р. КУЛИБЕКОВ

#### ОБМЕННАЯ РЕАКЦИЯ АЦЕТАЛЕЙ И ИХ ГАЛОИДПРОИЗВОДНЫХ С КОМПЛЕКСОМ ИОЦИЧА

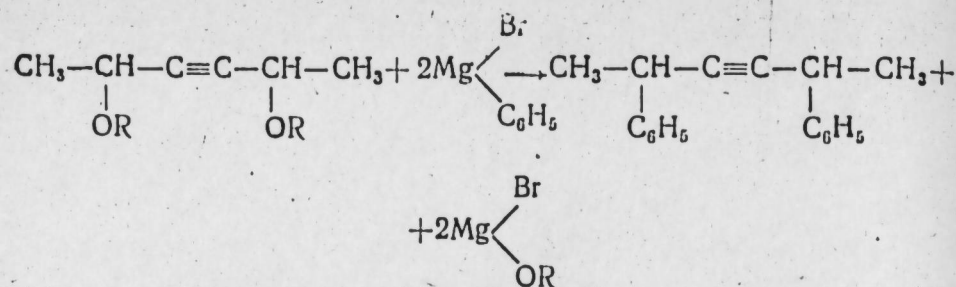
(Представлено академиком АН Азербайджанской ССР А. М. Кулиевым.)

Взаимодействие ацеталей и их галоидпроизводных с комплексом Иоцича почти не изучено. До сих пор мы исследовали реакции обмена ацеталей и их производных с магнийорганическими соединениями [1—9]. Представляло интерес сравнительное изучение действия реактива Гриньяра и комплекса Иоцича в обменных реакциях с ацеталями, с целью выявления характерных особенностей этих реакций.

В итоге проведенного исследования нами установлено, что механизм действия комплекса Иоцича с ацеталами аналогичен механизму обменной реакции магнийорганических соединений с последними, т.е. в обоих случаях происходит обмен алcoxильных групп на радикалы комплексов Гриньяра и Иоцича. В зависимости от замещенности водородов ацетиленена на  $MgBr$  реакция обмена идет с образованием простых эфиров ацетиленовых спиртов и ацетиленовых  $\gamma$ -гликолов.

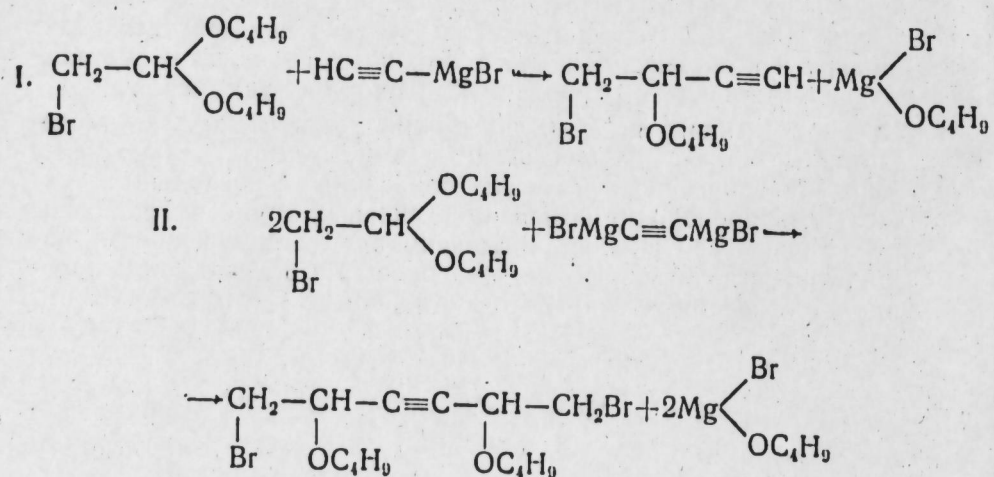


Строение простых эфиров ацетиленовых  $\gamma$ -гликолов было доказано действием на него магнийбромфенила:



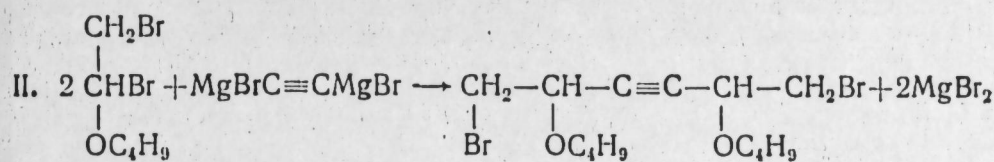
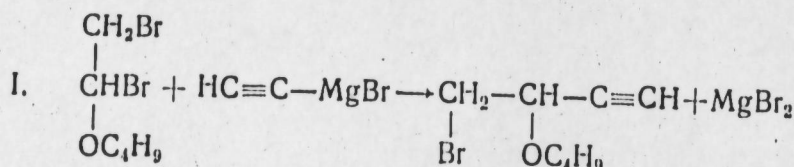
Эти эфиры интересны тем, что содержат в своих молекулах активный водород и тройную связь, обладающую большим запасом внутренней энергии. Кроме того, эфиры, содержащие тройную связь, имеют исключительно ароматный запах.

Для синтеза простых  $\beta$ -бромэфиров ацетиленовых спиртов и  $\gamma$ -гликолей нами использовался бромацеталь. Здесь нас интересовало поведение бромного атома, находящегося в  $\beta$ -положении по отношению к эфирному кислороду ацетала. В результате проделанных работ с  $\beta$ -бромдигибутилацеталем мы пришли в выводу, что бромный атом оказывает определенное влияние на подвижность бутоксигруппы, приводя ее в более активное состояние и поэтому обменная реакция  $\beta$ -бромбутилацетала с комплексом Иоцича идет более гладко с образованием простых  $\beta$ -бромэфиров ацетиленовых спиртов и  $\gamma$ -гликолей:



Следует отметить, что взаимодействие  $\beta$ -бромдибутилового ацетала с комплексом Иоцича, может служить методом для получения простых  $\beta$ -бромэфиров ацетиленовых спиртов и  $\gamma$ -гликолей.

Для доказательства строения полученных ацетиленовых  $\beta$ -бромэфиров был осуществлен встречный синтез  $\alpha$ ,  $\beta$ -дигрометилбутилового эфира с комплексом Иоцича по уравнениям:



Несмотря на жесткие условия реакции атом брома в  $\beta$ -положении не замещается на этинильную группу комплекса Иоцича. Это однозначно доказывает прочность  $\beta$ -галоидов в эфирах и ацеталах. Синтезированные нами 1-бром-2-бутоксибутин-3 и 1, 6-дигалоген-2, 5-дибутоксигексин-3 замечательны тем, что у них несколько активных центров, при помощи которых можно осуществить различные реакции присоединения, замещения и обмена.

## ЭКСПЕРИМЕНТАЛЬНАЯ ЧАСТЬ

## 1. Синтез 3-бутоксибутин-1 и 2,5-дибутоксигексии-3

В среде 140 мл сухого тетрагидрофурана обычным путем был приготовлен этилмагнийбромид в токе азота из 4,8 г магния и 22,2 г бромистого этила. Тepлый раствор реактива Гриньяра был перенесен в капельную воронку, вставленную в реакционную колбу, содержащую 150 мл тетрагидрофурана, снабженную газоотводной трубой и механической мешалкой.

Ацетилен, освобожденный от ацетона пропусканием через ловушку ( $-80^\circ$ ), подавался в смесь с тетрагидрофураном до насыщения последнего, а затем по порциям (3—5 мл) из капельной воронки добавлялся реактив Гриньяра. Прозрачный раствор тетрагидрофурана от первых порций реактива Гриньяра принимал салатовый цвет. По мере приливания остальных порций, цвет продукта стал желтый, а к концу — бурый. Реакционная колба слабо нагревалась при пропускании ацетилена. Пропускание ацетилена и перемешивание реакционной смеси продолжалось два дня. Продукт был темно-коричневого цвета. На следующий день к полученному таким образом комплексу Иоцича, при перемешивании по каплям приливали 25,5 г дибутилацетала сперва без нагревания, а затем колба нагревалась на водяной бане в течение 14 ч при механическом перемешивании. Продукт был оставлен на ночь, после чего он еще раз насыпался ацетиленом целый день. Обратный холодильник был заменен нисходящим для отгона тетрагидрофурана с целью поднятия температуры реакционной смеси. Началось вскипание продукта внутри колбы с образованием липкого темно-коричневого осадка, который разлагался с 5%-ным раствором уксусной кислоты. После очистки продукт сушился над безводным сернокислым натрием. После трехкратной перегонки были выделены фракции:

I фр. ст. кип. 70,5—71° при 10 лм в количестве 1,84 г,  $n_{D}^{20}$  1,4100,  $d_{40}^{20}$  0,8323.

Эта фракция представляет собой исходный дибутилацеталь.  
II фр. ст. кип. 78—79,5° при 10 мм в количестве 6,4 г (34,8%),  
 $n_D^{20} 1,4180$ ,  $d_4^{20} 0,8316$ ; найдено MR<sub>D</sub> 38,26; вычислено MR<sub>D</sub> 38,72  
(CH<sub>3</sub>—CH—C≡CH)

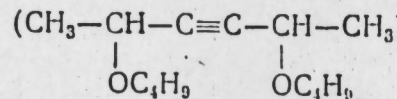
Найдено %: С 75,75—75,91; Н 10,85—11,01; МВ 122,2  
Вычислено %: С 76,19; Н 11,11; М 126.

281-2

ЦЕНТРАЛЬНАЯ НАУЧНАЯ  
БИБЛИОТЕКА  
Академии наук Киргизской ССР

II фр.-3-бутоксибутин-1 представляет собой прозрачную жидкость с ароматным запахом. Он дает характерный белый осадок с аммиачным раствором окиси серебра.

Остаток был перенесен в маленькую колбу и расфракционирован в вакууме. Было выделено 7,67 г (46,5%) вещества с т. кип. 191—195° при 12 мм;  $n_{D}^{20}$  1,4300;  $d_{4}^{20}$  0,8490; найдено  $M_{R_D}$  68,77, вычислено  $M_{R_D}$  68,07.



Найдено, %: С 74,00—73,91; Н 11,88—11,61; МВ 220,4  
Вычислено, %: С 74,34; Н 11,50; МВ 226.

2,5-дибутоксигексин-3 представляет собой прозрачную жидкость с нежным ароматным запахом, в воде он не растворим и не дает белого аморфного осадка с аммиачным раствором окиси серебра, что указывает на отсутствие ацетиленового водорода в молекуле. Строение 2,5-дибутоксигексина-3 было доказано действием на него магнийбромфенила.

### Обменная реакция 2,5-дибутоксигексина-3 с магнийбромфенилом

Из 2,4 г магния и 15,7 г бромбензола в среде серного эфира был приготовлен магнийбромфенил. Тepлый раствор реактива Гриньяра приливался 6,5 г нагреваемого на водяной бане 2,5-дибутоксигексина-3 с одновременной отгонкой растворителя. При температуре 85° началось сильное вскипание смеси с образованием липкого коричневого осадка. Полученный продукт был двухкратно разогнан в вакууме и было выделено 3,48 г (52%) жидкости с т. кип. 218—220/10 мм,  $n_{D}^{20}$  1,5555,  $d_{4}^{20}$  0,9898, которая соответствовала дифенил 2,5, гексину-3. По литературным данным [8] этот ацетиленовый углеводород имеет следующие константы: т. кип. 205—210°/6 мм,  $n_{D}^{20}$  1,5570,  $d_{4}^{20}$  0,9908.

### 2. Синтез 1-бром, 2-бутоксибутин-3 и 1,6-дibrom 2,5-дибутоксигексин-3

Из 4,8 г магния и 22,1 г бромистого этила в среде 150 мл сухого тетрагидрофурана был приготовлен магнийбромэтил. В этом случае при приготовлении реактива Гриньяра в реакционную смесь пропускался ацетилен. После прилиивания всего количества бромистого этила перемешивание и подача ацетиленена продолжались в течение 5 ч. Дальнейшая операция аналогична предыдущему опыту. К полученному темно-коричневому продукту-реактиву Иоцича было прилито 50 г  $\beta$ -бромдибутилацетала. После очистки и сушки продукт разгонялся в вакууме. В результате двухкратной перегонки было получено две фракции:

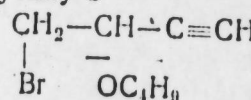
I фр. 93—95°/17 мм;  $n_{D}^{20}$  1,4478,  $d_{4}^{20}$  1,1511  
II фр. 116—118°/17 мм;  $n_{D}^{20}$  1,4560,  $d_{4}^{20}$  1,1891.

Найдено  $M_{R_D}$  46,86, вычислено  $M_{R_D}$   $C_8H_{10}OBr$ , 46,55  
Найдено %: С 46,46—46,39; Н 6,66—6,71; Br 38,85—38,92

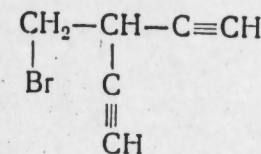
Вычислено %: С 46,83; Н 6,34; Br 39,02.

Фракция с т. кип. 93—95°/17 мм оказалась исходным  $\beta$ -бромбутиловым ацеталем.

Что касается фракции с т. кип. 116—118°/17 мм, полученной в количестве 10 г (25,3 %), то исследование показало, что она соответствует 1-бром, 2-бутоксибутину-3



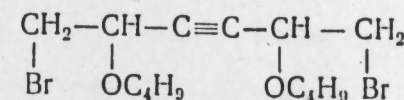
1-бром 2-бутоксибутин-3 представляет собой прозрачную слегка желтоватую, жидкость с характерным запахом. В воде не растворяется. Остаток был разогнан в вакууме и выделено 3,55 г (11,1%) жидкости с т. кип. 125—127/18 мм.  $n_{D}^{20}$  1,4502,  $d_{4}^{20}$  1,1463, найдено  $M_{R_D}$  34,00, вычислено  $M_{R_D}$  33,67



Найдено %: С 45,53, 45,49; Н 3,33—3,41; Br 50,50—50,39.

Вычислено %: С 45,86; Н 3,18; Br 50,95  
1-бром, 2-этинилбутин-3 является побочным продуктом исчерпывающего обмена  $\beta$ -бромбутилацетала с комплексом Иоцича—однозамещенного ацетиленена.

Кроме того, в количестве 14,02 г (37,1%), была выделена жидкость с т. кип. 132—135°/18 мм,  $n_{D}^{20}$  1,5017,  $d_{4}^{20}$  1,2108, найдено:  $M_{R_D}$  93,48, вычислено  $M_{R_D}$  93,60



Найдено %: С 43,33—43,51; Н 6,66—6,81; Br 41,21—41,01.

Вычислено %: С 43,75; Н 6,25; Br 41,66  
1,6-дibrom, 2,5-дибутоксигексин-3 представляет собой прозрачную слегка желтоватую жидкость с характерным запахом. В воде не растворим. В реакционной колбе осталась темно-коричневая густая жидкость, которую не смогли перегнать даже при значительно высокой температуре. Она превратилась в черную смолу.

Для доказательства строения полученных 1-бром, 2-бутоксибутин-3 и 1,6-дibrom 2,5-дибутоксигексин-3 был осуществлен синтез комплекса Иоцича с  $\alpha$ ,  $\beta$ -дibromэтилбутиловым эфирам.

К полученному обычным путем комплексу Иоцича в условиях предыдущего опыта было прилито 52 г  $\alpha$ ,  $\beta$ -дibromэтилбутилового эфира с т. кип. 104°/16 мм,  $n_{D}^{20}$  1,4970  $d_{4}^{20}$  1,5540. Первые порции не вызвали заметного изменения в реакционной смеси и поэтому она нагревалась на водяной бане в течение 6 ч при механическом перемешивании. Полученный продукт разгонялся в вакууме и было выделено 10,75 г (28%) 1-бром, 2-бутоксибутин-3 с т. кип. 111—111,5°/12 мм,  $n_{D}^{20}$  1,4610,  $d_{4}^{20}$  1,1900 и 14,1 г (36,5%) 1,6-дibrom, 2,5-дибутоксигексин-3 с т. кип. 128—130°/12 мм  $n_{D}^{20}$  1,5005,  $d_{6}^{20}$  1,2111. Некоторая часть  $\alpha$ ,  $\beta$ -дibromэтилбутилового эфира осталась без изменения. Кроме этих продуктов, в реакционной колбе образовалась черная смола, по-видимому, в результате полимеризации непредельных соединений.

### Выводы

1. Изучена обменная реакция дифутилацетала с комплексом Иоцича и установлено, что механизм реакции обмена ацеталей и их производных с реагентом Гриньяра одинаков с обменной реакцией их с комплексом Иоцича, т. е. в обоих реакциях происходит обмен оксирадикалов (алкооксидов) на соответствующие радикалы с образованием простых эфиров предельных и ацетиленовых спиртов. В зависимости

от моно- и дизамещенности ацетилена на MgBr реакция обмена может завершаться с образованием простых эфиров ацетиленовых спиртов или  $\gamma$ -гликолей.

2. Предлагаются методы синтеза простых эфиров ацетиленовых спиртов,  $\gamma$ -гликолей и их  $\beta$ -бромэфиров.

#### ЛИТЕРАТУРА

1. Арбузов А. ЖФХО, 53, 289, 1921.
2. Горбань А. К., Кулибеков М. Р. Шостаковский М. Ф. Изв. АН СССР, ОХН, 1963, № 4, 754.
3. Иоцич И. Ж. ЖРФХО, 34, 242, 1902.
4. Кулибеков М. Р. Азерб. хим. журн., 1962, № 5.
5. Кулибеков М. Р. и Шамхал Мамедов. ЖОХ, 26, 3020, 1956.
6. Кулибеков М. Р., Горбань А. К. Изв. АН СССР, ОХН, 1963.
7. Шамхал Мамедов. Труды хим. института АзФАН СССР, 1942, № 5, 3.
8. Шамхал Мамедов. Исследование в области простых эфиров гликолей. Изд. АзФАН СССР, 89, 1944.
9. Шостаковский М. Ф. и Кулибеков М. Р. ЖОХ, 28, 1958.
10. Шостаковский М. Ф. и Кулибеков М. Р. ЖОХ, 28, 1958.
11. Шостаковский М. Ф., Кулибеков М. Р. и Шихнев И. А. ЖОХ, 28, 1958.
12. Шостаковский М. Ф., Кулибеков М. Р. и Горбань А. К. ЖОХ, 28, 1958.
13. Шостаковский М. Ф., Кулибеков М. Р. и Горбань А. К. ЖОХ, 28, 2838, 1958.
14. Heiter Chem. Abst. 16, 336, 1909.

Азерб. с/х институт

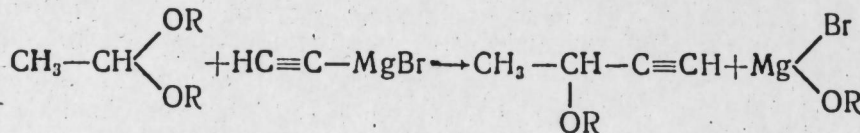
Поступило 30.XI. 196

М. Р. Гулубеев

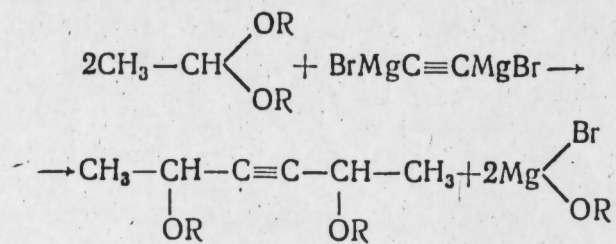
#### Атсеталларын вә онларын ңалокенли төрәмәләринин Юсич комплекси илә мүбадилә реаксијасы

#### ХҮЛАСӘ

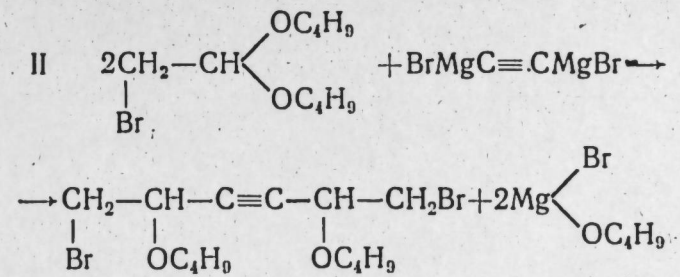
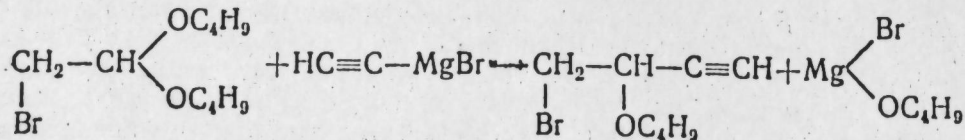
Мәгаләдә көстәрилир ки, Юсич комплекси илә атсеталлара тә'сир етдиңдә, онларын алcoxил группу Юсич комплексинин радикалы илә мүбадилә реаксијасына кирәрәк ацетилен спиртләринин садә ефирләрине чөврилир.



Ацетиленни димагнезиумбром төрәмәси мүбадилә реаксијасы заманы диметилбутиндиолун там садә ефирина чөврилир:



Ейни реаксија,  $\beta$ -бромасетал үчүн дә кедир вә иәтичәдә ацетилен спиртләринин мұвағиғ  $\beta$ -брон ефирләри алыныр..



Беләликлә, биз ацетилен спиртләринин вә онларын диолларының садә ефирләрини, һәмчинин һәмин ефирләрин  $\beta$ -брон төрәмәләрини алмаг үчүн үсүл тәклиф едирик.

ГЕОФИЗИКА

К. Ш. ИСЛАМОВ

ЗЕМЛЕТРЯСЕНИЕ В ДЕКАБРЕ 1959 ГОДА  
В ПОСЕЛКЕ НАСОСНЫЙ

(Представлено академиком АН Азербайджанской ССР А. Д. Султановым)

12. XII 1959 г. в 03 ч 56 мин местного времени в районе поселка Насосный произошло землетрясение.

Землетрясение зарегистрировано всеми временными сейсмическими станциями Института геологии Академии наук Азербайджанской ССР и многими стационарными станциями СССР.

Максимальная сила землетрясения по сейсмической шкале Института физики Земли АН СССР 7 баллов (рис. 1).

Инструментальные данные.

В таблице даны времена вступлений продольных ( $P$ ), поперечных ( $S$ ) волн, разность фаз ( $S-P$ ) и эпицентральные расстояния.

Станция	$P$ сек	$S$ сек	$S-P$ сек	$\Delta$ , км
Джорат	48,8	53,6	4,8	15
Нардаран	55,4	65,9	10,5	39
Баку	56,0	67,2	11,2	41
Кара-Чухур	56,5	68,2	11,7	45
Шемаха	61,0	74,0	13,0	82
О. Жилой	66,8	87,3	20,5	93

Время в очаге определено по способам Вадати и биссектрисс 0:23 ч 55 мин 43,5 сек. Координаты эпицентра определены по способу Искава  $\phi=40^{\circ}42'$ ,  $N \lambda=49^{\circ} 38' В$ , при  $K=3,6$  км/сек, которые отличаются от координат эпицентра, найденных по макросейсмическим данным на 9—10 км (рис. 1), глубина очага землетрясения  $h=5$  км. Годограф этого землетрясения имеет четыре ветви для продольных и две ветви для поперечных волн.

Первые вступления прямой продольной волны зафиксированы на с/ст. Джорат, Нардаран, Баку, Кара-Чухур. На с/ст. Шемаха и о. Жилой первые вступления принадлежат дифрагированной волне.

Годографы прямых волн выражаются следующими уравнениями:

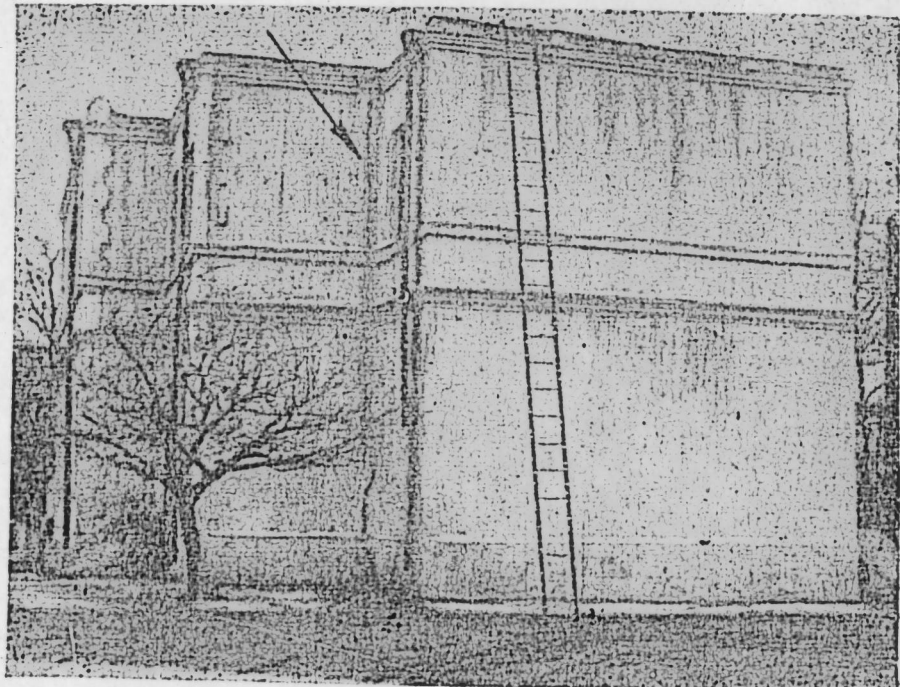


Рис. 1

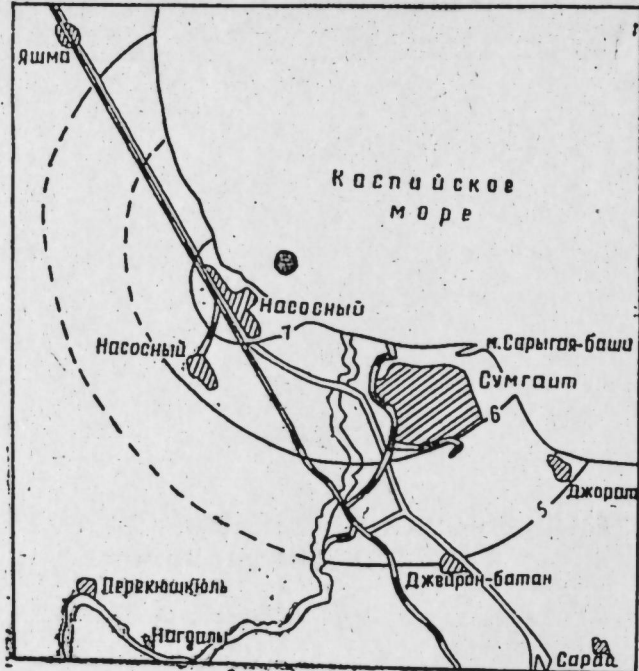


Рис. 2

$$t_p = \frac{\Delta}{3,6} + 1,3; \quad t_s = \frac{\Delta}{2,0} + 2,5$$

### Макросейсмические данные

Для обследования последствий землетрясения выехали сотрудники Института геологии К. Ш. Исламов, Ф. Т. Кулнев и В. П. Кузнецовых.

Землетрясение с наибольшей силой ощущалось в п. Насосный, здесь в большинстве одно- и двухэтажных домах, построенных с соблюдением норм антисейсмического строительства, рассчитанных на семибалльную зону, с каменной кладкой имеются значительные повреждения, трещины в штукатурке, откалывание кусков штукатурки. В отдельных двухэтажных домах имеются сквозные трещины как в перегородках, так и в фундаментальных стенах (рис. 2). У другого двухэтажного дома с каменной кладкой одна из стен отделилась от других и потолка (рис. 3). В водопроводе машинного отделения появились трещины в штукатурке.

В г. Сумгаите землетрясение ощущалось силой в 6 баллов. Многие здания имеют легкие повреждения: тонкие трещины в штукатурке, осыпание побелки. Землетрясение ощущалось всеми, качались висячие предметы, легкая мебель сдвигалась с места, падала посуда.

В поселках Джорат и Джейран-батан сила землетрясения достигала 5 баллов. Землетрясение ощущалось всеми людьми внутри зданий: в домах осыпалась побелка, слышался легкий скрип полов и перегородок. В отдельных зданиях были легкие повреждения, заметно качались висячие предметы.

В сел. Яшма сила землетрясения достигала 4 баллов.

### ЛИТЕРАТУРА

1. Кузнецов В. П. Исследование землетрясений из поверхностных очагов для характеристики осадочной толщи юго-восточного Кавказа. Труды Ин-та физики и математики АН Азерб. ССР, серия физич., т. VIII, 1956.
2. Кузнецов В. П., Исламов К. Ш. и др. Отчет за 1962 г. Инstrumentальные исследования сейсмичности Апшеронского полуострова и островов Каспийского моря, прилегающих к полуострову.

Институт геологии

Поступило 17. IV 1963



Рис. 3

12 декабрь 1959-чү илдэ Насослу гэсэбэснндэ зэлзэлэ

## ХУЛАСЭ

1959-чу ил декабрын 12-дэ јерли вахтла saat  $3^{56}$  дэгигэдэ Насослу гэсэбэснндэ күчлү зэлзэлэ олмушдур.

Чиңазларын вердији вэ зэлзэлэ рајонунун јохланмасындан алынан мэ'луматлара эсасэн, зэлзэленин күчү 7 бал һесабланмышдыр. Чиңазларын гејдләринә эсасэн, еписентрин координатлары Исикува үсулу илэ тапылмышдыр (1-чи шәкил).

$$\varphi = 40^{\circ} 42' s, \quad \lambda = 49^{\circ} 38' V.$$

Зэлзэлэ очагынын дәринлији  $h=5$  км-дир.

Чорат, Нардаран, Бакы вэ Гарачухур сејсмик стансијасында 1-чи фаза дүз далғаја аиддир. Шамахы вэ Жилој адасында јерләшэн стансијаларда исэ 1-чи фаза дифраксија олунмуш далғаја аиддир.

Енимэ вэ узунуна дүз далғаларын годографлары ашағыдакы шәкилдэ олур:

$$t_p = \frac{\Delta \Psi}{3,6} + 1,3; \quad t_s = \frac{\Delta}{2,0} + 2,5$$

Макросејсмик мэ'луматлар билаваситэ зэлзэлэдэн зэрэр чәкмиш јерләрэ кетмәклэ әлдэ едилмишдир.

Насослу гэсэбэснндэ бир вэ икимәртәбэли евләрин әксәрийжети зэлзэленин тә'сири нәтичесинде зэрэр чәкмишдир. Демәк олар ки, бүтүн евләрини сувагларында чатлар әмәлә кәлмишдир. Бә'зи евләрдэ елэ чатлар әмәлә кәлмишдир ки, һәмин чатлардан ишыг кирә билир (2—3-чү шәкилләрә бах).

Сумгајыт шәһириндэ зэлзэленин күчү 6 бал олмушдур. Бир чох евләрини диварларында назик чатлар әмәлә кәлмишдир. Бә'зи евләрдэ суваглар чатламыш вэ төкулмушдур.

Чорат вэ Чејранбатан гэсэбэләриндэ зэлзэленин күчү 5 бал олмушдур. Евләрин суваглары чатламышдыр.

Јашма кәндиндэ зэлзэленин күчү 4 бал олмушдур.

ПЕТРОГРАФИЈА

Ч. Э. СУЛТАНОВ, С. Э. МУСТАФАЈЕВА

**ГӘРБИ АЗӘРБАЙЧАНДА ИНКИШАФ ЕТМИШ АБШЕРОН  
МӘРТӘБӘСИ КИЛ ЧӨКҮНТҮЛӘРИНИН ЛИТОЛОЖИ ТӘРКИБИ  
ВӘ ФИЗИКИ ХАССӘЛӘРИ (Ортагаш гырышыглығы)**

(Азәрбајҹан ССР ЕА академики М. Э. Гашгай тәгдис етмишдир)

Гырышыглыгда, эсас е'тибарилә, Шәрги Ортагаш антиклиналынын шәрг ганадыны тәшкүл едән чөкүнтуләр Агчакиль вэ Абшерон Яашлы чөкүнтуләрдир. Абшерон чөкүнтуләри трансгрессив јары континентал әмәләкәлмә шәрәнтинә малик олуб, Агчакиль чөкүнтуләри үзәриндә јатыр.

Ортагаш кәсилиши үзрә гранулометрик анализләрин өјрәнилмәси нәтичесинде мэ'лум олмушдур ки, Ортагаш рајонунда Абшерон мәртәбәси кил чөкүнтуләринин 15%-ни килли фраксија, 24%-ни тозлу фраксија вэ 61%-ни исэ гум фраксијасы тәшкүл едир. Гум материаллары арасында ән чох инкишәф етмиш фраксија 0,10—0,05 мм-дир. Бә'зи нұмунәләрдә бу фраксијанын мигдары 55%-ә чатыр (1-чи шәкил).

Физики-кимјәви параметрләри тәдгиги нәтичесинде алынан мэ'луматлар көстәрир ки, Ортагаш рајонунун килли чөкүнтуләриндә рН 7,78—9,35 арасында дәјишир. Еһ исэ (+) 5—(+ 20)  $m\mu$  вэ бә'зән исэ (-) 19—(-) 42  $m\mu$  арасында тәрәддүд едир. Алынан дәгиг нәтичәләр әсасында гејд етмәк олар ки, өјрәндіјимиз килли сүхурларын топланмасы вэ әмәлә кәлмәси гәләви вэ бәрпаедичи мүһитдә баш вермишдир.

Ортагаш кәсилишиндә карбонатлығын мигдары 10,0—35,6% арасында дәјишир. Сүхурларда карбонатлығын инкишәфынын кил фраксијасынын инкишәфы илә тәрс мүтәнасиб олдуғуну айдан көрмәк олур. Кил фраксијасы азалдығы заман карбонатлығын артмасы вэ чохалдығы заман исэ әксинә, карбонатлығын азалмасы айдан сурәтдә нәзәрә чарпыш (1-чи чәдвәл).

Ортагаш рајонунда йајылмыш Абшерон Яашлы кил сүхурларына хас олан бир чәһәт дә псаммолит структура малик олмаларыдыр. Бу сүхурлар әсас е'тибарила, әһәнкли килләрдән ибарәт олуб, тәркибләрнәки инкишәф етмиш кварс һиссәләри, чөл шпатлары вэ сүхур гырынтылары илә фәргләнир. Шлифләрдән башга, бу сүхурларын литоложи тәркиби дә иммерсија васитәсилә өјрәнилмишдир.

Optimalen Pausen zu einem Kettensägearbeiten kann man nur während einer Maximalpause tragen.

Номер выше- и низ- ней линий	Терпинг, %-ы						рН	Еh $mV$	$H_2$ $\mu$	Карбо- наты $\mu$	Сухогорийный азот
	0,5— 0,25— $H_2$ $\mu$	0,25— 0,10— $H_2$ $\mu$	0,10— 0,05— $H_2$ $\mu$	0,05— 0,01— $H_2$ $\mu$	0,01— 0,005— $H_2$ $\mu$	<0,001— $H_2$ $\mu$					
1	12,0	28,3	19,50	13,40	13,40	20,10	6,70	9,00	-19	18,6	12,0
4	14,5	38,51	4,45	34,04	0	0	8,5	7,78	+19	15,86	32,6
6	10,5	17,7	49,52	16,71	0	0	5,57	9,35	-42	21,10	35,6
8	2,0	14,5	54,76	9,60	0	14,37	4,77	8,40	0	-	22,0
9	2,0	18,0	25,0	0	30,0	20,0	5,0	7,95	+20	16,50	17,8
11	15,0	17,0	34,34	0	29,26	0	4,40	7,81	+5	15,72	10,0

Z-HILL

Оргагаш районундан көтүрүлмүш күн сүхүмдөрүнүн түшүнүүш

Сүхурларын литологи тәркиби әсас етібарилә ашағыдақы минераллардан: пироксен, амфибол, сиркон, гранат, турмалин, рутил, сфең, мусковит-хлорит, епидот-соизит, барит, глауконит, лимонит, илменит-магнетит, лејкоксен, биотит, һематит, кварс вә чөл шпатларындан ибараттыр.

Бу кәсилишдә пироксенләриң мигдары 5—18%, амфиболларының 3—10%, сиркон исә аз инкишаф етдииндән онун мигдары 1—3% арасында тәрәддүд едир.

Мусковит-хлоритин мигдары 6—12%, епидот-соизитинки исә 3—12% арасында дәжишир. Барит, глауконит, ставролит, турмалин, рутил, сфең, гранат, һематит, лејкоксен вә с. минераллар кәсилиш бою да азачыг вә жаҳуд тәкдана һалында раст кәлир.

Филиз минералларындан лимонитин мигдары 11—15% арасында дәжишир.

Жүнкүл фраксија минералларындан кварс тәктәк һалларда, чөл шпатлары исә 1—35% арасында дәжишир.

Литологи тәркибин өјрәнилмәсі нәтичесинде мәлүм олмуштур ки, Ортагаш рајонунда инкишаф етмиш Абшерон һөвзәсінин минераложи мәнбәји онун жаһынлығында олмуштур. Бу да онларын кобудлуғу, жашы һамарланмасы нәтичесинде дәгиг тә'жин олунур (2-чи әдебәл).

Термики әјриләрдән тә'жин олунур ки, кил сүхурлары мөнтморилләним үсулунын нәтичеләри дә ейни фикри тәсдиғ едир.

Тәдиг едилән сүхурларда суда һәлл олар дузлардан  $\text{Na}^+$ - $\text{K}^+$  үн мигдары 13,43—58,14 мг. екә, анионлардан исә  $\text{Cl}^-$  үн мигдары 1,10—61,0 мг. екә арасында дәжишир. Жалыз ики нүмнәдә  $\text{Cl}^-$  үн мигдары 0,50 мг. екә-дән артыг ола билмир. Катионлардан  $\text{Ca}$ ,  $\text{Mg}$ -үн вә анионлардан  $\text{SO}_4^{2-}$  вә  $\text{HCO}_3^-$  үн мигдары кичик һәдләр арасында дәжишир. Геид етмәк лазымдыр ки, сүхурларда хлорлу-натриумлу дузлар үстүнлүк тәшкил едир (2-чи шәкил). Бундан башга, сүхурларда тә'жин олунан ашағыдақы компонентләри көстәрмәк олар:  $\text{Fe}_2\text{O}_3$ ,  $\text{Al}_2\text{O}_3$ ,  $\text{CaO}$ ,  $\text{MgO}$ ,  $\text{SO}_4^{2-}$ .

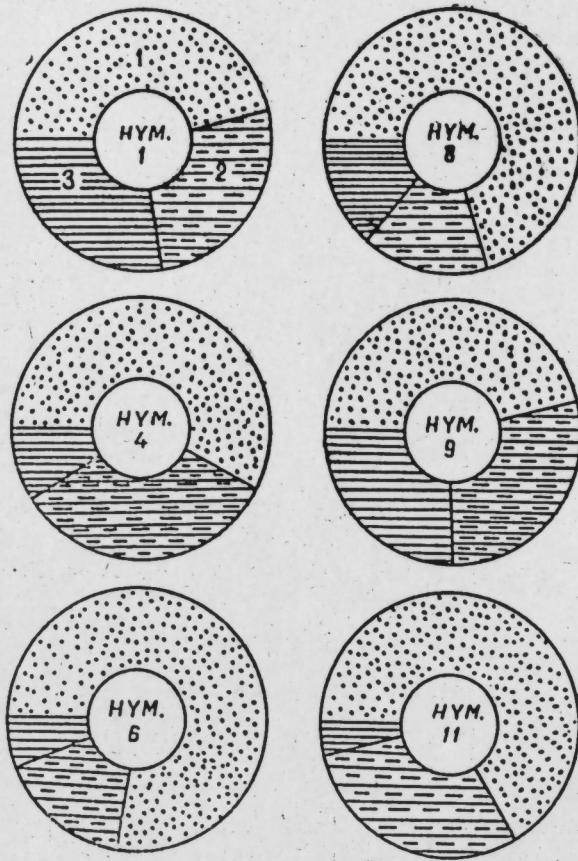
Тәдиг едилмиш саһәниң Абшерон յашлы кил сүхурларында  $\text{Al}_2\text{O}_3$  вә  $\text{Fe}_2\text{O}_3$  үстүнлүк тәшкил едир. Лакин,  $\text{Al}_2\text{O}_3$ -үн мигдары бүтүн

кәсилиш бою  $\text{Fe}_2\text{O}_3$ -күндән даға сохруд. Белә ки,  $\text{Al}_2\text{O}_3$  7,10—12,17%,  $\text{Fe}_2\text{O}_3$  3,20—5,56%,  $\text{CaO}$  исә 3,28—12,96% арасында дәжишир.  $\text{MgO}$ -ин мигдары  $\text{CaO}$ -дән иисбәтән аз олуб, 0,38—3,19% арасында дәжишир (3-чу шәкил).

Кил сүхурларының физики хассәләрини тә'жин етмәк үчүн тәдиг едилән рајонун мұхтәлиф мәнәтәгәләриндән көтүрүлмүш нүмнәләрini

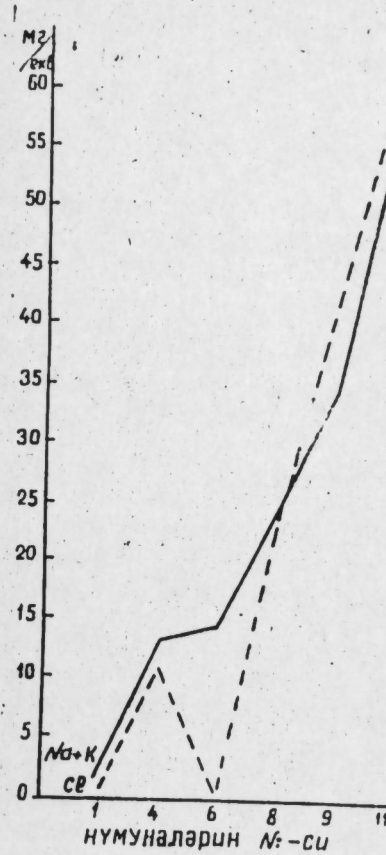
һәчм чәкиси, хүсуси чәкиси, тәбии нәмлиji, киплик вә кипләшмә дәрәчәләри, мәсамәлиji вә с. лабораторија шәрәнтиндә өјрәнилмишdir.

Сүхурларын хүсуси чәкиси 2,68—2,75 арасында дәжишир ки, бу да тәркибләриндәки филиз минералларының јүксәк дәрәчәдә олмасы илә әлагәдардыр. Тәбии нәмлиji 8,0—8,45%-дир; пластиклик 10,73—26,06% арасында дәжишир. Киплик вә кипләшмә дәрәчәләри 18,85—24,32% арасында олуб, жалыз 1 №-ли нүмнәдә 18%-ә, 9 №-ли нүмнәдә исә 39,34%-ә чатыр. Һәчм чәкиләринин мигдары 1,79—1,99  $\text{g}/\text{cm}^3$  арасында дәжишәрәк, бир-бiriндән демәк олар ки, аз фәргләнир.

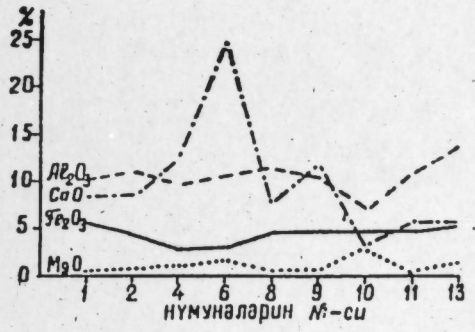


1-чи шәкил

Гранулометрик тәркибин тенклограммы.  
1—гумлу фраксија; 2—тозду фраксија; 3—килли фраксија.



2-чи шәкил  
Кил сүхурларының су чыхымы.



3-чу шәкил  
Кил сүхурларының HCl чыхымы.

Сүхурларда олан мәсамәлик орта һесабла 32,4%, сулуулуг әмсалы 0,48, там рүтубәт тутумы 17,38, сүхурларының сулыма әмсалы 1,39  $\text{g}/\text{cm}^3$ -ә бәрабәрдір. Шишимә хассәләринең көре, бу сүхурлар әсас етібарилә дистиллә олумыш суда вә чодлуғу 12—13°Н олан шоллар сујунда даға сүр'етли шишимә габиљїтәнә маликдір. Лакин 10%-ли  $\text{NaCl}$  мәйлүлүнде апарылан тәдигат заманы сүхурларының шишимәси зәиф вә аз мигдарда кетмишdir. Бу да сүхурларда олан  $\text{Na}^+$  үстүнлүк тәшкіл етмәсіндән ирәли кәлир.

Гәрби Азәрбајҹанда инкишаф етмиш Абшерон յашлы кил сүхурларының Ортагаш рајонундан чыхарылмыш кәсилишинин өјрәнилмәсі нәтичесинде аjdын олмуштур ки, һәмни кил сүхурлары тәбии յатым һалында аз нәмлиjә малик олдуғундан давамлы бир вәзиijәт алыр. Лакин онларын структурларының шишимә, ашына вә жаҳуд башга про-кессләр дағытығындан давамлылыг позулур вә физики хассәләринде кәсекин дәжишиклик баш верир.

## ЭДЭБИЙЛТ

1. Е. М. Сергеев. Общее грунтоведение. Изд-во МГУ, 1951. 2. Г. И. Тодорович. Учение об осадочных породах. Гостоптехиздат, 1958.

Кеодокија Институту

Алымышдыр 17. X 1963

Д. А. Султанов, С. А. Мустафаева

### К изучению вещественного состава и физических свойств глинистых пород ашеронского яруса Западного Азербайджана (Ортагашская складка)

#### РЕЗЮМЕ

Изученный разрез снят восточнее Ортагаш напротив складки Молладаг.

По данным гранулометрического состава пород можно прийти к выводу, что в районе Ортагаша среднее содержание глинистой фракции составляет 15%, пылеватых частиц — 24% и песчаного материала — 61%.

Изучение физико-химических параметров показало, что значение pH в породах Ортагашского района колеблется от 7,78 до 9,35, а Eh от 5 до +20 mV и в двух случаях от -19 до -42 mV. Эти данные показывают, что накопление шло в щелочной и восстановительной среде.

Содержание карбонатности изменяется в пределах от 10,0 до 35,6% (рис. 1, табл. 1).

В терригенном комплексе присутствуют следующие минералы: пироксены, амфиболы, циркон, гранат, турмалин, рутил, сфен, мусковит-хлорит, эпидот-диозит, барит, глауконит, ильменит-магнетит, лейкоксен, биотит, гематит, кварц, полевые шпаты и др.

Изучение минералогического состава показало, что источник минерального питания ашеронского бассейна Ортагашского района находился рядом. Эти данные подтверждают минералы, которые выделяются своей недостаточной окатанностью (табл. 2).

Термические анализы показали, что исследованные образцы глин имеют монтмориллонитовый характер с примесью кальциевого карбоната. Эти данные подтверждаются еще электрономикроскопическими анализами и методом окрашивания пород. В составе воднорастворимых солей глинистых пород преобладают Na+K+, содержание которых изменяется от 13,43 до 59,14 мг/экв. Содержание Cl- изменяется от 11,10 до 61,0 мг/экв. Наибольшее распространение получили окислы алюминия и железа. Содержание Al<sub>2</sub>O<sub>3</sub> по всему разрезу варьирует от 7,10 до 12,17%, Fe<sub>2</sub>O<sub>3</sub> от 3,20 до 5,56% (рис. 2, 3).

Изучались физические свойства глинистых пород. Значение удельного веса изменяется в интервалах от 2,68 до 2,75. Естественная влажность пород колеблется в небольших пределах — от 8,0 до 8,45%. Величина максимальной молекулярной влагоемкости варьирует от 18,85 до 24,32%. Значение объемного веса пород колеблется в интервале от 1,79 до 1,99 г/см<sup>3</sup>.

Глинистые породы интенсивно набухают главным образом в дистиллированной воде и в водопроводной (шолларской) воде, в 10%-ном растворе NaCl набухание происходит в меньшей степени. Это объясняется преобладанием натриума в изученных породах.

Полученные данные изученных глинистых пород ашеронского возраста Западного Азербайджана (складка Ортагаш) подтверждают, что эти породы в естественных условиях залегания, имея незначительную влажность, являются прочными, при нарушении же структуры их и увеличении влажности в этих породах резко ухудшаются их физические свойства.

## АЗЭРБАЙЧАН ССР ЕДМЛЭР АКАДЕМИЯСЫНЫН МЭРҮЗЭЛЭРИ ДОКЛАДЫ АКАДЕМИИ НАУК АЗЕРБАЙДЖАНСКОЙ ССР

ТОМ XX

№ 5

1964

#### ГЕОГРАФИЯ

И. А. ИСМАЙЛОВ

### ТИПИЗАЦИЯ СИНОПТИЧЕСКИХ ПРОЦЕССОВ, ОБУСЛОВЛИВАЮЩИХ ВТОРЖЕНИЕ ХОЛОДА В АЗЕРБАЙДЖАН

(Представлено академиком АН Азербайджанской ССР К. А. Ализаде)

Территория Азербайджанской ССР расположена в субтропической зоне и поэтому в генезисе погоды и формировании климата ее важную роль играют процессы холодных вторжений. Резкие и интенсивные похолодания, вызывающие на территории республики понижение приземных температур воздуха значительно ниже 0°, наносят народному хозяйству ущерб и убытки.

Последствия резких похолоданий наиболее губительны в равнинных районах республики, где размещены огромные массивы различных субтропических культур и расположены зимние пастища отгонного животноводства.

Исследования закономерностей развития атмосферных процессов, обусловливающих вторжение холода в Азербайджан, выявление региональных особенностей их улучшит качество прогнозов погоды и повысит эффективность обслуживания различных отраслей народного хозяйства.

Специальных исследований, посвященных процессам вторжения холода в Азербайджан, не имеется. В ряде работ по региональной синоптике Закавказья [1, 2, 3] они нашли неполное отражение.

За 10-летний период (1950—1959 гг.) нами выявлено и рассмотрено 59 случаев экстремально резких и интенсивных процессов вторжения холода, обусловивших понижение приземных температур воздуха ниже 0° на равнинных районах Азербайджана.

Ниже следуют данные и краткие выводы по ним, полученные из статистического анализа материалов о холодных вторжениях.

Рассмотрение повторяемости случаев холодных вторжений за 1950—1959 гг. по сезонам показывает, что максимальное их количество отмечено зимой — 47 (79,7%), затем идет осень — 8 (13,5%) и минимальное — весной — 4 (6,8%).

Из данных табл. 1 следует, что число случаев резких похолоданий по годам распределяется весьма неравномерно. В экстремально-холодный 1953 г. имеет место 11 случаев интенсивного вторжения холода, а в 1955 и 1957 гг. только по 2 случая.

Как видно из данных табл. 2, во-первых, количество холодных вторжений в Азербайджан, отвечающих вышеустановленным критериям, начиная с ноября месяца увеличивается и достигает максимума в феврале, во-вторых, они из весенних месяцев могут наблюдаться только в марте, а из осенних—в ноябре.

Таблица 1

Распределение числа случаев холодных вторжений

Год	1950	1951	1952	1953	1954	1955	1956	1957	1958	1959	Всего
Число случаев,	8	5	4	11	9	2	4	2	6	8	59
%	13,5	8,5	6,8	18,7	15,0	3,4	6,8	3,4	10,2	13,5	100

В основу типизации синоптических процессов, обусловливающих вторжение холода в Азербайджан, были положены генезис объектов вторжения, характер барической системы и направление их воздействия.

Таблица 2

Распределение числа случаев холодных вторжений

Месяц	Январь	Февраль	Март	Ноябрь	Декабрь
Число случаев,	17	19	4	8	11
%	29,1	32,0	6,8	13,5	18,6

В результате анализа аэросиноптического материала получено 5 типов атмосферных процессов, приводящих к резким похолоданиям в Азербайджане, с понижением приземных температур воздуха в равнинных его районах ниже 0°.

Таблица 3

Вероятность осуществления типов процессов за 10-летний период (1950—1959 гг.)

Тип процесса	I	II	III	IV	V	Всего
Число случаев,	13	7	19	14	6	59
%	22	11,7	32,3	23,5	10,3	100

I тип—вторжение холода в Азербайджан в системе антициклонов, смещающихся по полярной траектории.

II тип—вторжение холода в Азербайджан в системе антициклонов, смещающихся по ультраполярной траектории.

III тип—вторжение холода в Азербайджан в системе антициклонов умеренных широт.

IV тип—вторжение холода в Азербайджан, осуществляющееся при выходе южных циклонов;

V тип—вторжение холода в Азербайджан в системе центральных и малоподвижных циклонов.

I, II и V типы процессов связаны вхождением арктических масс воздуха, а III и IV—воздушных масс умеренных широт.

Таблица 4

Вероятность осуществления типов процессов

Тип процесса \ Месяц	Январь	Февраль	Март	Ноябрь	Декабрь	Всего
I. Число случаев, %	4 30,7	3 23,1	1 7,7	3 23,1	2 15,4	13 22,0
II. Число случаев, %	1 14,2	2 28,6	2 28,6	2 28,6	— —	7 11,8
III. Число случаев, %	3 15,7	5 25,0	1 5,0	3 15,0	7 35,0	19 32,0
IV. Число случаев, %	7 50,0	5 33,4	— —	— —	2 13,3	14 24,0
V. Число случаев, %	2 33,3	4 66,7	— —	— —	— —	6 10,2
Всего,	17 31,1	19 31,1	4 6,6	9 13,1	11 18,1	59 100

Рассматривая данные табл. 3, мы устанавливаем, что в процессах вторжения холода в Азербайджан превалирующую роль играют антициклонические образования (I, II, III типы) по сравнению с циклоническими образованиями (V тип).

Таблица 5

Продолжительность случаев похолоданий по типам процессов

Продолжительность, сутки \ Тип процесса	I	II	III	IV	V	Всего случаев	%
1	—	—	—	6	2	8	13,6
2	4	1	6	3	2	16	27,0
3	3	2	4	2	1	12	20,0
4	5	2	7	3	1	18	30,7
5 и более	1	2	2	—	—	5	8,7
						59	100,0

ческими, причем похолодания, связанные с деятельностью полярных антициклонов (I и II типы) и антициклонов умеренных широт почти равны. Как самостоятельный процесс максимальной частотой выделяется III тип процессов.

Анализ данных табл. 4 показывает, что осуществление вторжения холода в системе полярных антициклонов (I и II типы процессов) в течение всего холодного времени года равновероятно. По III типу процессов картина почти аналогична предыдущим, но с большой частотой вторжения холода в декабре месяце.

Весьма характерной особенностью вторжения холода в системе циклонических возмущений (IV и V типы процессов) является отсутствие их в весенне и осеннее время года, т. е. в марте и в ноябре месяцах.

В табл. 5 приведены данные, характеризующие длительность похолоданий, имеющих важное народнохозяйственное значение. Как видно, наиболее продолжительные из них 4—5 суток и более, характерны для I, II и III типов процессов. Наиболее часто встречающаяся продолжительность вторжения холода—4 суток, которая составляет 30,7%.

Длительные похолодания в 10—15 суток и более возникают вследствие осуществления ряда последовательных вторжений холода по типам процессов, указанных выше.

#### ЛИТЕРАТУРА

1. Мадатзаде А. А. Типы погоды и климат Апшерона. Изд-во Азерб. ССР. 1960.
2. Напетваридзе Е. А., Папинашвили К. И. Синоптико-аэрометеорологические условия особых явлений погоды в Закавказье и некоторые правила их прогнозирования на естественно-синоптический период. Труды Тbil. НИГМИ, вып. 2, Гидрометиздат, 1957.
3. Напетваридзе Е. А., Папинашвили К. И. Воздействия полярных антициклонов и атмосферные процессы в Закавказье. Труды Тbil. НИГМИ, вып. 3, М., 1955.

Институт географии

Поступило 3.VII 1963

И. Э. Исмаилов

**Азэрбајчана сојуг һаванын дахил олмасы илә әлагәдар олан; синоптик просессләри тәснифи**

#### ХҮЛÄСӘ

Азэрбајчан әразиси субтропик зонада јерләшдијинә кәрә, онуң иглиминин йаранмасында сојуг һаванын дахил олмасы илә әлагәдар олан просессләри бөјүк ролу вардыр.

Ониллик (1950—1959-чу илләр) аеросиноптик материалын тәдгигаты нәтичәсindә Азэрбајчаның дүзәнлик саңсindә һава температурунун 0°-дан ашағы дүшмәсindә сәбәб олан 5 иөв просес мүәjjән едилмишdir.

1. Сојуг һаванын Азэрбајчана фенно-Скандинав үзәриндә әмәлә кәлән полјар антисиклонлар системиндә дахил олмасы.

2. Сојуг һаванын Азэрбајчана ултратрополјар трајекторија илә һәрәкәт едән антисиклонлар системиндә дахил олмасы.

3. Сојуг һаванын Азэрбајчана мұлајим енликләrin антисиклонлары системиндә дахил олмасы.

4. Җәнуб сиклонларын кедишаты илә әлагәдар олан сојуг һаванын Азэрбајчана дахил олмасы.

5. Мәркәзи вә az һәрәкәтли сиклонларын системиндә сојуг һаванын Азэрбајчана дахил олмасы.

Л. И. НАСИБЗАДЕ

#### ПЕРСПЕКТИВЫ ТРАНСПОРТИРОВКИ НЕФТИ ПО КАСПИЙСКОМУ МОРЮ

(Представлено академиком АН Азербайджанской ССР Ш. Ф. Мехтиевым)

В настоящее время на Каспии нефть добывается на месторождениях: Нефтяные Камни, Жилой—море, банка Дарвина, о. Артема, Гюргяны—море, о. Песчаный, Бухта Ильича и Карадаг—море.

Добываемая нефть с Нефтяных Камней перевозится танкерами, а с других районов (о. Артема, Песчаный и др.) транспортируется трубопроводным способом.

Сейчас предполагается перейти к трубопроводному способу транспортировки в районе Нефтяных Камней. Но этот способ требует больших капиталовложений, ввиду сложных гидрометеорологических условий и глубины моря в районе трассы нефтепровода и поэтому проект еще не осуществлен. Кроме того, пока изучается опыт прокладки нефтепровода в глубоководных акваториях моря.

Настоящее развитие морской нефтяной промышленности приведет в будущем к большим изменениям в географии нефтедобывающей промышленности на море. Границы нефтедобывающей промышленности на море продвинутся на 200—300 и более километров от Баку. Некоторые площади Бакинского архипелага, являющиеся в настоящее время перспективными, станут наиболее дальними районами нефтедобычи. Отсюда следует, что транспортировка морской нефти в будущем приобретет еще большее значение.

Самые эффективные способы транспортировки нефти на Каспийском море—нефтепроводный и танкерный.

Некоторые авторы, в том числе Д. И. Шищенко, К. А. Апресов, С. С. Попов, Б. Н. Гладцинов [1, 2, 3] и др. утверждают, что транспортировка нефтепроводом на близкие расстояния (до 100 км) чрезвычайно выгодна. С увеличением расстояния эффективность ее снижается и отстает от танкерного способа. Необходимо отметить, что экономическая эффективность трубопроводного способа зависит также от вязкости нефти. При превышении вязкости больше чем 0,6—0,7 см<sup>2</sup>/сек, экономическая выгодность транспортировки уменьшается. Основным преимуществом этого способа является его полная герметичность и непрерывность.

Согласно утверждениям вышеуказанных авторов, для дальних перевозок нефти танкерный способ является более рентабельным, чем трубопроводный.

Недостатком танкерного способа является то обстоятельство, что танкеры в условиях открытого моря не всегда могут швартоваться для приема нефти, своевременная доставка нефти на материк зависит от погодных условий и состояния моря. Кроме того, строительство причала, для приема танкерами нефти требует дополнительных дорогостоящих специальных сооружений.

По данным В. Н. Гладцинова [1], при транспортировке нефти танкерами основные расходы идут на зарплату (43,3%), а нефтепроводом — на реновацию (33,9%) (см. таблицу).

Затраты	Транспортировка трубопроводом, %	Транспортировка танкерами, %
Зарплата	22,9	43,3
Материалы	14,2	12,3
Топливная и электрическая энергия	12,2	23,7
Реновация	33,9	3,3
Прочие затраты	16,8	17,4

Несмотря на все это, транспортировка нефти трубопроводом является наиболее выгодным способом транспортировки. Себестоимость 1 т нефти из Нефтяных Камней в Баку танкерами, по данным "Гипроморнефти", составляет 27 коп., а трубопроводом — 18 (по проекту). Таким образом, транспортировка трубопроводным способом дает возможность сэкономить 450 тыс. руб. в год. В будущем этот способ получит еще большее распространение.

Большой проблемой является транспортировка нефти из перспективных нефтепромысловых районов Бакинского и Апшеронского архипелагов и Апшеронского порога, расположенных вдали от Баку (200—300 км) в глубоководных частях моря, особенно при сложных гидрометеорологических условиях.

Анализ имеющихся литературных материалов и практика показывают, что на данном этапе наиболее вероятным следует считать танкерный способ транспортировки нефти из этих районов. В связи с этим, необходимо решить задачу снижения себестоимости транспортировки нефти путем увеличения грузоподъемности и скорости танкеров.

Что касается сбора и хранения нефти в районах этих месторождений, то необходимо сказать, что этот вопрос требует ведения специальных научно-исследовательских и конструкторских работ.

В районе Апшеронского порога, где нет ни одного острова, максимальная глубина моря — 198 м и степень волнения доходит до 7—8 баллов, сбор и хранение нефти, по предложению инженеров-конструкторов, можно осуществлять подводными плавучими резервуарами.

В районе Бакинского архипелага нефть можно собирать с места добычи трубами в резервуары, находящиеся на островах, после чего ее можно перекачать трубами на берег и оттуда транспортировать в Баку или непосредственно с этих месторождений трубопроводами в Баку.

Необходимо отметить, что из таких структур Бакинского архипелага, как Дуваний-море, Булла-море, о. Булла для транспортировки

нефти в Баку можно использовать магистральный трубопровод, потому что этот район расположен несколько ближе к Баку (50—60 км) и, кроме того, море здесь неглубокое — средняя глубина доходит до 15 м.

Доставка нефти, добытой в районе Бакинского архипелага, на существующие нефтеперерабатывающие заводы г. Баку, потребует значительных транспортных расходов и при этом возможны потери нефти. В связи с бурным ростом добычи нефти и газа в республике будет стоять вопрос строительства новых предприятий по переработке нефти. С целью обеспечения соседних республик Закавказья нефтепродуктами такие предприятия было бы целесообразно создать в районе новых мощных нефтяных месторождений, например, в районах Прикуринской низменности и Кобыстана, расположенных в узле подходящих путей сообщения, обильно снабженных электроэнергией и рабочей силой. Нефтеперерабатывающий завод в таком районе будет расположен недалеко от морских нефтяных месторождений Бакинского архипелага и в то же время от промышленных предприятий, имеющих квалифицированные кадры специалистов. Строительство такого крупного промышленного предприятия в г. Баку было бы нецелесообразно. Тем более в последних постановлениях партии и правительства подчеркивается именно нежелательность строительства крупных предприятий в больших городах. Как мы полагаем, экономически выгодно и во многих отношениях удобно большой нефтеперерабатывающий завод строить, например, в г. Али-Байрамлы. Этот завод будет перерабатывать нефть, добывуюю не только в районе Прикуринской низменности и Кобыстана, но также нефть Бакинского архипелага, которую в Али-Байрамлы доставить будет легче, чем в Баку. К сожалению, недостаточны данные, которыми мы располагаем для выяснения столь сложного вопроса. Во всяком случае, было бы целесообразно всесторонне изучить его.

## ЛИТЕРАТУРА

- Гладцинов Б. Н. Вопросы развития трубопроводного транспорта. Проблема развития единой транспортной сети СССР, вып. П, Изд. АН СССР, 1958.
- Попов С. С. Транспорт нефти, нефтепродуктов и газа. Госполитиздат, 1960.
- Шищенко Р. И., Апресов К. А. Транспорт и хранение нефти. Азнефтеиздат, 1950.

Институт географии

Поступило 22. XI 1963

Л. И. Насибзадэ

Хэээр дэнизиндэ нефтийн нэгл едилмэсийн перспективлэри

## ХУЛАСЭ

Мэгэлэдэ дэниз нефт ятаглалы рајонууда нефтийн нэгл едилмэсийн жолларындан, кэлэчэктэд истигарын едилмэсийн Бакы, Абшерон архипелаг-лары вэ Абшерон астанасы кими йени рајонларда нефтийн нэгл едилмэсийн проблемлэрийн дэнишишлээр. Элдэ едилмэсийн мэдлуматлар эсасында белэ иэтничээж, кэлмэк олар ки, кэлэчэктэд нефт вэ газын чошгун иникишафы илээ элагэдэр олараг, ону ёмал етмэк үчүн республикаада йени мүэссисэлэрийн тикилмэсий гарышда дуур. Гонишу Загафгизийн республикааларыны нефт мэдээллийн ятаглалындан олан Күржаны дүзэнлийн, Гобустан вэ с. рајонлар саиёсийнде йөрлэшдирүүлмэсий, шүбнэсиз

ки, даһа фајдалы ола биләр. Һәмни рајон күчлү электрик енержиси, чохлу ишчи гүввәси, нефтьхарма вә мұнасиб нәглијјат дүйүмүндә јерләшир. Белә бир јердә нефтајырма заводу тикиләрсә, о һәм дәнис нефт յатагларына (Бакы архипелагы) вә һәм дә ихтисаслы кадрлары олан мөвчуд мұвағиғ сәнаје мүәссисәләринә дә јахын олар. Бүтүн бунлары нәзәрә алараг, һәмин јердә (мәсәлән, Эли Бајрамлыда) белә завод тикилсә Бакы архипелагындан узаг мәсафәјә нефтин дашинымынын нәглијјат хәрчләри хејли өзәлдәлмыш олар.

Бу шәртләр әсасында һәмин мәсәләнин даһа дәриндән өјрәнилмәсик фикримизчә фајдалы олар.

Т. А. МАМЕДОВ

ПЕРВАЯ НАХОДКА РОДОВ *Asterocyclus Gütbel* И  
*Actinocyclus Gütbel* ИЗ ЭОЦЕНОВЫХ ОТЛОЖЕНИЙ  
ГОРНОГО ТАЛЫША (ЛЕРИКСКИЙ РАЙОН)

(Представлено академиком АН Азербайджанской ССР А. А. Ализаде)

В центральных частях Горного Талыша палеогеновые отложения пользуются огромным площадным распространением. Здесь развиты преимущественно туфогенно-вулканогенные породы.

Подобно другим районам Малого Кавказа эоценовые образования Горного Талыша характеризуются присутствием в них также моллюсковой и нуммулитовой фауны.

Известно, что геологическому строению этого района посвящен ряд монографических работ. Однако в них палеонтология крупных фораминифер осталась почти не затронутой.

Далее, в опубликованных работах из крупных фораминифер указываются названия только трех родов: нуммулитес, оперкулина и дискоциклина.

С целью изучения стратиграфии и, в частности, палеонтологии крупных фораминифер эоценовых отложений Горного Талыша, нами летом, в 1962 г. было проведено полевое геологическое исследование в Лерикском районе и собран богатый палеонтолого-стратиграфический материал.

В результате тщательной обработки полевых сборов впервые выявлены не только различные виды нуммулитов, но и главным образом два рода из палеогеновых орбитоидов: *Asterocyclus* и *Actinocyclus*.

Нуммулитам Горного Талыша будет посвящена специальная статья. Здесь мы ограничиваемся лишь описанием двух вышеуказанных родов.

В таблице мы поместили также и один вид из рода дискоциклин, который по филогении имеет непосредственно родственное отношение к ним.

Род *Asterocyclus* Gütbel, 1870.

Генотип? *Calcarina stellata* d'Archiac.

Раковины известковистые, оригинальной формы, обычно они в плане пятиугольно-звездчатые или многоугольные, радиально-лучистые.

В центральной части раковины наблюдается утолщение. У некоторых раковин выпуклость незначительная, у других же утолщение занимает довольно значительную площадь. От центральной выпуклости отходят радиальные ребра-лучи, которые у одних раковин от центрального вздутия отделены неглубоким желобком, а у других же не заметно выходят из него.

Количество лучей равно обычно пяти, но иногда может увеличиваться и до десяти.

Одни раковины несут прямые выпуклые радиальные ребра, четко отделяющиеся от межрадиальных частей. Другие же имеют широкие ребра, несколько расширяющиеся к наружной части или оканчивающиеся в виде шипов. Поверхность раковины покрыта многочисленными столбиками-гранулами диаметром от 0,07 до 0,2 мм.

Раковина астероциклии состоит из эмбрионального аппарата, слоя экваториальных камер, располагающихся звездообразно и боковых камер, которые многочисленными слоями с двух сторон прикрывают экваториальный слой.

По имеющимся материалам, нами пока определен один вид рода *Asterocyclina*. Ниже дается краткое описание этого вида.

#### *Asterocyclina taramellii* (Schlumberger).

таблица, рис. 1, 2

1911. *Orthophragmina taramellii* Рябинин. О некоторых орбитондах Кахетии. "Изв. геол. ком". т. XXX, № 196.

1931. *Asterodiscus taramellii* Ренгарден. Орбитонды и нуммулиты южного склона Б. Кавказа. Тр. ГГРУ, вып. 24, стр. 25—26, табл. III, рис. 9.

1931. *Asterodiscus cf. taramellii* Мефферт. Эоценовая фауна из Дарапаза в Армении. Тр. ГГРУ, Вып. 99, стр. 35.

1955. *Asterodiscus taramellii* Немков. Материалы по биостратиграфии западных областей Украинской ССР. Госгеолтехиздат, 1955, стр. 220—221, табл. 4, рис. 8, 9.

1959. *Asterocyclina taramellii* Белмустаков. Ископаемая фауна Болгарии, 6 том, палеоген. Крупные фораминиферы, стр. 56, табл. XX, рис. 17.

**Описание.** Раковина средних размеров. Диаметр доходит до 5—6 мм. Раковина имеет четко выраженную звездчато-пятиугольную форму. Концы лучей выходят за пределы раковины, отчего она преобретает звездчатую форму. В центральной части раковина довольно вздутая. Там развиты крупные бугорки-гранулы. Из выпуклой центральной части раковины к периферии отходят пять относительно острых широких ребер, соединяющих центр раковины с углами лучей. Наибольшее расстояние между двумя концами лучей составляет 2,3 мм.

На поверхности раковины, без особой закономерности, расположены многочисленные гранулы различной величины. Причем, они в основном развиты и более резко выражены на ребрах-лучах и в центре раковины. В межреберных пространствах гранулы почти не наблюдаются.

**Сходства и различия.** Этот вид впервые в 1904 г. определен и описан Шлюмберже из эоценовых отложений Биаррица. Однако из-за отсутствия работы Шлюмберже у нас мы не можем сравнить описываемую форму с его изображением.

Наши экземпляры имеют большое сходство с пятнугольно-звездчатыми формами *Asterocyclina taramellii*, описанными и изображенными из палеогена Советских Карпат и Болгарии Г. И. Немковым и

Э. Белмустаковым. Однако по размерам раковины наша форма значительно превосходит последних.

*Asterocyclina taramellii* отличается от *A. stella*, *A. stellaris* и *A. stellatus*, к которым он близок со своими радиально располагающимися ребрами, довольно отчетливым центральным бугорком, относительно менее выпуклой формой раковины.

**Распространение и геологический возраст.** Вид *A. taramellii* имеет широкое горизонтальное и вертикальное распространение. Он приводится из нижнего эоцена Франции, среднего эоцена Италии и верхнего эоцена Болгарии.

На территории СССР этот вид найден в нижне-среднеэоценовых отложениях Советских Карпат, в средне-верхнеэоценовых отложениях Армении, в среднеэоценовых отложениях Грузии.

**Место и время обитания.** Найдены единичные экземпляры в дискоцилинно-нуммулитовых слоях среднего эоцена окрестностей сел. Дивагач Лерикского района (центральный Талыш), совместно с *Actinocyclusina*, *Discocyclina*, *Nummulites brongniarti*, *N. globulus* и др.

#### Род *Actinocyclusina* Gümbel, 1870.

**Генотип** *Orbitolites radians* d'Archiac. Раковины известковистые, оригинальной формы, обычно многореберные. Контур сравнительно круглый. В центральной части имеется выпуклость, от которой расходятся радиальные толстые ребра. К краю ребра удваиваются.

На ребрах беспорядочно развиты гранулы, крупные расположены в центре раковины. Этот род отличается своими радиальными ребрами, образованными умножением латеральных камерок.

Этот род сходен с родом *Discocyclina*, рядом особенностей, отличающихся от последнего выпуклыми ребрами на поверхности раковины. Однако эти ребра не образуют выростов на периферии.

В нашей коллекции имеется один вид этого рода. Ниже дается его краткое описание.

#### *Actinocyclusina münnieri* (Schlumberger)

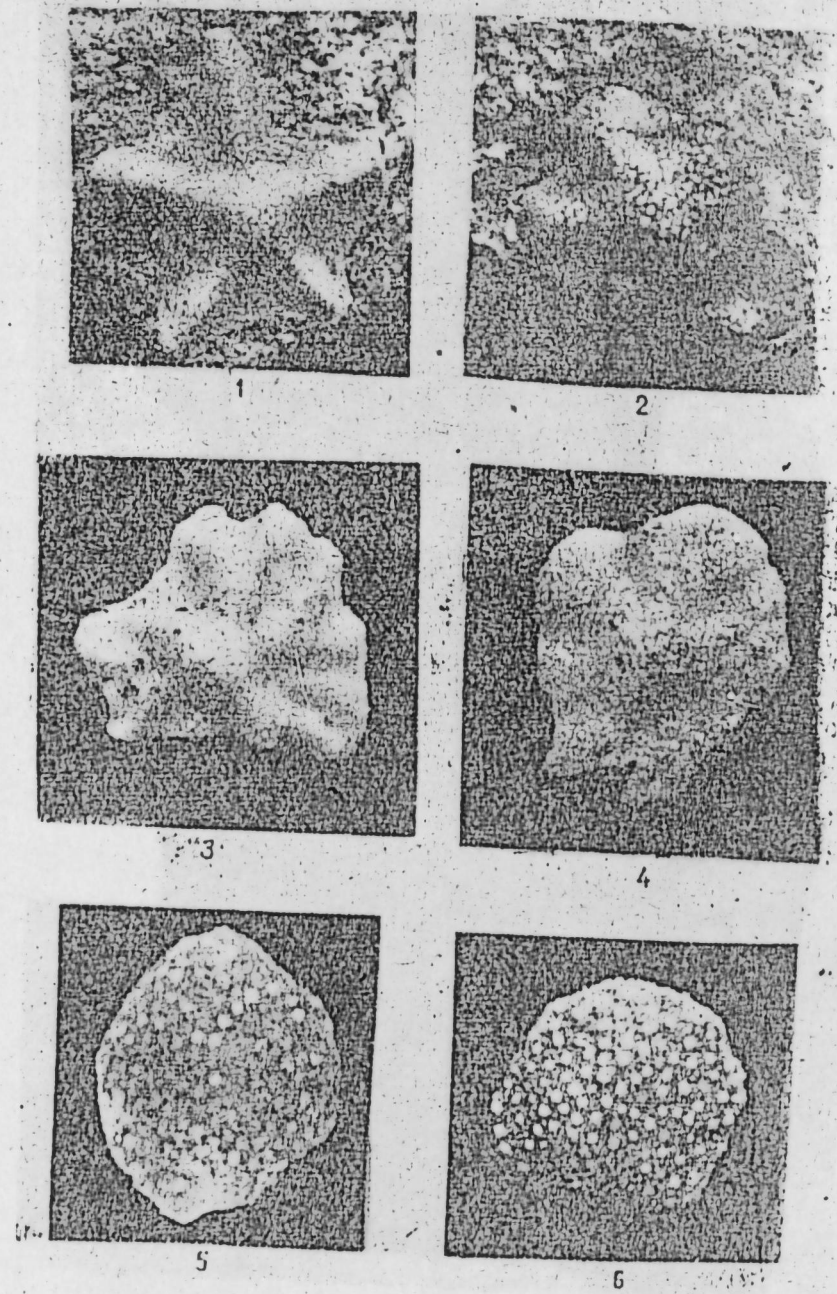
таблица, рис. 3, 4

1959. *Actinocyclusina münnieri* Белмустаков. Ископаемая фауна Болгарии, 6 том, палеоген. Крупные фораминиферы, стр. 57—58, табл. XX, рис. 21.

**Описание.** Раковина средних размеров. Диаметр достигает 7—8 мм. В центре раковины заметен относительно округлый выступ, от которого отходят к краям главные радиальные ребра. Они сравнительно толсты и выпуклы. Эти ребра раздваиваются у краев раковины, что хорошо заметно невооруженным глазом. Между двумя главными ребрами развиты промежуточные ребра, которые не достигают центра раковины. Межреберные пространства представляют овальную форму. На главных и промежуточных ребрах слабо развиты беспорядочно расположенные гранулы. Наиболее заметно выражены они в центре раковины.

**Сходства и различия.** Этот вид впервые в 1904 г. определен и описан Шлюмберже из эоценовых отложений Биаррица под названием *Orthophragmina münnieri*. Позже, в 1922 г. А. Дувийе, производя ревизию орбитондов, уточнил родовое название описываемого вида (*Actinocyclusina münnieri*).

Полное сходство нашей формы с рисунками и описанием Э. Белмустакова из эоценовых отложений Болгарии и не оставляет никакого сомнения о принадлежности ее к *Actinocyclusina münnieri* (Schlumberger). Однако болгарский экземпляр более крупного размера. Надо



1, 2 *Asterocydina taramellii* (Schlum b.) $\times 6,5$   
 3, 4 *Actinocydina münnieri* (Schlum b.) $\times 6,5$   
 5, 6 *Discocyclina scalaris* (Schlum b.) $\times 6,5$

заметить, что по более отчетливой грануляции наша форма в некоторой степени отличается от последнего. Хотя такое различие не является существенным для видовой диагностики.

Распространение и геологический возраст. Вид *Actinocydina münnieri* известен из ипрского и лютетского ярусов эоцена Южной Франции, из лютетского яруса Болгарии.

Местонахождение. *Actinocydina münnieri* найден в туфогенных песчаниках среднего эоцена Горного Талыша, в районе сел. Дивагач (Лерикский р-н) совместно с *Asterocydina taramellii*, *Discocyclina scalaris*, *Nummulites brongniarti*, *N. globulus* и др.

#### *Discocyclina scalaris* (Schlumberger)

Таблица, рис. 5—6

1959. *Discocyclina scalaris* Э. Белмустаков. Ископаемая фауна Болгарии, 6 том, палеоген. Крупные фораминиферы, стр. 49, табл. 17, рис. 5, 6, 7.

Описание. Раковина маленькая, сравнительно вздутая, имеет правильную линзовидную форму. Диаметр достигает 5—7 мм, при толщине 2,5—3 мм.

На поверхности раковины развиты многочисленные гранулы без определенного порядка. Более крупные гранулы сосредоточены в основном в центральной части раковины; по направлению к периферии их размер постепенно уменьшается. Расстояния между столбиками распределены неравномерно. Вокруг каждого столбика располагаются 10—11 боковых камер. Они образуют тонкую розетку многоугольной формы. Данная форма вполне тождественна с *Discocyclina scalaris*, изображенным и описанным Э. Белмустаковым из эоценовых отложений Болгарии.

Распространение и геологический возраст. Этот вид имеет широкое географическое распространение. Он происходит из эоценовых отложений Северной Италии, Южной Франции, Индии, Турции, Испании, Болгарии, из флишевых пород палеогена северного склона Восточных Карпат, из среднеэоценовых известняков Юго-Западной Армении и др.

В Горном Талыше он обнаружен в туфогенных песчаниках среднего эоцена.

Местонахождение. *Discocyclina scalaris* (Schlumberger) встречается в малом количестве в туфогенных песчаниках, в окрестностях сел. Дивагач Лерикского р-на, совместно с *Asterocydina*, *Actinocydina*, *Nummulites brongniarti*, *Nummulites globulus* и др.

#### ЛИТЕРАТУРА

- Белмустаков Ем. Ископаемая фауна Болгарии, т. 6 палеоген. Крупные фораминиферы. София, 1959.
- Вопросы геологии Талыша. Изд. АН СССР, 1958.
- Мефферт Б. Ф. Эоценовая фауна из Даралагеза в Армении. Труды ГГРУ, вып. 99, 1931.
- Немков Г. И. Материалы по биостратиграфии западных областей Украинской ССР. Госгеолтехиздат, 1955.
- Рейгарден В. П. Орбитоиды иnumмулиты южного склона Б. Кавказа. Труды ГГРУ, вып. 24, 1931.
- Рябинин А. Н. О некоторых орбитоидах Кахетии. Изв. геол. ком., т. XXX, СПб., 1911.
- Сигаль Ж. Фораминиферы. (Перевод с француз.). Гостонтехиздат, 1956.

## ХУЛАСӘ

Дағлыг Талышын қеоложи гурулушунда иштирак едән палеокен комплекси бөјүк галыныға малик вулканик-туфакен сұхурлардан ибарәтдир.

Туфакен гат ичәрисинде чөкмә сұхурлардан ибарәт ара лајлар иштирак едир ки, бүйларын да бә'зиләри палеонтологи галыглара малиkdir. Һәмин палеонтологи галыглар әсасән моллускадан вә ири фораминиферләрдән ибарәтдир. Талыша һәсер олунмуш қеоложи әдәбијатларда ири фораминиферләрдән ялныз үч чиңс: нуммулитес, оперкулина вә дискосиклина көстәрилмишидир. Бу чинсләр бизим тәрәфимиздән илк дәфә олараг тапылмышдыр.

МЕЛИОРАЦИЯ ПОЧВ

Е. И. ЗДОБКОВ

**О ВЕЛИЧИНЕ ПРОМЫВНОЙ НОРМЫ ПО ОПЫТУ РАБОТЫ  
МУГАНСКОГО (ДЖАФАРХАН) ЗАКРЫТОГО ДРЕНАЖА**

(Представлено академиком АН Азербайджанской ССР В. Р. Волобуевым)

Исследование солевого процесса по шести закрытым горизонтальным дренам Мугани (Джафархан) средней глубины 2,40—4,00 м за период 1930—1960 гг. позволило установить ряд закономерностей в нем [3, 4].

Известно, что для дрен с различной глубиной и при неодинаковых расстояниях между ними (350—761 м) формирование грунтовых потоков при подаче воды на междреновую территорию происходит различно, что сказывается как на уклонах кривой депрессии к дренам, так и на скорости движения воды к ним.

Почвогрунтовая толща рассматриваемого участка территории Северной Мугани по состоянию, наблюденному в допромывной период (1930—1931 гг.), была засолена (0,50—2,00 %) на разведенную глубину до 50,0 м, причем тип засоления хлоридный и сульфатно-хлоридный. Грунтовые воды сильно минерализованы 30—70 г/л. Почвогрунтовая толща представлена сложным чередованием глин, суглинков и песков аллювиального происхождения при повышенной фильтрационной способности их (10,0—30,0 м/сут).

Процесс выноса солей водами дренажного стока иллюстрируется рис. 1, характеризующим работу дрены XII за 30 лет при постоянном расходе дрены 1,0 л/сек. Этот процесс неравномерен и складывается из ряда периодов, каждый из которых имеет свои особенности. Первые два мелиоративных периода являются промывными, а все последующие характеризуют эксплуатационную работу дрени на опреснение почвогрунтовой толщи и грунтовых вод. Для всех шести опытных дрен эти периоды солевого процесса сохраняются, но переменным является длительность периодов. Последняя зависит от интенсивности дренажа. Дренаж различной интенсивности формирует грунтовые потоки с различным значением величины скоростного параметра грунтового потока вида ( $2Ki \times 100$ ). В этом параметре  $K$  есть коэффициент фильтрации водоносной толщи, а  $i$  является осредненным уклоном кривой депрессии за промывной период, полученный делением потеряного напора на длину действия дрены. Продолжительность промывного периода зависит не только от скоростного параметра, но также от начального засоления почвогрунтовой толщи ( $S_1$ ) и конечного, на момент перехода процесса на эксплуатационный режим ( $S_0$ ).

Все существующие работы о величине промывной нормы отнесены к первому верхнему метру почвогрунтовой толщи, а потому в дальнейшем анализе исходим из этого общепринятого критерия.

Известно, что поверхностная минерализация грунтовой воды для рассматриваемого участка отличается от минерализации таковой по глубине, а потому естественно предположить, что и этот факт должен быть принят во внимание при определении величины промывной нормы, рассчитываемой для опреснения почвогрунтовой толщи, включая и грунтовые воды.

В результате приходим к выводу, что при исследовании величины промывной нормы, определяемой по сумме дренажного стока ко времени достижения эксплуатационного периода, целесообразно рассмотреть зависимость, представленную неявной функцией вида:

$$Q = f \left[ \frac{S_1}{S_0} \cdot (2K_i \times 100) \cdot n \cdot t \right] \quad (1)$$

Необходимо раскрыть эту неявную функцию, используя опытные материалы о работе 6 закрытых дрен. Материалы эти позволили установить:

1. Величину  $Q \text{ м}^3/\text{га}$  для каждой из 6 дрен, отвечающей стоку дрен за промывной период, деленному на площадь дренирования в га;

2. Значение отношения  $\frac{S_1}{S_0}$ , взятых в %.

3. Параметр  $(2K_i \times 100)$ , принятый в виде отношения  $\frac{(2K_i \times 100)_1}{(2K_i \times 100)_0}$ , где  $(2K_i \times 100)_1$  принять равным 7,00 м/сут из анализа данных о длительности промывного периода в функции от скоростного параметра и отношения начального засоления к конечному. Средний скоростной параметр для каждой из 6 дрен обозначен величиной  $(2K_i \times 100)_0$ .

4. Величина  $n$  характеризует отношение средней минерализации грунтовой воды к поверхности по плотному остатку.

5. Величина  $t$  характеризует то же отношение по хлору.

В итоге получен ряд относительных величин, характеризующих работу 6 дрен по отводу воды и по выносу солей из первого метра почвогрунтовой толщи в данных физических и химических условиях.

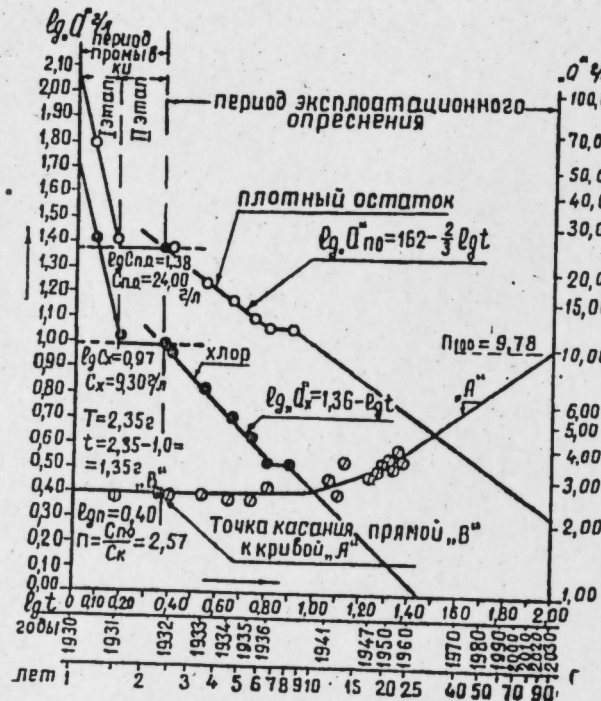


Рис. 1

График с показанием кривых изменения минерализации вод дренажного стока дрены XII во времени при  $Q_g = \text{const} = 1 \text{ л/сек}$

Эти величины приведены в табл. 1 (%), 2(г/4) и 3, а итоговый результат показан на рис. 2.

Рис. 2 раскрывает приведенную ранее неявную функцию и позволяет оформить ее в виде формулы 2.

$$Q = K \cdot \lg \left[ \frac{S_1}{S_0} \cdot \frac{(2K_i \times 100)_1}{(2K_i \times 100)_0} \cdot n \cdot t \right]^{1,20} \quad (2)$$

В этой формуле все величины опытные, а параметр  $K = 10000$ , при показателе степени  $\alpha = 1,20$ , определен из рисунка.

Следовательно, величина промывной нормы  $Q \text{ м}^3/\text{га}$  зависит как от засоления первого метра, так и от скорости движения грунтового потока, характера изменения минерализации в нем по вертикали и солевого состава. Важно отметить, что для величины промывной нормы ( $\text{м}^3/\text{га}$ ) В. Р. Волобуев дает [2] формулу вида:

$$Q = k \cdot \lg \left( \frac{S_1}{S_0} \right)^{\alpha} \quad (3)$$

В этой формуле величина  $k = 10000 = \text{const}$ , а параметр  $\alpha$  изменяется в пределах 0,62—1,32. Формула (3) при принятых периметрах дает величину промывной нормы для определения верхнего метрового слоя почвы до солесодержания, допустимого для сельскохозяйственных растений.

Таким образом, формула (2) является развитием формулы (3) с учетом процесса опреснения грунтовых вод.

На рис. 2 четко выделяются три области, каждая из которых обладает своими особенностями. Все точки области А вполне отвечают зависимости вида:

$$Q = k \lg \left( \frac{S_1}{S_0} \right)^{1,20}$$

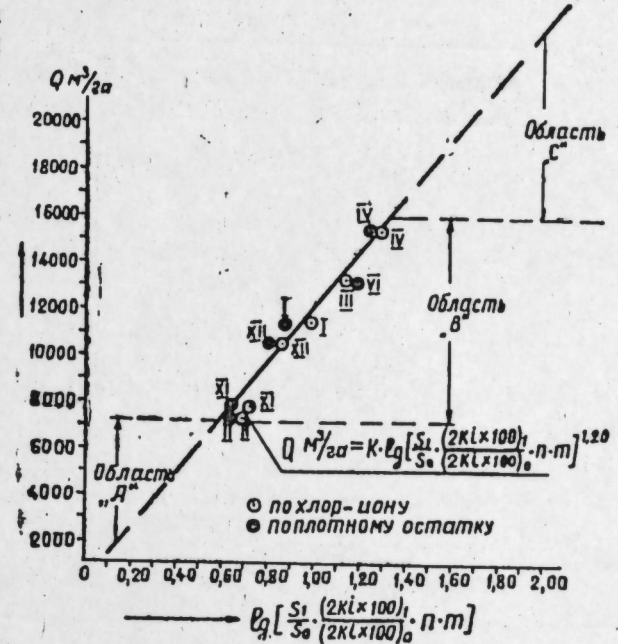


Рис. 2

График связи между величиной промывной нормы ( $Q \text{ м}^3/\text{га}$ ) и величинами отношения начального и конечного засоления верхней метровой толщи почвогрунтов по плотному остатку и хлору, отношением скоростных параметров грунтового потока и отношением средней по вертикали минерализации грунтового потока к поверхности его минерализации по плотному остатку и хлору.

#### Причесание:

1. Параметр  $K$  является постоянным и равен 10 000.

2. Величины  $S_1$  и  $S_0$  являются начальным и конечным засолением метровой толщи по плотному остатку или по хлору, %.

3. Заданная величина скоростного параметра, грунтового потока, создаваемого дреной  $(2K_i \times 100)$ , принимаемая равной 7,0 м/сут, а  $(2K_i \times 100)$  фактическая величина скоростного параметра грунтового потока.

4. Параметр  $n$  является отношением плотного остатка в грунтовом потоке, по средней вертикали на глубину воздействия дрены на поток к величине поверхности минерализации его также по плотному остатку.

5. Параметр  $t$  характеризует те же величины, что и по примечанию 4, но только по такому компоненту раствора, как хлор-иону.

6. Все цифры по проценту засоления первого метра, по минерализации грунтового потока и по скоростному параметру  $(2K_i \times 100)$  являются осредненными для зоны действия соответствующих дрен.

[2]. Точки области *B* характеризуют результаты работы опытных дрен Мугани (Джафархан) в период промывок и хозяйственного использования земель. Наконец, точки области *C* относятся к условиям работы дрен на повышенных величинах промывных норм.

Таблица 1

№ дрен	Засоление первого метра почвогрунта перед промывкой		Засоление первого метра почвогрунта в конце промывного периода	
	Плотный остаток	Хлор	Плотный остаток	Хлор
XI	1,13	0,36	0,62	0,16
XII	0,88	0,23	0,67	0,15
I	0,53	0,13	0,36	0,06
II	0,76	0,19	0,52	0,11
III	1,19	0,59	0,37	0,19
VI	1,09	0,31	0,28	0,08

Полученная зависимость рекомендуется для природных условий Мугано-Сальянской зоны Кура-Араксинской инзиминности при проектировании мелиорации засоленных земель на фоне дренажных сооружений.

Таблица 2

№ дрен	Минерализация грунтовых вод с поверхности перед промывкой		Минерализация грунтовых вод средняя по вертикали перед промывкой	
	Плотный остаток	Хлор	Плотный остаток	Хлор
XI	29,60	14,30	35,80	16,30
XII	12,93	4,96	24,00	9,30
I	11,00	3,67	20,00	8,00
II	18,62	7,28	25,40	10,90
III	31,17	13,42	46,40	21,10
IV	38,89	17,11	52,90	24,80

Таблица 3

№ дрен	$\frac{(2ki \times 100)_1}{(2ki \times 100)_0}$	$S_1^*$	$S_1x^{**}$	$n$	$m$	$Q_{\text{факт.}}$	Примечание
		$S_0$	$S_0x$			$\text{м}^3/\text{га}$	
XI	1,75	1,82	2,20	1,21	1,14	7704	Фактические промывные нормы отличаются от подсчитанных
XII	1,37	1,30	1,46	1,90	1,88	10549	по формуле в пределах 9,4—14,0%
I	1,25	1,47	2,00	1,82	2,18	11389	
II	1,40	1,45	1,70	1,37	1,50	7224	
III	1,94	3,27	3,07	1,49	1,57	13098	
IV	2,34	3,90	3,86	1,36	1,45	15448	

#### ЛИТЕРАТУРА

1. Волобуев В. Р. Промывка засоленных почв. Баку, 1948. 2. Волобуев В. Р. О промывных нормах при мелиорации засоленных земель. „Гидротехника и мелиорация“, № 2. 1959. 3. Здобнов Е. И. Минерализация вод дренажного стока как показатель мелиоративного эффекта дrenы. „Соц. с/х Азербайджана“, 1954. 4. Здоб-

\* По плотному остатку.

\*\* По хлору.

нов Е. И. Работа дренажа по опытам АзНИИГиМа на Мугани. Сб. трудов ЮжНИИМа, вып. VII, Новочеркасск, 1960. 5. Шоши А. А. Дифференцированные нормы промывных поливов на засоленных землях инзиминности Азербайджана. Бюлл. научно-технич. информации, № 1 АзНИИГиМ, 1956.

АзНИИЭСХ

Поступило 12. VI 1963

Ж. И. Здобнов

Муган (Чәфәрхан) бағлы дренажының иш тәчрүбесинә әсасән јујулма нормасының кәмијјәти һаггында

#### ХУЛАСӘ

Муганын (Чәфәрхан) 6 тәчрүби дренажы үзәре дузлууг просесләрини 1930—1960-чы илләр әрзинде өјрәнилмәси онлары бир нечә дөврәдә бөлмәје имкан верди. (2 мәрхәлә илә јујулма дөврү вә өз хүсусијјәтләринә малик истифада дөврү).

Һәр бир дөвр бир-бириндән дренаж ахымының кәмијјәти ( $\text{м}^3/\text{ha}$ ), торпағын биринчи метрнин шорандлашма рәгәмийн мүхтәлифлиji (%) , сүр'әт параметринин гијмети ( $\text{м}/\text{сум}$ ), грунт суларының минераллашма ( $\text{г}/\text{л}$ ) вә дренаж ахымы сујууның кәмијјәти ( $\text{г}/\text{л}$ ) илә фәргләнир.

Јујулма дөврү үзәре бу мә'лumatлары истифадә судан истифадә олунмасыны тә'жин етмәк үчүн ашағыдақы дүстүру чыхармaga имкан верди.

$$Q \text{ } \text{м}^3/\text{ha} = K \cdot \lg \left[ \frac{S_1}{S_0} \cdot \frac{(2ki \times 100)_1}{(2ki \times 100)_0} \cdot n \cdot m \right]^{1,20}$$

Бурада  $k=10000$ -дир.

СЕЛЕКЦИЯ

И. К. АБДУЛЛАЕВ, А. И. МУСАЕВ

**НОВЫЙ СОРТ КРУПНОПЛОДНОЙ ЗЕМЛЯНИКИ  
АПШЕРОН**

Почвенно-климатические условия Апшерона резко отличаются от условий других зон Азербайджана. Климат Апшерона характеризуется жарким летом и малым количеством атмосферных осадков. Почва — серозем с примесью глины с песком. На Апшероне наряду с виноградом и такими плодовыми культурами, как инжир, гранат, маслины, плодовая тута в очень незначительном количестве встречаются смородина и земляника. Имеющиеся на Апшероне сорта земляники (основные: Иосиф Магомет, Муто, Комсомолка) завезены с Северного Кавказа, Украины и других районов с более умеренным климатом и плохо переносят жаркое и сухое лето Апшерона. Поэтому для успешного развития ягодоводства на Апшероне необходимо создавать новые экологические приспособленные к местным условиям сорта земляники. Как указывает Ю. К. Катлинская [3], единственno правильным методом улучшения сортимента земляники является выведение своих местных сортов, вполне приспособленных к конкретным условиям. Предварительной подготовкой к началу селекционной работы в условиях Апшерона было изучение биологических особенностей 25 интродуцированных сортов земляники [4]. Основная цель заключалась в выявлении наиболее перспективных сортов, способных выдержать сухой и жаркий климат Апшерона, обладающий устойчивыми высокими урожаями и хорошим качеством ягод. В результате многолетних исследований нами были выделены 10 высокоурожайных интродуцированных сортов, которые в сравнении с другими сортами имели лучшие показатели по урожаю и качеству ягод и поэтому сорта Поздняя из Загорья, Комсомолка, Иосиф Магомет, Муто, Ада, Весенняя и Кульвер рекомендованы для внедрения в производство в условиях Апшерона. [1].

Однако эти сорта не полностью удовлетворяли наше требование, а поэтому встал вопрос о создании новых крупноплодных сортов земляники, приспособленных к условиям Апшерона.

Селекционная работа по выведению новых сортов земляники в условиях Апшерона начата в 1959 г. на экспериментальной базе Института генетики и селекции [2].

Для выведения нового сорта крупноплодной земляники Апшерон в качестве родительских форм были взяты следующие сорта интровертированные

отцовской земляники: материнская форма — сорт Мысовка, отцовские формы: Павловская красавица и Десертная. Скрещивания проводились весной 1959 г. Кастраторы были самые крупные и неповрежденные бутоны. На 2–3 день кастраторные цветки опылялись смесью пыльцы 2-х сортов (Павловская красавица + Десертная).

На соцветия оставались самые крупные цветки в количестве от 4 до 6 штук на каждом. Изоляция соцветий проводилась за 1–2 дня до кастрации. Пыльца с отцовских растений была собрана с самых крупных цветков в специальные бюксы сразу с 2-х сортов. Пыльца обоих сортов после сбора тщательно перемешивалась и лишь после этого наносилась на кастраторные цветки материнского растения. Опыления проводились дважды, утром до восхода солнца.

Почему мы в данном случае при гибридизации взяли вышеуказанные сорта. Во-первых, нам необходимо было получить гибридное потомство, которое наряду с хорошими вкусовыми качествами ягод было бы засухоустойчиво, хорошо переносило бы специфические почвенно-климатические условия Апшерона и самое главное — было бы высокоурожайно. В комбинации Мысовка × Павловская красавица + Десертная обоеполый сорт Мысовка, по нашим многолетним наблюдениям, имеющий ранний срок созревания с высоким качеством ягод, послужил материнской формой. Этот сорт также является урожайным и засухоустойчивым. В качестве отцовских форм брали сорта: Павловская красавица, являющаяся высокоурожайным, засухоустойчивым с удовлетворительным качеством ягод, и Десертная, являющаяся одним из лучших десертных и среднеурожайных сортов. Оба сорта — обоеполые, среднего срока созревания. Опыление соцветий материнского сорта Мысовка смесью пыльцы отцовских сортов Павловская красавица и Десертная было произведено в апреле. Созревание ягод началось в третьей декаде мая.

Сбор гибридных семян был произведен в конце мая. Посев гибридных семян земляники был произведен в ноябре 1959 г. в посевных ящиках, находящихся в теплице. В открытый грунт сеянцы были высажены в апреле 1960 г. Все полученные нами гибридные сеянцы воспитывались на высоком агротехническом фоне. В агротехническом комплексе применяли органические (навоз) и минеральные удобрения. При посадке под гибридные сеянцы (в лунки) вносили навоз в смеси с суперфосфатом.

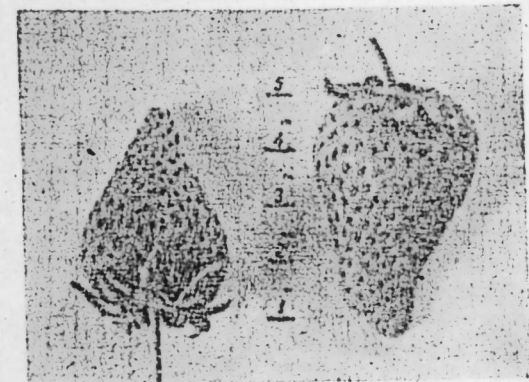
Оценка силы роста гибридных сеянцев показывает, что новая форма 15–75 при сравнении с распространенными на Апшероне сортами Иосиф Магомет, Муто, Комсомолка намного превосходили по силе роста, облиственности и многим другим показателям эти сорта, исходя из этого мы обратили внимание на эту гибридную форму.

Почему мы полученную нами новую форму 15–75 сравниваем с сортами Иосиф Магомет, Муто, Комсомолка? Во-первых, необходимо отметить, что не только на Апшероне, но и в Азербайджане нет местных районированных сортов. Как показало изучение распространенных в республике интродуцированных сортов земляники больше всего встречаются сорта Муто, Иосиф Магомет и Комсомолка (редко). Эти же сорта встречаются и на Апшероне. Поэтому из-за неимения местных районированных сортов, для сравнения, в качестве контроля, мы берем из вышеуказанных сортов Иосиф Магомет.

Как показали наши наблюдения, гибрид 15–75, названный нами сортом Апшерон, имеет сильнорослые растения высотой 25–30 см, хорошо облиственные. Листья крупные темно-зеленые с нижней стороны слабоопущенные. Средняя доля листа овально-яйцевидной формы. Края долек глубоко-пильчатые. Черешок листа светло-зеленый со слабым

опушением. Количество рожков на 3-летнем растении 6–9. Корневая система мочковатая и залегает на глубине 25–30 см. Основная масса корней расположена на глубине 0–20 см. Горизонтальное распространение незначительное.

Сорт Апшерон считается раннего срока созревания, обоеполый с крупными цветками. Цветоносы компактные, расположены на уровне листвьев редко выше уровня листвьев. Ягоды крупные удлиненно-конической формы красного цвета. Внешний вид ягод привлекательный. Семянка светло-коричневого цвета, слабо вдавлена в мякоть. Мякоть розового цвета с белой сердцевиной, плотная. Вкус сладко-кислый с хорошо выраженным ароматом. Средний урожай с одного квадратного метра составил 680 г, что в пересчете на один га составляет 68,0 ц.



Ягоды сорта Апшерон.

Транспортабельность хорошая, ягоды удовлетворительно переносят 5–7-дневное хранение в холодильнике при температуре +2, +4. Сорт хорошо переносит сухое и засушливое лето Апшерона. Требовательность к поливам средняя. Исходя из вышеуказанных биологических и хозяйствственно-ценных свойств сорта Апшерон мы обратили серьезное внимание на его испытание в 1961–1963 гг. в условиях Апшерона.

Как показали наши наблюдения, сорт Апшерон характеризуется ранним началом вегетации, цветения и созревания ягод. Результаты фенологических наблюдений за 1961–1963 гг. приведены в табл. 1.

Таблица 1

Сорт	Год	Начало вегетации	Бутонизация	Начало цветения	Массовое цветение	Начало созревания	Массовое созревание	Продолжительность периода плодоношения, в днях
Иосиф Магомет (контроль)	1961	15. III	10. IV	18. IV	22. IV	18. V	21. V	27
	1962	15. III	30. III	16. IV	23. IV	17. V	21. V	22
	1963	25. III	13. IV	24. IV	28. IV	18. V	24. V	23
Апшерон	1961	13. III	26. III	14. IV	19. IV	12. V	16. V	30
	1962	10. III	23. III	10. IV	16. IV	14. V	17. V	25
	1963	18. III	2. IV	18. IV	22. IV	16. V	21. V	31

Новый сорт Апшерон по срокам начала вегетации, бутонизации, цветению и созреванию ягод превосходит контрольный сорт Иосиф Магомет на 3–7 дней.

Особенно ценно то, что продолжительность плодоношения нового сорта составляет по годам от 25 до 31 дня, а сорт Иосиф Магомет от 23 до 27 дней.

Сравнительная оценка ягод нового сорта Апшерон по размеру, среднему весу, урожаю ягод и содержанию в ягодах сахара и кислоты приведена в табл. 2.

Как видно из данных, приведенных в табл. 2, новый сорт Ашерон имеет более крупные и тяжелые ягоды, урожай ягод с 1 м<sup>2</sup> площади на 176 г больше, чем у сорта Иосиф Магомет. Особенно ценно то, что у сорта Ашерон процент сахара составляет в среднем 7,0 и

Таблица 2

Сорт	Биохимическая оценка		Окраска		Размер ягод, см		Средний вес ягод, г	Урожай с 1 м <sup>2</sup> , г
	сахара	кислоты	ягод	сока	длина	ширина		
Иосиф Магомет (контроль)	5,8	1,26	красн.	светло-розовая	4,6	1,7	6,0	504
Ашерон	7,0	1,02	.	темно-розовая	5,0	2,1	8,0	680

кислотность 1,02, в то время как у контрольного сорта Иосиф Магомет содержание сахара в ягодах составляет 5,8% и кислотность 1,26%.

Сорт Ашерон сравнительно засухоустойчив, удовлетворительно переносит летнюю жару Ашерона, дает хороший урожай с высоким качеством ягод.

#### ЛИТЕРАТУРА

1. Абдуллаев И.К., Мусаев А.И. Лучшие интродуцированные сорта крупноплодной садовой земляники в условиях Ашерона. [2. Абдуллаев И.К., Мусаев А.И. К вопросу селекции земляники в Азербайджане, 1964. 3. Катинская Ю.К. Земляника 1961 г., М. 4 Мусаев А.И. Изучение биологических особенностей сортов земляники на Ашероне. 1961.]

Институт генетики и селекции

Поступило 1. XI 1963

И. К. Абдуллаев, А. И. Мусаев

Жени ириклиләли чијәләк сорту Ашерон

#### ХУЛАСӘ

Ашеронун исти вә гурү иглим шәрәнтиң ујгуни, јүкәк мәһсүл верәи чијәләк сорту йаратмаг мәгәсәди 1959-чу илдән башламыш селексија иши сајәснидә бир чох Жени һибрид форма алынышыдыр.

Буйлардан бири Мысовка сорту илә Павловскаја Красависа вә Десертнаја сортлары арасында апарылмыш һибридләшмәдән алынан 15—75 нөмрәли формалыр ки, буна да биз Ашерон сорту адыны вермишик.

Жени чијәләк сорту өз инициафына, яхши бој атмасына, тез мәһсүл вермәсниә, гураглыга, гурү вә исти иглимә иисбәтән давамлылығына көрә интрадуксија олан сортлардан фәргләнир. Ашерон сортунун мејвәләринин чәкиси вә боју контрол сорт Иосиф Магометдән чохдур. Бу сортун мејвәләриндә 7,0% шәкәр вә 1,02% туршулуг вардыр.

Жени Ашерон чијәләк сортуни иисбәтән гураглыга давамлы вә истиләрә дозумлу олмасыны, чох вә јүкәк кејфијәтли мәһсүл вермәсниң иәзәрә алараг, ону Ашерон шәрәнтиңде кениш яјмаг мәсләһәт корүлүр.

Г. Ф. АСАДОВ

#### ДЫННАЯ МУХА

(Представлено академиком АН Азербайджанской ССР И. Д. Мустафаевым)

В пределах СССР вредитель бахчеводства—дынная муха *Myio. Pardalis Pardalina Big.* имеет довольно широкое распространение. Помимо Азербайджанской ССР этот вредитель отмечен в некоторых районах Армении, Восточной Грузии, Дагестанской, Северо-Осетинской АССР, Краснодарском и Ставропольском краях.

Распространен за рубежом в районах Северной Индии, Белужистане, Северном Иране, Ираке, Афганистане, Израиле и других странах М. Азии.

По данным профессора Ф. А. Заичева (1919), общий цвет тела палево-желтый, с более или менее грязноватым оттенком. Голова заметно шире груди, а профиль широкоovalной формы, передняя и верхняя стороны этого овала слaboокруглены и приближаются к прямой линии, на задней стороне имеется явственная выемка, глаза черные со слабым металлическим отливом, у живых слизионумрудно-зеленые. Ноги, как и весь низ тела, более бледной окраски, передние бедра сильнее вздуты, чем средняя и задняя пары. Крылья стекловидно-прозрачные с явственными тремя желтоватыми поперечными полосами, оба внутренние—прямые, наружные края их с беловатым оттенком. Длина тела 1 см.

В Азербайджанской ССР дынная муха широко распространена в Нахичеванской АССР, в районах Мугани и на западе республики. Много встречается в зонах Самур-Дивичинского канала.

#### Вредная деятельность

Дынная муха повреждает большей частью местные скороспелые дыни, особенно шамами, шалах, шакарпалах и другие сорта. Признаками повреждения дынь являются следы наколов, капельки выступающего сока и бугорки, появляющиеся на поверхности плода.

У некоторых сортов дынь бугорки бывают крупными, явственными, а у других почти не заметны. Высота их 1—2 мм, диаметром 2—3 мм. Бугорок по внешнему виду имеет большое сходство с бородавкой, вершина бугорка большую частью имеет вид темно-желтой точки—струпика засохшего сока. Иногда бугорки более или менее заострены, в таком случае они светлее, чем основной фон; засохшая капелька

также светлее и меньших размеров. Есть сорта с более резко выступающими кратерообразными бугорками до 2,5–3 мм.

При вскрытии зараженных плодов наблюдается следующая картина: от отложенных под кожицеей яичек, через всю мякоть плода идут узкие радиальные ходы. Последние проделаны отродившимися личинками, быстро пробирающимися к плацентам.

Сезонное развитие дынной мухи и распространение в пределах Азербайджана ежегодно приносит значительный вред. За последние 5 лет в результате расследовательских разъездов установлена следующая вредная деятельность мухи.

В Дивичинском районе в 1958 г. загнивание плодов дыни наблюдалось до 71% из общего количества образовавшихся плодов.

Жизненный цикл мухи: массовый вылет мух из коконов наблюдается во второй половине июня, когда стоит более умеренная температура. В этот период мухи активно ползают по растениям, делают порывистые перелеты, в пределах одного—двух смежных кустов.

При наличии объекта, самки откладывают яички в завязи самых молодых плодов. Известны случаи, когда яички откладывались не только во время цветения, но и до раскрытия женских цветков. В результате повреждений, зараженные цветы и завязи в ряде случаев останавливаются в своем развитии и отмирают. Из развивающихся же плодов личинки успевают выйти до их созревания. Вскоре после выхода личинок, плоды обычно превращаются в сплошную гниль, иногда в этих плодах остаются личинки.

В опытной обстановке подтвердилось, что от одной самки в каждой шестидневке месяца получается не менее 55 личинок, не считая погибших яиц. В это время они откладывают яички на всю поверхность плода, не менее 10 штук за день.

Созревание яиц идет постепенно. В среднем число зрелых яиц в яичниках колеблется между 20 и 30, при таком же числе недоразвитых. В отдельных случаях число сформировавшихся яиц доходило до 55 при 70 недоразвитых. Число 125 яичек явилось предельным, из всех произведенных вскрытий.

Продолжительность жизни мухи в районах Нахичеванской АССР очень значительна. В условиях полевого опыта жизнь самок длилась в сезоне до 96 суток, самцов—75. В ходе опытов выявлены следующие данные:

Число генераций	Цикл жизни мухи	Дата начала	В среднем при температуре по С
I-Я	Вскрытие перезимовавших pupареев, срок спаривания 8—10 ч	24. VI	23,5
	Массовый вылет	25. VI	25,0
	Кладка яичек	5. VII	25,5
	Выход личинок	15. VII	26,0
	Развитие личинок до коконов	20. VII	26,5
	Вылет мух	25. VII	27,5
	Срок спаривания	5—7 ч	
	Массовый вылет	25. VII	27,29
	Кладка яичек	5. VIII	28,0
	Выход личинок	10. VIII	28,5

Число генераций	Цикл жизни мухи	Дата начала	В среднем при температуре по С
II-Я	Вылет мух Срок спаривания	25. VIII 3—5 ч	30,5
	Массовый вылет	25. VIII	31,0
	Кладка яичек	5. IX	32,0
	Выход личинок	10. IX	32,5
	Развитие личинок до коконов	20. IX	33,0
	Вылет мух	25. IX	33,0
	Срок спаривания	5—7 ч	
	Массовый вылет	25. IX	32,0

В среднем от вылета мух до появления мух новой генерации проходит 30—35 дней. Инкубация кокона 8—10 дней.

Первые плоды с яичками мух были обнаружены 5 июля. При этой генерации и жизни мух продолжается до 10—12 октября.

Дынная муха питается соком плодов бахчевых растений: слизывает влагу из различных частей дынь, арбузов плодов. Самка, как указывается выше, прокалывает яйцекладом покровы плода или плетей названных растений. Сейчас же в месте укола выступает капелька сока. Вытачив яйцеклад, муха немедленно поворачивается головой и начинает высасывать выступившую капельку. Самцы также питаются капельками сока, выступающими из поврежденных плодов, пользуясь уже готовыми наколами, сделанными самками.

Ползающие по растениям мухи при отсутствии плодов бахчевых культур питаются плодами шелковицы и соком многолетних других растений. А со времени появления завязей и плодов дыни мухи отдают им явное предпочтение.

В Нахичеванском районе яйцекладка закончилась 10 октября, а в Норашенском и Дивичинском районах несколькими днями раньше—5—8 октября.

Срок инкубации: в летние месяцы от 3 до 4 суток. Осенью от 6 до 7 суток. Самки откладывают яички обычно под кожурой плодов, непосредственно в мякоть его. Появившиеся личинки вскоре после вылупления из яичек проникаются внутрь плода до семянокамеры.

Личинки в большинстве случаев коконируются вне плодов. По выходу из дыни личинки некоторое время ползают по поверхности земли, как бы ощупывая ее и выбирая место, где бы ей зарыться. Личинки передвигаются во всех направлениях. Они часто возвращаются обратно к плоду. Способность передвигаться у личинки довольно велика: за 8—10 мин она может покрыть растение до 50 см. С момента выхода из плода, до ухода личинки в землю проходит от нескольких минут до одного часа.

Отродившиеся личинки в ближайшее время проникают внутрь плода, где проводят все свое развитие. Взрослые личинки обычно покидают плод и уходят на коконирование в землю. Помимо дыни, коконы мух иногда можно встретить в плодах арбузов и огурцов.

Пищевые растения для личинок довольно ограничены. За время наблюдений удалось зафиксировать развитие личинок исключительно за счет следующих плодов: сорта обыкновенных или культурных дынь (*Cucurbita melo var. vulgaris paag*)—такие как „дутма“ (зард), кандалуп и др.

Период развития личинки дынной мухи колеблется в пределах 8—12 суток, осенью до 20 суток, летом от 6 до 8 суток. При помощи

своих хорошо развитых органов личинки прогрызают плод и вбираются в землю.

Коконирование первых личинок отмечено 20 июля. В дальнейшем выход личинок на коконирование шел интенсивным темпом, а между 20 числами июля и сентября месяцев наблюдался массовый выход. Здесь же личинки дают коконы, которые остаются в земле на зиму.

Ложнококоны желто-бурого цвета. Длина достигает 8 мм. Стадия куколки "кокон" длится 5—6 дней, после чего появляются муhi нового поколения. Глубина залегания ложных коконон в земле зависит от плотности почвы и ее влажности, а также от индивидуальных особенностей. На связанных глинистых почвах глубина залегания кокона 8—10 см. А главная масса пупарьев сосредоточена на глубине 4—5 см. На более легких почвах залегание их достигает 10—12 см. В самом поверхностном слое до 2—3 см.

Зимующие ложнококоны располагаются на глубине 6—10 см. Из большинства коконон первого поколения развивались муhi, давшие первую генерацию 25 июня. Однако нередко ложнококоны можно находить в плодах дынь и здесь же, внутри плода, они превращаются во взрослую стадию — имаго.

В колхозе им. Кирова сел. Пайыз Нахичеванского района в одном плоде дыни удалось обнаружить 12 муhi, из коих 8 оказались живыми.

### Меры борьбы

Агротехнические: наиболее действенным средством борьбы с дыниной мухой следует считать подбор соответствующих сортов и своевременный посев. Как известно, муhi предпочитают для откладки яичек завязи и молодые плоды дынь недельного или декадного возраста. При раннем посеве, особенно скороспелые сорта, ко времени появления главной массы муhi несут сформировавшиеся плоды; размером от 5 до 15 см. Большею частью яйцекладущие самки привлекаются завязями, поэтому крупные плоды от повреждения остаются свободными.

Рекомендуется поэтому колхозам и совхозам при подборе сортов предпочтать сорта, обладающие значительным раннеплодообразованием.

Чтобы не осталось личинок на участке после сбора урожая, необходимо участки из-под бахчи вспахивать, после уборки урожая сразу.

На вспаханном поле коконы уничтожаются естественными врагами: муравьями, пауками и птицами различных пород, не исключается и вымерзание коконон в зимнее время. Химические: в колхозе им. Джавида Нахичеванской АССР в полевых опытах, мы испытывали дуст ДДТ и ГХЦГ в отношении их действия на ложных коконон муhi. В результате произведенных работ можно было сделать выводы, что 12% дуст гексохлорана при норме расхода его 80—100 кг на 1га посевной площади, оказался весьма эффективным средством для уничтожения вредителя в земле.

Было установлено, что 5%-ный дуст ДДТ по сравнению с 12-ти % дустом гексохлорана или противсевиина оказывает более слабое действие и в некоторых случаях вызывает только временный паралич вредителей. От дуста гексохлорана гибель ложнококонон личинок (*Melonfly larva*) наступала очень быстро.

Г. Ф. Эсэдов

### Жемиш милчәкләри

#### ХУЛАСӘ

Жемиш милчәји республикамында эн горхулу вә зијанкар һәшәратлардан биридир.

1958-чи илдән бәри апардығымыз тәдгигатлардан айдан олмушдур ки, милчәјин барамасы торпағын 5—8 см дәринилиндә гышламагла еркән яјда, јәни ијүи айыны 25-дән дириләрәк учмаға башлајыр.

Жемиш милчәји илин яј фәслиндә үч нәсил дәјишилни кечирир. Апардығымыз мұшаһидәләрин нәтижәси белә олмушдур.

1. Күтләви учуш дәврү—25.VI
2. Жумурта гојмуш—5.VII
3. Диңгәлмә дәврү—15.VII.

Тыртыл вә бараманын инкишаф мүддәти 20.VII олмушдур. Жемиш милчәкләринин тәккәр нәсил артымы мөвсүм әрзинде үч дәфә дәјишилир. Һәр нәсил өзүнә мұнасиб һәјат кечирир.

1. Нәсил 30 күн.
2. Нәсил 31 күн.
3. Нәсил 35 күн олур.

Тәдгигат вә јохламалар көстәрмишдир ки, мөвсүмдә диши милчәкләр 96, еркәкләр исә 75 күн јашајыр. Диши милчәкләр һәр күн 9, айда исә 21 жумурта верир.

Милчәкләр мејвәнин габығыны дишләјиб орадан чыхан ширәни сормаға башлајыр. Еркәкләр исә јалныз јемиш ширәсіни сормагда дишиләрә шәрик олур.

Диши милчәкләр мејвәнин дешдикләри јеринә тохум (јумурта) бурахыб габығыны алтына јеридирләр. Мејвәје тохумсалма иши 1—1,5 дәгигә давам едир. Беләліккә, јемиш милчәји гранаты һәлә јемиш налына чатмамыш тәләф едир.

Јаланчыг барамадан милчәк, милчәкдән тохум, тохумдан тыртыл, тыртылдан исә јаланчыг барама әмәлә кәлир. Мөвсүмн исти ајларында 5—8—12 күндә, сәрин аյларында исә 12—16—20 күн мүлдәтиндә (дәвр) һәрәкәт едир. Беләліккә, јемиш милчәји гранаты һәлә јемиш налына чатмамыш тәләф едир.

Бостаңчылар бу мејвәләри милчәкдән мүһафиәт етмәк үчүн гранаты торпаға басдырылар. Бу да ондан ирәли кәлир ки, һәлә индијә гәдәр јемиш милчәји илә мүбарижә үсуллары назырланмамышыр.

Айдан олмушдур ки, милчәкләр әввәлчә кеч әкилән. Јемиш мејвәләринә зијан вурур. Бунун үчүн эн тезjetишән бостан мәңсуллары әлдә етмәк лазымдыр. Бу иш јемиш тохумлары јазын 20 күнү кетүүш әкилмәлидир. Бу ишдә јерли говун (мәңсулларынын) тохумларыны бөјүк әһәмијәттөн вардыр.

Сон тәдбиirlәрдән бири дә мәңсул јығылыб гурттардындан соңа бостан јерләрини 30—35 см дәриниликдә шумламагдан ибәрәтдир. Бу иш гышламаға назырлашан милчәјин јаланчыг барамаларыны тәләф етмәкдә әлверишилидир.

АГРОХИМИЯ

Г. Х. ТАХМАЗОВ

**ВЛИЯНИЕ КОМПЛЕКСНОГО ОРГАНО-МИНЕРАЛЬНОГО  
МИКРОУДОБРЕНИЯ (МУ) НА УРОЖАЙ ЗЕЛЕНОГО  
ЧАЙНОГО ЛИСТА**

(Представлено академиком АН Азербайджанской ССР Д. М. Гусейновым)

Для получения высоких и устойчивых урожаев нужен комплекс агромероприятий. В системе этих мероприятий ведущее место принадлежит широкому и умелому использованию минеральных и органических удобрений.

Наряду с общизвестными удобрениями в деле повышения урожайности сельскохозяйственных культур большое значение имеют различные отходы нефтехимической промышленности.

С 1940 г. акад. Д. М. Гусейновым и его сотрудниками проведена большая работа по применению нефтяных отходов в сельском хозяйстве.

Из отходов нефтяной промышленности акад. Д. М. Гусейновым получен ряд новых видов удобрений, к которым относятся: нефтяное ростовое вещество (НРВ), комплексное органо-минеральное микроудобрение (МУ), отработанный гумбрин (ОГ) и др.

Многочисленные опыты, проведенные различными исследователями Азербайджана и других республик Советского Союза, показали, что органические удобрения нефтяного происхождения положительно действуют на рост, развитие и урожайность сельскохозяйственных культур, а также на его качество.

Поскольку нами изучается эффективность действия МУ нефтяного происхождения необходимо вкратце остановиться на нем. Оно получается из отходов нефтеперерабатывающих заводов и сернокислого производства путем механического смешивания (огарки с отработанной серной кислотой в соотношении 0,75 : 1,0). Это удобрение содержит медь, цинк, марганец, кобальт, железо, молибден, алюминий и ряд других элементов в форме воднорастворимых солей, а также органические соединения нефтяного происхождения. В состав МУ входят: сернокислое закисное железо—42%, сернокислое окисное железо—3,6%, сернокислый алюминий—8,0%, медь сернокислая—0,5% и ряд других соединений. Количество органических веществ составляет 4,1% [1].

Опыты, проведенные [1–3] в различных почвенно-климатических условиях Азербайджана, показали, что от применения МУ на хорошем

агротехническом фоне значительно повышается урожайность сельскохозяйственных культур. По данным Д. М. Гусейнова [1], от применения МУ в количестве 30 кг/га урожай томатов увеличивается на 54 ц/га (20%), капусты—48 ц/га (26%), дыни—26 ц/га (20%), арбузов—46 ц/га (20%), озимой пшеницы—3,9 ц/га (13%), хлопка-сырца—3,8—6,3 ц/га по сравнению с контролем.

Нами заложен полевой опыт с культурой чая на желтоземно-подзолистых почвах в колхозе „Бабек“ Ленкоранского района и на буров-лесных почвах в Закатальском чайном совхозе Закатальского района. Повторность опытов четырехкратная. Площадь делянки 100 м<sup>2</sup>.

МУ вносились в почву в количестве 15, 30, 60 и 120 кг/га в смеси с фосфором. Фосфор ( $P_2O_5$ ) вносился в виде суперфосфата в количестве 160 кг/га, а азот в виде сернокислого аммония—330 кг/га действующего начала. Фосфор вносился осенью перед перекопкой, азот ранней весной перед культивацией.

Проведенные нами опыты показали, что МУ оказывает положительное действие на урожай зеленого чайного листа, причем эффективность действия МУ под культуру чая больше чем под другие культуры. Это объясняется тем, что некоторые многолетние культуры, особенно чайный куст, более отзывчив к микроэлементам, чем другие. Кроме того, чайный куст любит кислую среду почвы, а наши почвы слабокислые или близкие к нейтральным, т. е. малопригодные для произрастания чайного куста. Поэтому, при повторном внесении МУ в количестве 120 кг/га повышается кислотность почвы, т. е. снижается pH почвы, что создает лучшие условия для роста и развития чайного куста. Следует отметить, что более высокие дозы (4, 5, 10 т/га) МУ применяются как препарат для подкисления почвы под культуру чая (Д. М. Гусейнов, 1955).

В опытах нами проводились механические анализы чайных флешей. В течение вегетационного периода, через каждые два месяца (май, июль, сентябрь) во время сбора брались пробы четырехкратной повторности в количестве 100 г флешей. В них определялся средний вес одного флеша, количество нормальных и других флешей (побегов). Оказалось, что НРВ увеличивает средний вес флеша и уменьшает процент глушкообразования, что является одним из основных показателей в деле повышения урожайности.

Анализируя данные табл. 1, видно, что от применения МУ увеличивается средний вес чайного флеша и уменьшается процент глухих побегов. Внесение МУ в количестве 15, 30, 60 и 120 кг/га в условиях Ленкорани соответственно увеличивает вес одного флеша на 0,03, 0,05, 0,09 и 0,10, а в Закаталах на 0,02, 0,06, 0,10 и 0,12 и уменьшается процент глухих побегов на 27 по сравнению с контролем.

Влияние различных доз МУ на урожай зеленого чайного листа приводится в табл. 2.

Из таблицы видно, что внесение различных доз МУ под культуру чая как в условиях Ленкорани, так и в условиях Закатал заметно повышает урожай зеленого чайного листа.

В условиях Ленкорани при внесении МУ под культуру чая в количестве 15 кг/га урожай зеленого чайного листа увеличивается на 98—160 кг/га (6—8%), в количестве 30 кг/га на 198—445 кг/га, (16—18), в количестве 60 кг/га на 310—695 кг/га (25—29%) и в количестве 120 кг/га на 390—876 кг/га, а в условиях Закатал оно соответственно увеличивается на 67—178 кг/га или 6—7%, 114—365 кг/га или на 13—23%, 192—513 кг/га или на 22—28% и на 294—725 кг/га или на 34—41% по сравнению с контролем.

Т'яб'ян пад

Весчаная засыпка из муки на спелый весчаной флеши и на процент глушикообразования

Схема опыта	1961 г.						1962 г.					
	$\frac{20}{15}$ мая		$\frac{12}{20}$ июля		$\frac{10}{5}$ сентября		$\frac{17}{12}$ мая		$\frac{20}{12}$ июля		$\frac{15}{5}$ сентября	
	Вес одной фleshi, $\frac{z}{2}$	фleshi глухие, %										
Ленкорань												
Контроль	0,33	20	0,20	75	0,27	30	0,30	14	0,24	68	0,25	37
NP-фон	0,42	13	0,26	60	0,38	25	0,40	5	0,34	51	0,36	25
NP+МУ-15 кг/га	0,45	10	0,28	45	0,42	20	0,45	3	0,35	45	0,40	21
NP+МУ-30 кг/га	0,47	10	0,31	40	0,45	18	0,47	0	0,36	37	0,43	20
NP+МУ-60 кг/га	0,51	5	0,33	32	0,46	15	0,50	0	0,40	30	0,45	18
NP+МУ-120 кг/га	0,52	5	0,33	33	0,46	15	0,50	0	0,33	28	0,48	15
Закаталы												
Контроль	0,24	27	0,16	67	0,20	37	0,24	17	0,20	52	0,21	45
NP-фон	0,34	15	0,23	45	0,31	30	0,35	7	0,25	33	0,29	30
NP+МУ-15 кг/га	0,36	13	0,25	38	0,33	24	0,38	3	0,30	28	0,34	25
NP+МУ-30 кг/га	0,40	10	0,28	34	0,35	20	0,43	2	0,34	22	0,36	21
NP+МУ-60 кг/га	0,44	10	0,31	30	0,40	17	0,46	2	0,36	20	0,38	18
NP+МУ-120 кг/га	0,46	10	0,32	27	0,42	20	0,48	2	0,38	20	0,40	18

Таблица 2

Влияние МУ на урожай зеленого чайного листа

Схема опыта	Ленкорань						Загаталы					
	За 1961 г.			За 1962 г.			За 1961 г.			За 1962 г.		
	Урожай,	Прибавка	%	Урожай,	Прибавка	%	Урожай,	Прибавка	%	Урожай,	Прибавка	%
Контроль	813	—	—	1555	—	—	598	—	—	1305	—	—
NP—фон	1223	—	—	2080	—	—	867	—	—	1757	—	—
NP+МУ—15 кг/га	1312	98	8	2240	160	6	934	67	7	1935	178	10
NP+МУ—30 кг/га	1423	198	16	2525	445	18	981	114	13	2122	365	20
NP+МУ—60 кг/га	1535	310	25	2775	695	29	1659	192	22	2270	513	28
NP+МУ—120 кг/га	1615	390	31	2955	876	37	1149	294	34	2482	725	41
	$P = \frac{0.62}{\epsilon} = \frac{0.62}{8.76}$			$P = \frac{0.88}{\epsilon} = \frac{0.88}{17.40}$			$P = \frac{0.84}{\epsilon} = \frac{0.84}{8.41}$			$P = \frac{1.04}{\epsilon} = \frac{1.04}{24.60}$		

Необходимо подчеркнуть, что в обоих зонах с возрастанием доз МУ возрастает его эффективность.

Анализы растительных образцов показали, что от применения МУ, повышается качество зеленого чайного листа, т. е. увеличивается в нем количество танина, кофеина и экстрактивных веществ.

#### ЛИТЕРАТУРА

- Гусейнов Д. М. Применение новых видов удобрений. Сельхозгиз, 1961.
- Гусейнов Д. М., Алиев А. Ю., Асадов Ш. Д. Действие комплексного микроудобрения, полученного на базе отходов нефтяной промышленности на урожай овощных культур. Труды Ин-та почвоведения и агрохимии, т. IX, 1960. З. Гусейнов Д. М., Гусейнов А. А. Влияние нового комплексного микроудобрения на урожайность хлопчатника. „Соц. с/х Азерб.“, 1959, № 11.)

Институт почвоведения и агрохимии

Поступило 4. IX 1963

Б. Х. Тәһмазов

Комплексли үзви минерал микрокүбрәнин јашыл  
чај јарпагы мәһсулуна тә'сири

#### ХУЛАСЭ

Комплексли үзви минерал микрокүбрәнин (МК) чај биткисинин мәһсүлдарлығына тә'сирини өјрәнмәк мәгсәдилә Ләнкәран район Ба-бек адына колхозунда вә Загатала чај совхозунда 4 тәккарла чөл тәчрүбәләри ғојулмушдур. Бөлмәләрин һәчми 100 м<sup>2</sup> олмушдур.

Апардығымыз икинлик тәчрүбәләрин нәтижеси көстәрмишdir ки, МК јашыл чај јарпагы мәһсулуна вә онун қејfiйjетинә мүсбәт тә'сири көстәрир. Жени нөв микрокүбрәнин нектара 15, 30, 60 вә 120 кг верилмәси контрола нисбәтән јашыл чај јарпагы мәһсулуну 69 кг-дан 876 кг-а гәдәр артырыр (6—7%). Гејд етмәк лазымдыр ки, һәр ики торпаг вә иглим шәрәитинде микрокүбрәнин верилмә дозалары артдыгча мәһсүлдарлыг да артыр.

ФИЗИОЛОГИЯ

Р. М. МЕЛИКОВ

**ВЛИЯНИЕ ПРОДОЛЖИТЕЛЬНОГО МИНИМАЛЬНОГО  
РАЗДРАЖЕНИЯ ИНТЕРОРЕЦЕПТОРОВ ЖЕЛУДКА НА  
ЭЛЕКТРИЧЕСКУЮ АКТИВНОСТЬ ГОЛОВНОГО МОЗГА  
У КРОЛИКОВ**

(Представлено академиком АН Азербайджанской ССР А. И. Каравым)

Изучению влияния афферентных импульсов с внутренних органов и, в частности, с желудка на электрическую активность головного мозга посвящено ряд работ.

Ф. М. Лисица [2] в опытах на кошках и собаках установила, что раздражение желудка или кишечника вызывает изменения потенциалов в виде угнетения медленных волн и увеличения их частоты, или в виде появления группы зубцов и повышения амплитуды медленных колебаний.

Э. С. Толмасская [6] в опытах на кроликах при раздражении различных отделов кишечника наблюдала депрессию спонтанных ритмов коры и подкорковых образований, более выраженную в моторной и обонятельной зонах коры. По данным В. Е. Делова [1], отчетливые изменения электрической активности коры головного мозга кролика при раздражении желудка отмечались в премоторной зоне коры. Изменения выражались в первоначальном понижении амплитуды, сменявшимся повышением амплитуды и увеличением частоты электрических колебаний.

Работая на человеке, П. О. Макаров [4] показал, что влияние иннероцентивных раздражений на электроэнцефалограмму человека ведет к уменьшению частоты и амплитуды электрических колебаний, наиболее выраженным в теменной и височной областях головного мозга.

Результаты вышеупомянутых исследований были получены в условиях острого опыта, за исключением исследований на человеке. В хроническом эксперименте имеется работа Лю-ши-Юй [3], доказывающая наличие двух типов изменений электроэнцефалограммы при раздражении желудка. В работе Н. А. Мушкиной [5] также в хронических экспериментах показано, что раздражение рецепторов желудка ведет к появлению в корковых отведениях электроэнцефалограммы реакции десинхронизации, которая особенно отчетливо выражена в лобнодвигательной области, а в ретикулярных структурах

медиального таламуса, среднего мозга и варолиева моста к появлению регулярного "упорядоченного" ритма.

В проводимых исследованиях одни авторы считают, что раздражение внутренних органов вызывает усиление электрической активности головного мозга, другие — что раздражение приводит к ее понижению. Кроме того трудно судить о принципе локализаций внутренних органов в головном мозгу в условиях острых опытов, когда животное не находится в нормальном физиологическом состоянии.

Целью настоящей работы явилось изучение электрической активности двигательной и лимбической областей, а также ретикулярной формации среднего мозга при длительном минимальном раздражении механорецепторов желудка у животных с хронически вживленными электродами. Такие животные находятся в нормальном физиологическом состоянии в течение продолжительного периода.

### Методика

Исследование проводилось на кроликах в состоянии бодрствования у каждого кролика имелось от 4 до 8 вживленных электродов. Для отведения потенциалов употреблялась изолированная константанская проволока диаметром 0,3 мм. Отведение биполярное с межэлектродным расстоянием 1—2 мм. Электроды укреплялись на поверхности черепа фосфатцементом. В опытах изучалось влияние продолжительных раздражений механорецепторов желудка на электрическую активность двигательной и лимбической областей.

Раздражение механорецепторов желудка, производилось тонкостенным резиновым баллоном давлением 13—15 мм рт. столба в течение 40—50 мин; электроэнцефалограмма регистрировалась через каждые 5 мин.

Электрические колебания головного мозга регистрировались с помощью десятиканальной чернильнопишущей осциллографической установки системы "Альвар". При исследовании животные находились в экранированной камере.

### Результаты исследований

Обычно при отсутствии каких-либо раздражений электроэнцефалограмма двигательной и лимбической областей коры головного мозга кролика представлена медленными нерегулярными колебаниями частотой 4—7 в сек и амплитудой 50—120 мкв.

Следует отметить некоторое своеобразие электрической активности лимбической области коры, выражавшееся в несовпадении периодов ритмических колебаний по сравнению с двигательной зоной, а также большей выраженностью медленных высоковольтных не ритмических колебаний электрической активности (рис. 1).

Изменения электрической активности двигательной и лимбической областей коры в ответ на продолжительные минимальные раздражения механорецепторов желудка давлением 13—15 мм рт. столба обнаруживались через 5—15 мин и нарастили при продолжении раздражения. Эти изменения выражались в появлении вспышек нерегулярных медленных колебаний значительной амплитуды (70—200 и длительностью в несколько секунд — 6—8). (рис. 2).

На протяжении нескольких опытов, у разных кроликов в различные сроки наблюдалось постепенное увеличение продолжительности вспышек колебаний медленной высоковольтной активности.

В отдельных случаях длительность вспышек достигала 9—11 и более сек.

Вслед за прекращением таких вспышек картина электрической активности коры головного мозга либо приобретала исходный характер, либо развивалась некоторая депрессия фоновой электрической активности.

Следует отметить, что с течением времени такая депрессия нарастала и вся кривая электрической активности резко уплощалась.

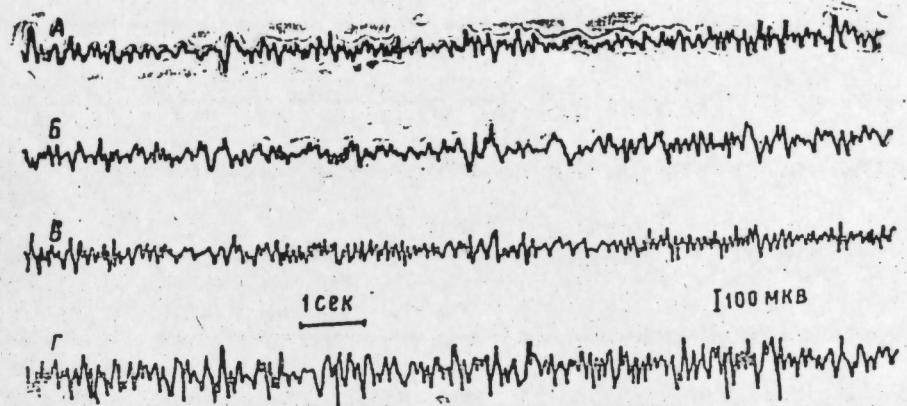


Рис. 1

Электроэнцефалограмма двигателей и лимбической областей головного мозга кролика до раздражения желудка:  
A — двигательная область; B, V, Г — лимбическая область.

При продолжении опытов с длительным минимальным раздражением рецепторов желудка в электроэнцефалограмме двигательной и сенсомоторной областей коры, начали появляться синхронизированные ритмы частотой 4—6 в сек и амплитудой 50—80 мкв.

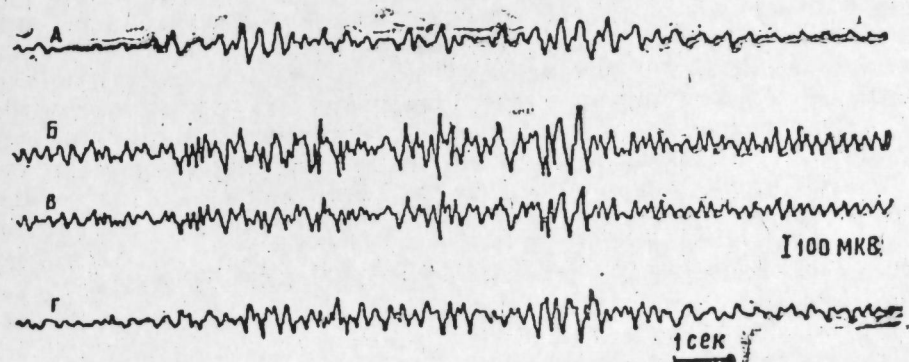


Рис. 2

Электроэнцефалограмма двигательной и лимбической областей головного мозга кролика через 15 мин после начала раздражения желудка:  
A — двигательная область; B, V, Г — лимбическая

Исходя из того, что по данным ряда авторов (Мушкина Н. А. и др.) такая электрическая активность характерна для ретикулярных структур ствола мозга, нами были проведены опыты с одновременным

изучением влияния стимуляций рецепторов желудка на электрическую активность ретикулярной формации среднего мозга.

Эти опыты показали, что при длительном систематическом раздражении желудка давлением 13—15 мм рт. столба синхронизированная активность в "чистом" виде первоначально возникает в ретикулярной формации и лишь затем распространяется на корковые структуры головного мозга (рис. 3).

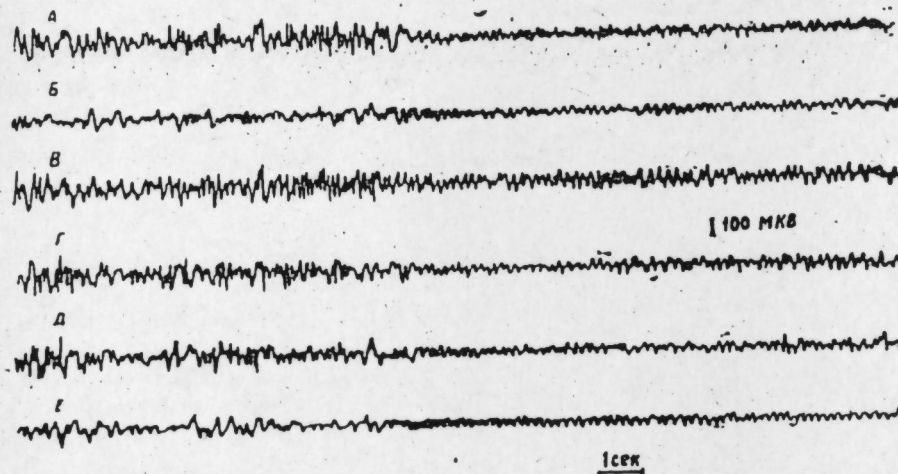


Рис. 3

Электроэнцефалограмма кролика через 35 мин после начала раздражения желудка: А—двигательная область; Б, В, Г, Д—лимбическая область; Е—ретикулярная формация среднего мозга.

Подобный факт был отмечен и в работе Н. А. Мушкиной, которая указывала на постепенное распространение таких ритмов из ретикулярной формации ствола мозга на вышележащие структуры мозга. Поскольку в этой работе автор пользовался раздражителем различной силы, то им не была отмечена фаза появления вспышек медленной нерегулярной высоковольтной активности, которая, видимо, характерна лишь для минимальных интенсивностей стимуляций желудка, особенно на первом этапе применения таких стимуляций.

Обычно появление в электрической активности коры колебаний подобного типа рассматривается как проявление тормозного состояния. Возможно, что в данном случае имели место лишь тонические влияния со стороны рецепторов желудка, которые приводили к появлению подобной картины.

Следует отметить, что все наблюдаемые изменения электрической активности коры при стимуляции рецепторов желудка были более выражены в лимбической области.

При длительном систематическом применении стимуляции рецепторов желудка минимальными интенсивностями раздражения, первый этап наблюдаемых нами изменений электрической активности сокращался, а синхронизация ритма, характерная для ретикулярных структур, нарастала и становилась доминирующей формой электрической активности коры.

Таким образом, из проведенных опытов следует, что длительные слабые раздражения рецепторов желудка давлением 13—15 мм рт. столба приводят к изменениям электрической активности двух типов, разделенных между собой различным временем для разных кроликов.

Первый тип изменения электрической активности выражался в развитии вспышек высоковольтных медленных, нерегулярных колебаний частотой 4—7 в сек и амплитудой 70—200 мкв длительностью 6—8 сек, и обычно продолжался в наших условиях опыта в течение 3—5 дней.

Через несколько дней после начала опытов, одно помещение кроликов в экспериментальные условия без применения раздражения вызывало появление подобной картины, что, видимо, свидетельствует о рефлекторной природе данного явления.

Второй этап изменения электрической активности выражался в появлении синусоидального, регулярного, синхронизированного ритма частотой 4—6 в сек, который свидетельствует о выраженному возбужденном состоянии ретикулярных структур ствола мозга и о том, что данный вегетативный ритм подчинил себе электрическую активность коры большого полушария.

#### Выводы

1. При длительном минимальном раздражении рецепторов желудка наблюдаются изменения биоэлектрической активности двигательной и лимбической областей коры головного мозга, а также ретикулярной формации среднего мозга.

2. Продолжительная стимуляция рецепторов желудка вызывает появление вспышек высоковольтных медленных нерегулярных колебаний, которые нарастают по мере продолжения раздражения.

3. Синхронизированные ритмы, присущие ретикулярной формации, при длительном раздражении рецепторов желудка, наблюдаются как в ретикулярной формации среднего мозга, так и в больших полушариях.

#### ЛИТЕРАТУРА

1. Делов В. Е. Труды Военно-морской мед. акад., т. XVII, посвящ. 100-летию со дня рождения И. П. Павлова, Л., 1949. 2. Лисица Ф. М. Бюлл. эксперим. биологии и медицины, т. XII, вып. 5—6, 1941. 3. Лю-Ши-Юй. "Физиол. журнал СССР", 1957, т. XVIII, № 12. 4. Макаров П. О. "Физиол. журнал СССР", 1952, т. XXXVIII, № 3. 5. Мушкина Н. А. Конференция, посвящ. проблемам: "механизмы кортико-висцеральных взаимоотношений". Баку, 1962. 6. Толмасская Э. С. Вопросы электрофизиологии и электроэнцефалографии. Изд. АН СССР, М.—Л., 1960.

Сектор физиологии

Поступило 5.VII 1963

Р. М. Меликов

Мәдә интероресепторларының гыса мүддәтли  
минимал гычыгандырылмасының ада довшанларыны  
баш бејнин електрик фәаллышына тә'сири

#### ХУЛАСӘ

Дахили үзвләрдән, о чүмләдән мәдәдән кәлән афферент импульсларын баш бејнин електрик фәаллышына тә'сирини өjrәнилмәснә  
һәср едилмиш бир сыра елми ишләр мөвчуддур.

Тәдгигат ишиндән мәгсәд, башына хроники олараг електродлар тахымыш ада довшанларыны мәдә механоресепторларыны узун мүддәт минимал гычыгандырылғанда бејнин һәрәки вә ритмик саңәләринин, еләчә дә орта бејнин ретикулјар формасијасыны електрик фәаллышыны өjrәнмәкдир. Мәдә механоресепторлары 13—15 мм чи-вә сүтунуна бәрабәр тәзіг алтында вә 40—50 дәгигә мүддәттәндә на-зик резин балоила гычыгандырылышы.

Апарылмыш тәдгигатын нәтичәләри көстәрмишdir ки, мә'дә ре-  
септорларынын узун мүддәтли зәиф гычыгандырылмасы бејнин елек-  
трик фәаллығынын мұхтәлиф ада довшанларында мұхтәлиф мүддәтли  
ики нөв дәјишиклини сәбәб олур. Електрик фәаллығынын биринчи  
нөв дәјишиклиji 6—8 санијә чәкән, тезлиji санијәдә 4—7, амплитуду  
исә 70—200 мк·в олан յұксәкволтту жаваш вә тејри-мұнитәзәм рәгсләр  
шәклиндә тәзәһүр едир (бизим шәраитdә 3—5 күн давам едир). Електрик  
фәаллығынын дәјишилмәсинин икинчи мәрһәләси санијәдә 4—6  
тезликли синусоидал, мұнтәзәм вә синхроник ритмдән ибаратdir ки,  
бу да бејн сүтуну ретикулјар структурунун хејли ојанмыш олдуғу-  
ну вә белә векетатив ритмин баш бејн габығынын електрик фәаллы-  
ғыны өзүнә табе етдијини көстәрир.

МИКРОБИОЛОГИЯ

М. ГАНИЕВ, С. С. ЭФЕНДИЕВ, Ф. А. КУРБАНОВА

**НРВ КАК ФАКТОР, УЛУЧШАЮЩИЙ КАЧЕСТВО  
ИССЛЕДОВАНИЯ МИКРОФЛОРЫ ВОДЫ**

Второе Всесоюзное совещание по применению НРВ, созванное в Баку 22—25/I 1963 г. показало его огромное значение в сельском хозяйстве, медицине, ветеринарии. Установлено, что определенные дозы НРВ, примененного в области сельского хозяйства, биологии и медицины, обладают стимулирующими свойствами.

По литературным данным, НРВ увеличивает урожайность сельскохозяйственных культур [1, 2, 4].

Данные, полученные М. Д. Абдуллаевым [3], показывают, что НРВ не только обуславливает торможение первичной опухоли, но и значительно угнетает процесс метастазирования. В то же время усиливается противоопухолевый эффект при сочетании применения НРВ с рентгенотерапией или химиотерапическими препаратами.

НРВ применяется для использования ослабления токсичности противоопухолевых средств. Нужно отметить, что действие НРВ на рост микроорганизмов изучено слабо. Литературные данные показывают, что НРВ стимулирует жизнедеятельность полезных питанию растений почвенных микроорганизмов. При замочке семян 0,01%-ным раствором НРВ наблюдается большой рост общего количества бактерий, споровых бактерий, грибков, азотобактера, нитрификаторов.

Отмечается стимулирующее действие НРВ на спорообразование и деление микробных клеток.

Результаты по изучению непосредственного действия НРВ на развитие клеток микроорганизмов показывают, что НРВ в концентрации 0,00001; 0,001% повышает интенсивность их деления. К сожалению, нет данных о действии НРВ на развитие микрофлоры воды.

Как известно, в санитарной бактериологической практике для определения общего количества микроорганизмов применяется обычный МПА.

Известно, что не все микроорганизмы, находящиеся в воде, распрут на МПА. Поэтому некоторые авторы для прорастания водной микрофлоры на МПА предлагают выдерживать МПА в течение определенного времени при комнатной температуре.

Как отмечает А. А. Егорова, З. П. Дерюгина, С. И. Кузнецов [5], озерные бактерии прорастают на МПА в течение 10—12 дней.

Исходя из вышеотмеченного, мы ставили перед собой за дачу — изучить действие НРВ на рост водных микрофлор.

С этой целью использовался 40%-ный раствор НРВ, полученный из АЗНИВИ.

#### Опыт № 1

Для установления роли НРВ как источника питания для водных микроорганизмов нами был приготовлен водяной агар, в состав которого было введено НРВ в различных разведениях (1:10, 1:100, 1:1000, 1:10 000).

Таблица 1

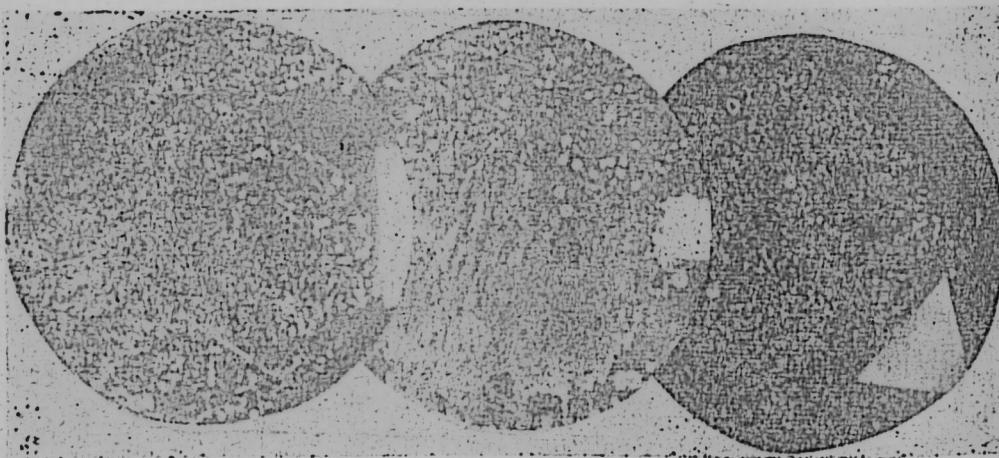
#### Наименование питательной среды

К-во опытов	Водяной агар с НРВ 1:10	Водяной агар с НРВ 1:100	Водяной агар с НРВ 1:1000	Водяной агар с НРВ 1:10000	Водяной агар	МПА без НРВ
6	Мелкие колонии	Размер колоний определить трудно				5856 крупных и мелких колоний
12	.	.	.	.	.	7800 крупных и мелких колоний
4	.	.	.	.	.	8560 крупных и мелких колоний

При бактериологическом исследовании нами применялась морская вода и сточная вода Бакинской канализации.

Посев выдерживали 48 ч при температуре 20—22°C.

Как видно из табл. 1, рост водных микробов на водяном агаре с НРВ и контрольной среде не отличается друг от друга.



На всех питательных средах выросли мелкие колонии, трудноотличимые без лупы.

В то же время на обычном МПА без добавления НРВ, содержащего большое количество питательного вещества, посев дал сплошной рост микроорганизмов. Выросшие колонии по своему внешнему виду легко отличаются и подсчитываются.

Таблица 2

#### Наименование питательной среды

К-во опытов	МПА	МПА НРВ 1:100	МПА НРВ 1:1000	Выросшие микробные колонии смешались друг с другом. К-во микробных колоний больше, где НРВ с 1:100, но они очень мелкие	Одличаются 5 видов микробных колоний	Пигментообразование происходит через два дня
Общее количество микробов	1200 микробных колоний	Сплошной рост мелких колоний	Сплошной рост мелких колоний. Размер колоний трудно установить	Сплошной рост мелких колоний. Размер колоний трудно установить	Разновидность микробных колоний 13	Встречаются микробные колонии с белым, желтым, красным, золотистым пигментами
Разновидность микробов	7 видов микробов	Выросшие колонии различить трудно	Выросшие колонии различить трудно	Пигментообразующие микробы не могли обнаружить	Пигментообразующие микробы (темные, белые, золотистые)	
Количество пигментов, образующих микробы	6	Встречается три вида пигментов, образующих микробы (темные, белые, золотистые)	Пигментообразующие микробы не могли обнаружить	Пигментообразующие микробы (темные, белые, золотистые)	Количество пигментов, образующих микробы	

Исходя из вышеуказанного, мы приходим к выводу, что НРВ не может быть источником питания для микрофлоры воды.

#### Опыт № 2

Для установления стимулирующего действия НРВ на рост водных микроорганизмов нами был приготовлен МПА с НРВ в различных разведениях (1:10, 1:100, 1:1000, 1:10000).

В качестве контроля нами был применен обычный МПА и водяной агар.

Как видно из табл. 2, выросшие микробные колонии на водяном агаре очень мелкие, с трудом отличимые. В ряде случаев рост микробных колоний обнаруживается только с помощью лупы. Пигментообразование отсутствует.

Установлено, что с участием НРВ рост водных микроорганизмов на МПА улучшается (рис. 1, 2).

Однако в этих случаях роль играет разведенное НРВ.

При разведении 1:100 (НРВ) выросшие микробные колонии на МПА крупные, хорошо отличимые по внешнему виду.

Разновидности выросших микробных колоний больше, чем на других питательных средах (рис. 1).

Пигментообразование заметно улучшается. В то же время при разновидности 1:1000 количество микробных колоний на МПА увеличивается, но выросшие микробы дают сплошной рост (рис. 2).

Эти колонии по внешнему виду отличить трудно. По краям указанной питательной среды образуются крупные микробные колонии, хорошо отличимые по внешнему виду.

Однако количество микробных видов и пигментообразование уменьшается.

Нами получены худшие результаты при разведение НРВ 1:10000.

Вышеотмеченные положения мы не замечаем на обыкновенном МПА (рис. 3).

Все эти результаты показывают, что НРВ действует стимулирующе на рост водных микробов на среде МПА.

В то же время с увеличением разведения НРВ уменьшается размер микробных колоний, их разновидность и пигментообразование.

Таким образом, мы можем прийти к заключению, что: 1) НРВ в определенном разведении стимулирует рост микрофлоры воды на МПА; 2) для изучения разновидности и пигментообразования водных микробов можно применять МПА с разведениями НРВ 1:100,

#### ЛИТЕРАТУРА

1. Абалина Г. И. Влияние применения нового вида удобрений НРВ на изменения в растениях, почве, а также на урожай различных сортов картофеля в условиях Узбекистана. Материалы Второго Всесоюзного совещания по применению НРВ в сельском хозяйстве, Баку, 1963.
2. Абулгамидов А. М. Влияние нефтяного ростового вещества на рост, развитие и урожай табака, там же.
3. Абдуллаев Д. М. Влияние НРВ на опухолевый рост в эксперименте, там же.
4. Агабалаев Ф. А. Влияние нефтяного ростового вещества на урожай сахарной и корневой свеклы в условиях Южной Муганы Азерб. ССР, там же.
5. Егорова А. А., Дерюгина З. М., Кузнецова С. И. Характеристика сапроптической микрофлоры воды различной степени трофии. Труды Ин-та микроб. АН СССР, 1953.

#### АЗНИВИ

Поступило 7. IX 1963

#### Су микрофлорасынын тәдгигатында НБМ онун кејфијэтини јахшылашдыран фактор кими

#### ХУЛАСЭ

Сон заманларда Бакыда кечирилән НБМ-нин (нефт бој маддәси) истифадә едилмәсинә нәср едилмиш II Умумиттифаг мушавирәси (22—25. I 1963) онун кәнд тәсәррүфатында, тибә вә бајтарлыг саһесинде бөյүк әһәмијәтә малик олдуғуну көстәрди. Лакин әдәбијатда НБМ-нин микроорганиzmләре тә'сирі һағында мә'лumat аздыр (Р. Ибраһимова, 1963; Г. С. Гасымова, 1963 вә б.). Буну нәзәрә аларақ, биз НБМ-нин сујун микробиологи тәдгигатында микроорганиzmләрин инкишафына олан тә'сирини еյрәндик.

40-а гәдәр апардығымыз тәчрүбеләрдән мә'лум олду ки, НБМ-нин 1:100-ә олан нисбәттеги ЭПА тәркибинә گатдыгда су микробларынын инкишафына тә'сир едир. Битишмиш микроб колонијалары ири, бирбiriндән јахши фәргләнир. Ейни заманда, белә гидада микробларын пигмент әмәләкәтирмә хассеси јахши олур. Буна көрә дә биз сујун микробиологи тәдгигатында тәркибиндә 40% НБМ-нин 1:100-ә нисбәттеги олан ЭПА-дан истифадә етмәји мәсләһәт көрүрүк.

## МҮНДӘРИЧАТ

### Ријазијјат

З. И. Хәлилов. Банах фәзасында хәтти идарәетмә мәсәләси . . . . . 3

### Кимја

[J. Н. Мәммәдәлиев,] Р. Н. Исмаилов, Н. М. Мәммәдәлиев, С. М. Элиев, Н. И. Һүсейнов, З. Э. Әһмәззадә. Алкил-ароматик карбоидрокенләрни «гајнар» лајда мұхтәлиф оксид катализаторларының иштиракы илә деидрекеңләшdirilmәsi . . . . . 7

### Узви кимја

М. Р. Мусаев, С. Ч. Мөһдиев. Тциклоheксанолу алуминиум оксиди үзәриндә деидрратасија етдикдә эмәлә келән тциклоheксенин иисбәтән метилтциклопентенләрә изомерләшмәси . . . . . 11

М. Р. Гулубәјов. Атсеталларын вә онларын һалокенли тәрәмәләриниң Юсич комплекси илә мүбадила реаксијасы . . . . . 15

### Кеофизика

К. Ш. Исламов. 12 декабрь 1959-чу илдә Насослу гәсәбәсендә зәлзәлә . . . . . 23

### Петрографија

Җ. Ә. Султанов, С. Ә. Мустафаев. Гәрби Азәрбајчанда иикишаф стмиш Абшерон мәртәбәси кил чөкүтүләринин литологи тәркиби вә физики ха- саләри (Ортагаш гырышылығы) . . . . . 27

### Чографија

И. Ә. Исмаилов. Азәрбајчана сојуг һаваның дахил олмасы илә әла- гәдар олан синоптик процессләри тәснифи . . . . . 33

### Итисади чографија

Л. И. Насибзадә. Хәзәр дәнизиндә нефтиң нәгл едилмәснин перспек- тивләри . . . . . 37

### Палеонтолокија

Т. Ә. Мәммәдов. Дағлыг Талышын (Лерик рајону) еосен чөкүтүләриниң дән Asteroecyclina вә Actinocyclina чинсләринин илк тапынтысы . . . . . 41

### Торпагларын мелиорасијасы

Ж. И. Здобников. Муган (Чәфәрхан) баглым дренажының иш тәчрүбәсинаң асасын јујулма нормасының кәмијјәти һағында . . . . . 47

<b>Селексија</b>	
И. К. Абдуллајев, А. И. Мусајев. Јени ириклиәли чијәләк сорту Абшерон	53
<b>Биологија</b>	
Г. Ф. Эсәдов. Јемиш миљчәкләри	57
<b>Агрокимја</b>	
И. Х. Тәһмазов. Комплексли үзви минерал микрокубрәинин јашыл чај јарпагы мәһсулуна тә'сир	63
<b>Физиологија</b>	
Р. М. Мәликов. Мә'дә интероресенторларының гыса мүддәтли минимал тычыгандырылмасының ада довшашларының баш бејнинин электрик фәаллығы- на тә'сир	69
<b>Микробиологија</b>	
М. Гәнијев, С. С. Эфәнијев, Ф. А. Гурбанова. Су микрофлора- сының тәдгигатында НБМ онун кејфијэтини јахышылышыран фактор кими	75
<b>СОДЕРЖАНИЕ</b>	
<b>Математика</b>	
З. И. Халилов. Линейная задача управления в банаховом пространстве	3
<b>Химия</b>	
Ю. Г. Мамедалиев, Р. Г. Исмайлов, Г. М. Мамедалиев, С. М. Алиев, Н. И. Гусейнов, З. А. Ахмед-заде. Дегидрирование алкил- ароматических углеводородов в «кипящем» слое различных окисных катализи- торов	7
<b>Органическая химия</b>	
М. Р. Мусаев, С. Д. Мехтиев. Об изомеризации циклогексена в метил- цикlopентены при дегидратации циклогексанола над окисью алюминия	11
М. Р. Кулебеков. Обменная реакция ацеталей и их галоидопроизводных с комплексом Иоичиа.	15
<b>Геофизика</b>	
К. Ш. Исламов. Землетрясение в декабре 1959 года в поселке Насосный	23
<b>Петрография</b>	
Д. А. Султанов, С. А. Мустафаева. К изучению вещественного соста- ва и физических свойств глинистых пород аштеронского яруса Западного Азер- байджана (Ортагашская складка)	27
<b>География</b>	
И. А. Исмайлова. Типизация синоптических процессов, обусловливающих вторжение холода в Азербайджан	33
<b>Экономическая география</b>	
Л. И. Насибзаде. Перспективы транспортировки нефти по каспийскому морю	37
<b>Палеонтология</b>	
Т. А. Мамедов. Первая находка родов <i>Asterocyclus gümbel</i> и <i>Actinocyclus</i> <i>gümbel</i> из эоценовых отложений горного Талыша (Шерикский район)	41
<b>Мелиорация почв</b>	
Е. И. Здобинов. О величине промывной нормы по опыту работы Муганского (Джафархан) закрытого дренажа	47

Селекция	
И. К. Абдуллаев и А. И. Мусаев. Новый сорт крупноплодной земляники Ашерон	53:
Биология	
Г. Ф. Асадов. Дынная муха	57
Агрономия	
Г. Х. Тахмазов. Влияние комплексного органо-минерального микроудобрения (МУ) на урожай зеленого чайного листа	63.
Физиология	
Р. М. Меликов. Влияние продолжительного минерального раздражения интерорецепторов желудка на электрическую активность головного мозга у кроликов	69
Микробиология	
М. Ганиев, С. С. Эфендиев, Ф. А. Курбанова. НРВ как фактор, улучшающий качество исследования микрофлоры воды	75

Чапа имзаланыш 26/V 1964-чү ил. Кағыз форматы 70×108<sup>1/16</sup>. Кағыз вәрәги 2,63. Чап вәрәги 7,19. Нес.-нәшрийят вәрәги 5,9. ФГ 05148. Сифарыш 281. Тиражы 900. Гијмети 40 гәп.

Азәрбајҹан ССР Назирләр Совети Дөвләт Мәтбуат Комитәсими «Елм» мәтбәеси. Бакы, Фәhlә проспектi, 96.

## МҮЭЛЛИФЛӘР ҮЧҮН ГАЈДАЛАР

1. «Азәрбајҹан ССР Елмләр Академијасының Мә'рүзәләри»да баша чатдырылыш, лакин һәлә башга јердә чап етдирилмөнүш олан эмэли вә нәээрү әһәмијәттә малик елми тәдгигатларын иетичәләрни аид гыса мә'лumatlar дәрч олуунур.

Механики сурәттә бир нечә кичик мә'лумата болунмуш ири мәгаләләр, ичарисинде неч бир яни факт материал олмајан вә мүбәниң характеристикалары дашијан мәгаләләр, мүәjjин иетичәси вә үмүмшәләдиричи јекуну олмајан јарымыг тәчрүбәләри тәсвири олуундугу мәгаләләр, тәсвири, яхуд ичмал характеристикалары дашијан, гејри-принципиал эсәрләр, сырф методик мәгаләләр (әкәр бу мәгаләләрдә тәклиф олуулан метод тамамила яни дејилсә), елм үчүн сон дәрәчә мараглы олан тапынтыларын тәсвири истина едилмәккә, биткиләрни вә һөјвандарын систематикасына даныр мәгаләләр «Мә'рүзәләр»дә дәрч олуумур.

«Мә'рүзәләр»дә дәрч олуумуш мәгаләләр сопрадан даһа кениш шәкилдә башга ишшәләрдә чап едилә биләр.

2. «Мә'рүзәләр»дә чап олуумаг үчүн верилән мәгаләләр јалиның һәмин иктинас үзәк академик тәрәфиндән тәгдим едилдикдән сопра журналны Редаксија һөј'әтиндә мүзакирајә гојулур.

Азәрбајҹан ССР Елмләр Академијасы мүхбир үзвәләринин мәгаләләри һәмин иктинас үзәк академик тәгдиматы олмадан гәбул едилүр.

Журналны Редаксија һөј'әти академикләрдән хәниши едир ки, мәгалә тәгдим едәркән һәмин мәгаләнин мүэллифдән алымна тарихини, нәбелә журналда мәгаләнин јерләшилмәләри олдугу елми бөлмәнин адны мүтләг көстәрениләр.

3. «Мә'рүзәләр»дә һәр мүэллифин илдә З-дан артыг мәгаләси дәрч олуумур; Азәрбајҹан ССР ЕА, академикләринин илдә 8 мәгалә, мүхбир үзвәләрин ишә илдә 4 мәгалә чап етдириләр.

4. «Мә'рүзәләр»дә чап олуулан мәгаләнин һәчми, шәкилләр дә дахил олмагла, бир мүэллиф үәрәгинин дәрдә бириндән, јәни макинәдә јазылмыш 6—7 сәнифәдәг (10.000 чап ишарәсендә) артыг олмамалыдыр.

5. Азәрбајҹан дилиндә јазылмыш мәгаләнин сопунда рус дилиндә, русча јазылыш мәгаләнин сопунда исә Азәрбајҹан дилиндә гыса ھұласә верилмәлиди.

6. Мәгаләнин сопунда һәмин тәдгигат ишинин апарылмыш олдугу елми мүәссисәнин ады во мүэллифин телефони нөмраси көстәрилмәлиди.

7. Елми мүәссисәләрдә апарылмыш тәдгигат ишиларини иетичәләрни чап етдириләр үчүн һәмин мүәссисәнин мүддирийәти ичәз вермәлиди.

8. Мәгаләләр (хұласә дә дахил олмагла) макинәдә сәнифәнин бир үзүндә ики интервалла јазылмалы вә ики үсеккәдә журналны редаксијасына тәгдим едилмәлиди. Формулалар дүрүст вә аждын јазылмалыдыр; бу һалда гара гәләмәл кичик һәрфләрни үстүндә, бөյүк һәрфләрни исә алтындан ики чызыг өзөнчеләрди.

9. Мәгаләда ситат қотирилән әдәбијат сәнифәнин ашагысында чыкын шәклиндә лейил, мәгаләнин сопуна әлавә едилән әдәбијат сијаһысында, һәм дә мүэллифләри фамилијасы үзәк әлифба сыралып ила верилмәли вә мәтини ишарениндә бу, јери қалдикчә, сыралып ила көстәрилмәлиди. Әдәбијат сијаһысы ашагылакы гајдада тәртиб едилмәлиди.

а) к и т а б л а р ү чү и: мүэллифин фамилијасы вә инициалы (ады вә атасынан адныны баш һәрфләри), китабын ады, чилдин нөмраси, һәшр олуундугу јерин вә ишарийатын ады, һәшр олуундугу ил;

б) мәчм үәләрдә (әсәрләрдә) чап олуумуш мәгаләләр үчү и: мүэллифин фамилијасы вә инициалы, мәгаләнин ады, мәчмүәции (әсәрләрни) ады, чилдин, бурахылышын нөмраси, һәшр едилди јерин вә ишарийатын ады, һәшр олуумаш или вә сәнифа нөмраси;

в) ж у р и а л мәгаләләри үчү и: мүэллифин фамилијасы вә инициалы, мәгаләнин ады, журналын ады, һәшр олуума или, чилдин вә журналын нөмраси (бурахылышы нөмраси) вә сәнифа;

Нәшр олуумамыш әсәрләрә иенад етмәк олмаз (елми мүәссисәләрдә сакланылган несабатлар вә диссертацыйлар мүстәснадыр).

10. Шәкилләрни далында мүэллифин фамилијасы, мәгаләнин ады вә шәклини номраши көстәрилмәлиди. Шәкилләтү сөзләре макинәдә јазылмыш, айрыча сәнифәдә верилмәлиди.

11. Редаксија мүэллифә өз мәгаләсендә 25 айрыча нүхә верир.

## ПРАВИЛА ДЛЯ АВТОРОВ

1. В «Докладах Академии наук Азербайджанской ССР» помещаются краткие сообщения, содержащие законченные, еще не опубликованные результаты научных исследований, имеющих теоретическое или практическое значение.

В «Докладах» не публикуются крупные статьи, механически разделенные на ряд отдельных сообщений, статьи полемического характера без новых фактических данных, статьи с описанием промежуточных опытов без определенных выводов и обобщений, работы непринципиальные, описательного или обзорного характера, чисто методические статьи, если предлагаемый метод не является принципиально новым, а также статьи по систематике растений и животных (за исключением описания особо интересных для науки находок).

Статьи, помещаемые в «Докладах» не лишают автора права последующей публикации того же сообщения в развернутом виде в других изданиях.

2. Поступающие в «Доклады» статьи рассматриваются Редакционной коллегией только после представления их академиком по специальности.

Статьи членов-корреспондентов Академии наук Азербайджанской ССР принимаются без представления.

Редакция просит академиков при представлении статьи указывать дату получения ее от автора, а также наименование раздела, в котором статья должна быть помещена.

3. В «Докладах» публикуется не более трех статей одного автора в год. Для академиков устанавливается лимит 8 статей, а для членов-корреспондентов Академии наук Азербайджанской ССР — 4 статьи в год.

4. «Доклады» помещают статьи, занимающие не более четверти авторского листа, около 6–7 страниц машинописей (10 000 печатных знаков), включая рисунки.

5. Статьи, написанные на азербайджанском языке, должны иметь резюме на русском языке и наоборот.

6. В конце статьи должны быть указаны название научного учреждения, в котором произведена работа, и номер телефона автора.

7. Опубликование результатов работ, проведенных в научных учреждениях, должно быть разрешено дирекцией научного учреждения.

8. Статьи (включая и резюме) должны быть написаны на машинке через два интервала на одной стороне листа и представляются в двух экземплярах. Формулы должны быть вписаны четко и ясно, и при этом прописные буквы должны быть подчеркнуты (черным карандашом) двумя черточками снизу, а строчные — сверху; буквы греческого алфавита надо обводить красным карандашом.

9. Цитируемая в статье литература должна приводиться не в виде подстрочных строк, а общим списком (без новострочия), в алфавитном порядке (по фамилии автора), в конце статьи с обозначением ссылки в тексте порядковой цифрой. Список литературы должен быть оформлен следующим образом:

а) для книг: фамилия и инициалы автора, полное название книги, номер тома, город, издательство и год издания;

б) для статей в сборниках (трудах): фамилия и инициалы автора, заглавие статьи, название сборника (трудов), том, выпуск, место издания, издательство, год, страница;

в) для журнальных статей: фамилия и инициалы автора, заглавие статьи, название журнала, год, том, номер (выпуск), страница.

Ссылки на неопубликованные работы не допускаются (за исключением отчетов, диссертаций, хранящихся в научных учреждениях).

10. На обороте рисунков должны быть указаны фамилии автора, название статьи и номер рисунка! Отпечатанные на машинке подшип к рисункам представляются на отдельном листе.

11. Редакция выдает автору бесплатно 25 отдельных оттисков статьи.